

АКАДЕМИЯ НАУК СССР

ОРДЕНА ЛЕНИНА ИНСТИТУТ ФИЗИКИ ЗЕМЛИ им. О.Ю.ШИЦТА

АКАДЕМИЯ НАУК КУБЫ

Институт Геофизики и Астрономии

На правах рукописи

АЛЬВАРЕС ГОМЕС ХОСЕ ЛЕОНАРДО

УДК 550.34(729.16)

СЕЗМИЧНОСТЬ ВОСТОЧНОЙ КУБЫ

/специальность 01.04.12 - геофизика/

Диссертация на соискание ученой  
степени кандидата физико-математи-  
ческих наук

Научный руководитель:  
доктор физико-математических наук  
Буня В. И.

Москва - 1985

## СОДЕРЖАНИЕ

ВВЕДЕНИЕ . . . . .	4
РАБОТЫ ПО ИЗУЧЕНИЮ СЕЙСМИЧНОСТИ КУБЫ И МЕТОДОВ ОЦЕНКИ СЕЙСМИЧЕСКОЙ ОПАСНОСТИ . . . . .	9
1.1. Развитие сейсмологических исследований на Кубе . . . . .	9
1.2. Оценка сейсмической опасности . . . . .	15
ИСХОДНЫЕ СЕЙСМОЛОГИЧЕСКИЕ МАТЕРИАЛЫ И СОСТАВЛЕНИЕ КАТАЛОГА ЗЕМЛЕТРЯСЕНИЙ . . . . .	24
2.1. Краткое описание использованных источников . . . . .	24
2.2. Затухание макросейсмической интенсивности и модели изосейст . . . . .	26
2.3. Описание каталога землетрясений региона за 1551-1961гг TECTONICHAIA OBSTANOVKA I SEISMICHNOST' KARIIBSKOGO REGIONA. VYDelenie ZON BOZ . . . . .	48
3.1. Обзор основных работ по тектонике и сейсмичности Карибского региона . . . . .	48
3.2. Сейсмичность Карибского региона . . . . .	52
3.3. О механизмах очагов землетрясений Карибской дуги . .	58
3.4. Выделение зон BOZ в регионе $16^{\circ}$ - $34^{\circ}$ с.ш. и $71^{\circ}$ - $81^{\circ}$ з.д. . . . .	61
ПАРАМЕТРЫ СЕЙСМИЧЕСКОГО РЕГИМА И ПРОГРАММА ДЛЯ РАСЧЕТА СОТРЯСАЕМОСТИ . . . . .	70
4.1. График повторяемости землетрясений. Оценка параметров для разных зон BOZ . . . . .	70
4.2. Вероятность возникновения сильных землетрясений в Сантьяго- де-Куба . . . . .	87
4.3. Программа для расчета сотрясаемости . . . . .	97
4.4. Расчеты сотрясаемости Крыма, Восточных Карпат (глубокий очаг в горах Бранча) с целью отладки программы . . . . .	106

СЕЙСМИЧЕСКАЯ СОТРЯСАЕМОСТЬ ВОСТОЧНОЙ КУБЫ . . . . .	II4
5.1. Подготовка исходных данных . . . . .	II4
5.2. Сотрясаемость Восточной Кубы . . . . .	II7
5.3. Исследование устойчивости полученных оценок сотрясаемости	
ЗАКЛЮЧЕНИЕ . . . . .	I22
Литература . . . . .	I3I
Приложение I. Каталог землетрясений региона, ограниченного координатами $16^{\circ}$ - $24^{\circ}$ с.ш. и $71^{\circ}$ - $81^{\circ}$ з.д.	
Приложение 2. Параметры землетрясений и механизмы их очагов, определенных в З.3.	

## ВВЕДЕНИЕ

Актуальность темы. Куба расположена на Северо-Американской плите, на границе с Карибской плитой. Сейсмичность иго-восточной части Кубы объясняется процессами, происходящими на границах этих плит /7/. Основные землетрясения концентрируются в узкой зоне, проходящей непосредственно у южного берега Восточной Кубы /55/. На островах Ямайки и Гаити также происходят сильные землетрясения, которые вызывают сотрясения на Восточной Кубе. Территория Иго-Восточной Кубы характеризуется высокой сейсмичностью. Город Сантьяго-де-Куба, один из первых городов, созданных испанцами в Америке, неоднократно испытывал сильные землетрясения, среди них два с интенсивностью 9 баллов /7/. В настоящее время в этом районе Кубы ведется интенсивное строительство. Этим определяется важность проведения работ по изучению сейсмичности Восточной Кубы.

Для оценки сейсмической опасности нужны данные о повторяемости сотрясений и их вероятности /32, 33/.

Цель работы. Цель работы - расчет сейсмической сотрясаемости территории Восточной Кубы и оценка устойчивости периодов сотрясаемости при вариации параметров сейсмического режима и моделей изосейст.

### Основные задачи:

1. Анализ макросейсмического поля сильных и слабых землетрясений и выбор теоретической модели изосейст;
2. Составление каталога землетрясений региона Восточной Кубы с XVI века до настоящего времени;
3. Выделение зон ВОЗ на основе анализа сейсмологических, геолого-геофизических и геоморфологических данных, оценка параметров сейсмического режима и подбор моделей изосейст для каждой

зоны ВОЗ;

4. Написание программы для расчетов сотрясаемости, опробование этой программы в хорошо изученных регионах СССР;
5. Приведение расчетов сотрясаемости Восточной Кубы, представление результатов расчетов в виде различных карт;
6. Исследование устойчивости оценок периодов сотрясаемости при вариациях исходных данных: максимальной магнитуды  $M_{max}$ , глубины очага  $h$  (км), моделей изосейст и наклона графика повторяемости (параметра  $\beta$ ).

Научная новизна. Впервые использована программа расчетов сотрясаемости, учитывавшая эллиптическую модель изосейст и графики повторяемости, имеющие изгиб в области максимальных магнитуд. Для расчетов используется карта зон ВОЗ с параметрами сейсмического района и модели изосейст, характерные для каждой зоны ВОЗ. Результаты представлены в виде обычных карт сотрясаемости и карт непревышения максимальной интенсивности с вероятностью 0.9 для разных периодов ощущения. Получены первые карты сейсмической сотрясаемости Восточной Кубы, которые значительно улучшают представления о сейсмической опасности этой территории. Получены следующие конкретные результаты:

1. Предложена теоретическая модель эллиптических изосейст. Доказана ее применимость для расчетов изосейст землетрясений Большых Антильских островов и Бранчской зоны ВОЗ в СРР.
2. Для расчетов сотрясаемости использован график накопленной повторяемости землетрясений с изгибом в области максимальных магнитуд.
3. Составлена программа для расчета сотрясаемости, которая кроме обычных карт сотрясаемости, позволяет строить карты с вероятными оценками непревышения максимальной интенсивности для различных периодов ощущения.

4. Для территории Восточной Кубы построены различные виды карт сейсмической сотрясаемости.

Автор заявляет:

1. Модели эллиптических изосейст, определяемые отношением полуосей эллипсов и уравнением макросейсмического поля типа Ковес-Лигети.

2. Формулы для расчета накопленной повторяемости землетрясе-ний, характеризующейся графиком, имеющим изгиб в области максимальных magnitud землетрясений.

3. Программы для расчета сотрясаемости, учитывающие вышеопи-саные разработки. В качестве исходных данных используются карты зон ВОЗ с параметрами сейсмического режима и модели изосейст, ха-рактерные для каждой зоны ВОЗ. Результаты получены в виде обычных карт сотрясаемости и карт с различными вероятными оценками сейсми-ческой опасности.

4. Расчеты сейсмической опасности Восточной Кубы, представ-ленные в виде карт сотрясаемости и карт непревышения максималь-ной интенсивности с вероятностью 0,9 для периодов синсценции 50 и 100 лет.

5. Оценки средних периодов сотрясений с интенсивностью 7-9 баллов в г. Сантьяго-де-Куба.

Практическая ценность. Полученные оценки сейсмической сотря-саемости Восточной Кубы могут быть использованы при составлении карт сейсмического районирования этой территории.

Расчеты сотрясаемости реализованы в виде программ на языке ФОРTRAN, что позволяет применять их для расчетов сотрясаемости любой территории.

Авторизация работы. Основные положения диссертационной работы докладывались и обсуждались на Карибском сейсмологическом совеща-нии в Санто-Доминго (Доминиканская Республика, 1983г). Симпозиуме-

КМГ "Прогнозирование-84" в Софии (Болгария, 1984г), школе-семинаре по стихийным бедствиям (Организация ООН по оказанию помощи при стихийных бедствиях - UNDRO) в Гаване (Куба, 1984г) и ЕУ Научном симпозиуме Института геофизики и астрономии АН Кубы в Гаване (Куба, 1984г).

### Содержание работы

В первой главе описаны сейсмологические исследования на Кубе и работы по оценке сейсмической опасности в Карибском регионе. Обсуждается вопрос о возможности проведения работы по количественной оценке сейсмической опасности Восточной Кубы с учетом всех особенностей сейсмичности региона. Описаны методы оценки сейсмической опасности в СССР, США и других странах. Обсуждается актуальность количественного подхода к оценке сейсмической опасности Восточной Кубы.

Во второй главе дано краткое описание источников сейсмологической информации, использованных в работе. Инструментальные данные взяты из международных сводок. Макросейсмические данные представлены картами изосейст. В работе предложены теоретические модели в виде эллиптических изосейст. Модель определяется отношениями полуосей эллипсов и формулой макросейсмического поля типа Конвея-Лигети. Анализируются три варианта моделей в зависимости от направления, вдоль которого справедлива формула макросейсмического поля. Проводится сопоставление моделей с экспериментальными изосейстами и определяются параметры модели для разных районов Большых Антильских островов.

Описан каталог землетрясений, составленный для региона, ограниченного координатами  $16^{\circ}$  -  $24^{\circ}$  с.ш. и  $71^{\circ}$  -  $81^{\circ}$  в.д.

В третьей главе рассматривается тектоника, сейсмичность и механизмы очагов землетрясений, выделение зон БОЗ. Карибский регион характеризуется наличием нескольких тектонических плит. На

границе Карибской и Северо-Американской плит наблюдается сдвиг. Эти смещения сопровождаются землетрясениями. Сейсмичность представлена картой эпицентров и графиками повторяемости землетрясений для интервалов глубин 0–70 км и 70–150 км. Данные о механизмах очагов, описанные в литературе, и 27 механизмов, определенных автором с помощью программы SOURCE из библиотеки программы ИФЗ АН СССР /9/, не противоречат представлениям о левостороннем сдвиге по границе плит. Для выделения зоны ВОЗ использованы карты эпицентров, изостатических аномалий, изобат и тектоники плит.

В четвертой главе рассматриваются графики повторяемости землетрясений и программа для расчета сейсмической сотрясаемости. Описывается программа оценки параметров  $a$  и  $b$  графика повторяемости землетрясений по методам наименьших квадратов и максимального правдоподобия для расчета накопленных частот повторения сотрясений. Построены графики распределенной и накопленной повторяемости землетрясений для всех зон ВОЗ и графики повторяемости сотрясений в городе Сантьяго-де-Куба. Показано, что интервалы между последующими сотрясениями с интенсивностью  $\geq 7$  баллов в Сантьяго-де-Кубе подчиняются экспоненциальному закону распределения. Даны примеры опробования программы расчетов сотрясаемости в Крыму и Молдавии. Проводятся сопоставления с картой сейсмического районирования СССР /43/ и картами сотрясаемости /41/.

В пятой главе представлены карты сейсмической сотрясаемости Восточной Кубы и карты вероятности превышения значения  $I$  при разных периодах ожидания. Описаны численные эксперименты изучения исходных данных на средние периоды сотрясаемости. Расчеты проводятся для семи городов Восточной Кубы. Анализируются вариации четырех параметров:  $M_{\max}$ ,  $\tau$ , отношение полуосей эллипсов изосейст и параметр  $b$  графика повторяемости землетрясений. В заключении сформулированы основные результаты всей работы.

## Глава I. РАБОТЫ ПО ИЗУЧЕНИЮ СЕЙСМИЧНОСТИ КУБЫ И МЕТОДЫ ОЦЕНКИ СЕЙСМИЧЕСКОЙ ОГРОМНОСТИ

### I.I. Развитие сейсмологических исследований на Кубе

В середине прошлого века кубинский ученый Андрес Ноэль опубликовал несколько работ по сейсмологии. Среди них были каталоги эпучин землетрясений на Кубе и других островах Карибского региона /125-127/. В 1880г после сильного землетрясения в Босточной Кубе была опубликована книга с описанием этого землетрясения /149/. Такие публикации, связанные с описанием сильных землетрясений, продолжались и в XX веке. Авторами были инженеры и другие специалисты, которые временно занимались сейсмологией. Работы были опубликованы в газетах, журналах или отдельных книгах.

Развитие инструментальной сейсмологии на Кубе началось с создания сейсмологической станции в Гаване в 1907г. Были установлены два горизонтальных прибора типа Самори-Баш (С-10, В-3), станция была закрыта в 1928г. В этот период активно работал в области сейсмологии Маркисо Гуттиеррес Ланса /90/.

Основание Академии Наук Кубы революционным правительством 24 февраля 1962г позволило усилить научно-исследовательские работы, в том числе и сейсмологические. Были открыты две станции — Сороа в 1964г и Рио-Карпинtero в 1965г, которые положили начало изучения сейсмичности Кубы инструментальными методами на современном уровне. Советский Союз и ГДР с самого начала оказали помощь в проведении сейсмологических исследований. Первые усилия были направлены на обработку материалов по сейсмичности Кубы /6/ и анализ исторических макросейсмических данных /52/.

В дальнейшем сейсмологические исследования включали разные

вопрос: микрорайонирование /7/, сейсмичность /53/, поверхностные волны /55/, сейсмическую опасность /3/. Некоторые из этих работ явились результатом сотрудничества между АН Кубы и АН СССР.

В 1970-1978 гг на Кубе проводились комплексные исследования по оценке сейсмической опасности площадки строительства АЭС. Этими работами руководил С.В. Ледведев, участвовали коллективы союзских и кубинских сейсмологов; результаты работ были опубликованы в 1983 г /18/.

В 1979-1982 гг проводилось расширение сети сейсмических станций. В настоящее время на Кубе работают 6 сейсмических станций, предназначенных для регистрации местных и удаленных землетрясений /135/.

В результате развитие сейсмологических исследований в Институте геофизики и астрономии АН Кубы в 1980 г началась публикация журнала "Сейсмологические исследования на Кубе", к концу 1984 г вышло 5 номеров.

Работы по оценке сейсмической опасности в Карибском регионе. Сейсмичность Карибского региона изучалась разными авторами. Первой попыткой общего описания является работа Сайкса и Кинга /141/. Авторы с помощью ЭМ определили эпицентры землетрясений и магнитуды  $M_s$  за 16 лет (1950-1965 гг). Начиная с этого момента, появилась возможность проводить работы по оценке сейсмической опасности, учитывая также последующие данные Береговой и геодезической служб США и Сейсмологического центра.

Работы по оценке сейсмической опасности в Карибском регионе можно условно разделить на 3 группы:

- а) Сейсмическое районирование по историческим макросейсмическим данным;
- б) Оценка возможности возникновения сильного землетрясения (изучение зон "сейсмического затишья");

в) Количественные оценки сейсмической опасности разных зон.

Сейсмическое районирование по историческим макросейсмическим данным. На основе исторических макросейсмических данных в 1970г была составлена первая карта сейсмического районирования Кубы. Она была включена в Национальный атлас Кубы /5/. У этой карты были недостатки. Поэтому пришлось пересмотр имеющихся материалов и поиски других исторических данных о землетрясениях. В результате были созданы новая карта сейсмического районирования, составленная по историческим данным /7/. На этой карте вся территория Кубы была разделена на зоны разной интенсивности землетрясений с повторяемостью раз в 100 лет. Однако, были зоны, где из-за отсутствия данных землетрясения показаны не были.

Именно в духе этих пустых зонах возникли землетрясения после того, как была опубликована карта. После этого карта была исправлена заново /7/. Эта карта является нормативным документом для строительства на Кубе. Работы такого типа были проведены и в Венесуэле /8/.

Оценки возможности возникновения сильного землетрясения. Методика состоит в том, что для сильных землетрясений, возникших в главных сейсмических поясах, картируется фокальная зона и определяется средний период повторяемости таких событий. Более опасными являются участки, в которых после последнего сильного землетрясения прошло время больше среднего периода повторяемости. Опасность увеличивается в зависимости от длительности периода затишья.

Первой работой, в которой с этой точки зрения рассматривается восточная часть Карибского региона (и востоку от  $74^{\circ}$  з.д.), является работа /106/. В последующей работе /110/ этот вопрос рассматривается более конкретно. На основании общих представлений о тектоническом процессе на границах плит и сведений об историче-

сих землетрясениях выделяются зоны с разными потенциальными возможностями возникновения сильных землетрясений. Наиболее вероятно возникновение землетрясений в тех районах, где сильные землетрясения не происходили более 100 лет, наименее опасны, где сравнительно недавно (за предшествующие 30 лет и менее) уже произошли сильные землетрясения. В Карибском регионе к первой категории отнесены Иго-Восточная Куба, почти весь остров Гаити, северные районы Малых Антильских островов, залив Пария (Венесуэла) и северо-западный район Венесуэлы. Ко второй категории отнесены район острова Ямайки, северо-западный и северо-восточные края острова Гаити и отдельные места на севере Венесуэлы. К третьей категории отнесены район от Гватемалы до рифта во владище Каиман, южные районы Малых Антильских островов и район на севере Венесуэлы.

Количественные оценки сейсмической опасности разных зон. В работе Альвареса и Бунэ /3/ рассматривался ряд вопросов по сейсмичности и сейсмической опасности: затухание интенсивностей, размеры очагов землетрясений, соотношение магнитуд  $M_{LH}$  и  $m_{pv}$  землетрясений, пространственно-временные характеристики сейсмического режима. Было отмечено уменьшение наклона графика повторяемости с востока на запад в северной части Карибской островной дуги. Оценки средних значений повторяемости землетрясений для иго-восточной части Кубы совпали с повторяемостью сотрясений по историческим данным в городе Сантьяго-де-Куба.

В работе Альвареса /55/ сделана совместная обработка данных международных сводок и станции Рио-Каррикетро. Было получено соотношение между  $m_{pv}$  по каталогам в международных сводках и энергетическим классом К по станции Рио-Каррикетро. Рассчитана сотрясаемость в городе Сантьяго-де-Куба из зоны ВОЗ, расположенной вдоль южного берега Восточной Кубы. Рассмотрен вопрос о влиянии максимальной магнитуды на оценки сотрясаемости.

Оценки сейсмической опасности других островов Карибского региона были сделаны разными авторами. Переира и Гэй /121/ сделали эти оценки для островов Ямайки и Тринидада, Рейес /130/ - для островов Гаити, Пуэрто-Рико и Ямайки. Методика обеих работ очень близка: изучение общей картины разломной тектоники, определение зон ВОЗ и оценка их параметров, определение значений никового ускорения для разных периодов повторения сотрясений.

Интересными также являются работы Шеффера и Аспинала. Они провели изучение сейсмичности острова Ямайки /136/, выделили зоны ВОЗ, но не оценили сейсмической опасности по обычной методике из-за отсутствия данных. Для островов Тринидад и Тобаго оценка сейсмической опасности сделана в /137/ по методике Алгермиссена и Перкинса /50/.

Для Гондураса проведена комплексная работа по оценке сейсмической опасности /107/. Она включила: составление каталога землетрясений, изучение тектоники, выделение зон ВОЗ и оценку параметров графиков повторяемости землетрясений. Пряда, авторы оценили параметры графика накопленной повторяемости, аппроксимируя график двумя прямыми линиями, что говорит о неправильном рассмотрении вопроса о представительности. Расчеты значения никового ускорения для разных периодов повторения сотрясений были проведены с помощью методики оценки сейсмической опасности на основании статистик Байеса. Общее описание такой методики дано в работе /116/.

Специального рассмотрения требуют исследования сейсмической опасности площадки размещения АЭС в Центральной Кубе.

Вопрос о сейсмической опасности малоактивных районов не может быть решен обычным путем, потому что затруднено выделение зон ВОЗ и оценки параметров сейсмического режима. Для решения этого вопроса были проведены комплексные геолого-геофизические работы, рассмотрены все имеющиеся данные об исторических землетрясениях,

изучены характеристики затухания сейсмических волн и интенсивностей. Были также проведены полевые исследования для сейсмического микрорайонирования площадки и велась постоянная регистрация землетрясений тремя сейсмическими станциями. Таким образом, выделение зон ВОЗ проводилось по геологическим признакам. Оценки максимальных магнитуд проводились по комплексному анализу геологических признаков и эмпирическим соотношениям между максимальной магнитудой и размерами зон ВОЗ. По оценкам  $M_{max}$ , графикам повторяемости, построенным в основном по историческим макросейсмическим данным, и данным об особенностях затухания интенсивностей в Центральной Кубе, были оценены возможные макросейсмические эффекты на площадке. Результаты этих исследований опубликованы в книге /18/.

Постановка задачи. Оценки сейсмической опасности Восточной Кубы, описанные в /3, 55/, нуждаются в дальнейшем уточнении и развитии. Существующие материалы /4, 55/ позволяют провести дальнейшую работу в этом направлении. Исходными являются исторические и современные макросейсмические данные /68-77, 144/, инструментальные каталоги землетрясений и геолого-геофизические сведения о строении и тектонике района. Необходимо рассмотреть различные методы оценки сейсмической опасности, применявшиеся в настоящее время в разных странах мира, и выбрать метод, учитывающий особенности сейсмичности региона. Например, формы изосейсты землетрясений для разных участков Большых Антильских островов меняются от почти круговых до сильно вытянутых эллиптических /4/, эпицентры землетрясений распределены в основном вдоль границы Карибской и Северо-Американской плит, но очень неравномерно /53/.

С учетом этих и других особенностей региона в диссертации решается задача составления программы для расчетов сейсмической сотрясаемости и построения серии карт.

## I.2. Оценка сейсмической опасности

Работы по оценке сейсмической опасности были развиты в основном в СССР и США.

Работы по сейсмической опасности в СССР. Первые карты сейсмического районирования СССР, опубликованные в 1937-1947 гг., были сделаны на основе сейсмологических и геофизических данных. Развитие методов изучения сейсмического режима в шестидесятых годах, основанные на резком увеличении информации о слабых землетрясениях, позволило использовать эти материалы при составлении карты сейсмического районирования СССР в 1968 г. Советские ученые разработали методы изучения характеристик сейсмического режима. Широкое распространение получили методы расчетов сейсмической активности и сейсмической сотрясаемости, предложенные Е.В. Ризниченко /31-37, 132/.

Последующее развитие этих работ было использовано при подготовке карты сейсмического районирования СССР в 1978 г. Методические основы этих работ опубликованы в 1980 г. /43/. Работы по оценке сейсмической опасности в СССР основаны на выделении зон ВОЗ, определении параметров сейсмического режима и изучении затухания интенсивности колебаний.

Выделение зон ВОЗ и оценка  $M_{max}$ . Это самый сложный вопрос при оценке сейсмической опасности. Существуют разные подходы для его решения, все они основаны на совместной обработке геологических и сейсмологических данных. Проводится детальное изучение геологического развития региона, изучаются аномалии гравитационного поля, глубинное строение земной коры и литосфера. Составляются карты эпицентров землетрясений по историческим и инструментальным данным, карты сейсмической активности и других характеристик сейсмичности. Вся эта информация используется для выделения зон

БОЗ и оценок максимальных магнитуд землетрясений в каждой из них /43/.

Применение методов распознавания образов позволяет определить и функциональную зависимость максимальной магнитуды от комплекса геолого-геофизических и сейсмологических признаков. Исходя из множества хорошо изученных точек, для которых эксперты могут оценить максимальную магнитуду, можно получить карту максимальной магнитуды для региона. Применение методики, описанной в /14/ для территории Болгарии, оказалось успешным.

Методы распознавания образов используются для прогноза мест возникновения сильных землетрясений. Методика /16/ основана на гипотезе, что сильные землетрясения относятся к пересечениям линеаментов. Классификация узлов пересечения линеаментов позволяет составить прогностическую карту мест возможного возникновения сильных землетрясений.

Характеристики сейсмического режима определяются на основе графика повторяемости землетрясений. Графики строятся в виде распределенной и накопленной повторяемости и аппроксимируются прямыми линиями /43/. Графики можно строить для магнитуд

$$\lg N = a - b (M - M_0)$$

или для энергетических классов

$$\lg N = \alpha - \beta (K - K_0)$$

Как правило, значения  $M_0 = 5$  ( $M_{1H}$ ) и  $K_0 = 10$  или 15

Вторая характеристика сейсмического режима – это сейсмическая активность  $A_{10}$  ( $A_{15}$ ) или  $A_{M_0=5}$  /132/.

Карты параметра  $A_{10}$  строятся по методике, разработанной А.В. Рязанченко /31/, вручную либо с помощью ЭВМ /25/. Сейсмическая активность нормируется к единице времени и к площади  $S_0 =$

= 1000 кв. км при  $K_0 = 10$ .

Затухание интенсивности колебаний грунта описывается формулами /44/:

$$I = bM - s \lg r + c$$

$$I = bM - k \lg r - p r + d$$

Они соответствуют круговым моделям изосейст. Параметры этих соотношений для разных районов СССР определены по экспериментальным данным /28/.

Эллиптические модели изосейст, полученные с учетом зависимости площадей изосейст от магнитуды

$$\lg Q_x = f + g M$$

предложены в /62/.

Карта сейсмического районирования. На основании карт зон ВОЗ и их параметров  $a$ ,  $b$  и  $M_{max}$  с использованием моделей изосейст выделяются зоны с разными значениями  $I$  с учетом периода их повторяемости (100, 1000 и 10 000 лет). Эта карта служит нормативным документом для строительства, она содержит информацию, необходимую для проектирования /44/.

Следует отметить, что на карте сейсмического районирования основным параметром является сейсмическая интенсивность. Это объясняется тем, что только для этого параметра существует достаточная статистика для оценки региональных особенностей ее затухания. Среднемировые кривые затухания интенсивности и других параметров колебаний грунта обладают большими дисперсиями.

Карты сотрясаемости строятся по методике, разработанной Л.В. Рязанченко /31, 32/. Они показывают средние периоды повторения сотрясений разных интенсивностей. Исходными материалами являются карта сейсмической активности, карта максимальной магнитуды,

параметр  $\beta$  графика повторяемости и параметры затухания сейсмической интенсивности /40/.

Сама сотрясаемость – частота повторения сотрясений, определяется по формуле

$$B_I = \int_{\Sigma} N_{\Sigma} dx dy dz$$

где  $N_{\Sigma}$  – суммарное число землетрясений, отнесенное к единице времени в элементарном объеме очаговой области, которые вызовут в пункте наблюдения сотрясение интенсивностью  $I$  и выше /41/. Расчет проводится на ЭМ /40/ для случая, когда затухание интенсивности определяется круговыми изосейсмами. Для случая эллиптических изосейсм расчеты проводились вручную. Вероятностные оценки можно получить, исходя из предположения, что процесс возникновения сотрясения в данной точке является пуссоновским /41/.

Оценка сейсмического риска. Методика расчета сейсмического риска разработана на основании статистического анализа комплекса сейсмологических, геологических и инженерно-экономических данных и направлена на оценку различных суммарных эффектов, вызываемых землетрясениями для города, трассы железной дороги и т.п. за определенный период времени /40, 41/. Под риском понимается вероятность того, что данный эффект превзойдет заданный порог  $x$

$$R_T(x) = 1 - F_T(x)$$

где  $F_T(x)$  – функция распределения суммарного эффекта.

Можно рассматривать площадные (тектонические участки или административные районы), линейные (трассы железных дорог, нефтепроводов) и точечные (города, площадки размещения промышленных центров). Под эффектами понимаются сотрясение с заданной интенсивностью, экономические ущербы.

Расчет сейсмического риска проводится по методике, изложенной

в /23/, с помощью ЭМ. Она основана на трех статистических моделях.

1) Процесс возникновения землетрясений является пуссоновским.

2) Модели изосейст представлены в виде эллипсов и площади со-  
твоящей интенсивности  $I$ , зависящей от  $M_0$ .

3) Ущерб от сотрясений в каждой точке определяется величиной

$$x(I, t) = x_0(I) e^{-\beta t}$$

где  $x_0$  - эффект, приведенный к начальному моменту времени,  $e^{-\beta t}$   
характеризует изменения эффекта во времени. Эта модель менее раз-  
вита, чем остальные две, и необходимы теоретические исследования  
/43/.

Работы по оценке сейсмической опасности в США. Первая карта  
сейсмического районирования США, составленная на основе статисти-  
ки случайных землетрясений, опубликована в 1949г и включена в норма-  
тивные правила для строительства. Ч. Риктер /133/ предложил карту  
сейсмического районирования, составленную на основе анализа геоло-  
гических и сейсмологических данных. Эта карта не была принята в  
качестве нормативной. Модификация первой карты 1949г выполнена в  
1969г, она включена в нормативные правила для строительства /92/.

Дальнейшее развитие работ по оценке сейсмической опасности  
проходило по двум направлениям: разработка вероятностной методи-  
ки оценки сотрясений и изучение корреляционных связей между магни-  
тудой, азимутальным расстоянием и параметрами колебаний грунта.  
Были разработаны методы выделения зон ВОЗ и расчетов инженерных ха-  
рактеристик колебаний грунта.

Вероятностные оценки сейсмической опасности. Исходя из пред-  
положения о пуссоновском характере процесса возникновения земле-  
трясений, рассчитываются значения интенсивностей или ускорений,  
которые не должны быть превышены в течение определенного срока для  
заданного уровня вероятности /64/. Эта методика была использована

Алгорисеном и Перкинсом /50/ для составления новой карты сейсмического районирования США /18/.

Эту же методику применяли в разных районах, например, для Балканского региона /51/.

Зависимость между магнитудой, эпицентрическим расстоянием и интенсивностью. В США накоплено большое количество данных по интенсивности землетрясений. Макросейсмическое поле представляется в виде соотношений типа /37, 34, 145/:

$$I = I_0 + b \lg R + CR + d$$

$$I = I_0 + b \lg R + d$$

$$\lg A_I = a + bM$$

■  $R$  — гипоцентрическое расстояние.

Зависимость между пиковым ускорением, магнитудой и гипоцентрическим расстоянием /101/ получена в виде:

$$\lg x = a + bM + c \lg R + dR + eP + fS$$

■  $x = A_h, V_h$  (пиковые горизонтальные ускорения или скорости)  
 $\Gamma, \sqrt{r^2 + \alpha^2}$  ( $r$  — эпицентрическое расстояние,  $\alpha$  — константа),  $P$  — вероятность превышения значения,  $S$  — тип грунта.

Соотношения между пиковыми значениями ускорения, скорости и давления грунта и интенсивностью получены в виде /146/

$$\lg x = aI + b$$

■  $x = A_h, A_v, V_h, V_v, D_h, D_v$

■ в виде  $\lg x = aI + bM + c \lg r + d$

■  $x = A_h, A_v$  и  $r$  — эпицентрические расстояния /117/.

Выделение зон ВОЗ и оценка максимальных магнитуд. Выделение зон ВОЗ в США рассматривается в связи с разломами. Критерии определения активности разлома могут быть геологическими и сейсмологическими /92/. Следует отметить, что в США геологические данные не рассматриваются так глубоко, как в СССР.

Для оценки максимальной магнитуды используются корреляционные связи между магнитудами сильных землетрясений и геометрическими параметрами фокальных зон. Эти соотношения имеют общий вид

$$M = A \lg L + B$$

$$M = C \lg S + D$$

где  $L$  – длина источника и  $S$  – площадь источника /48/. Имеются и другие зависимости /138/.

Об устойчивости оценок сейсмической опасности. В СССР проводились исследования оценок точности расчетов сотрясаемости. Изучалось влияние разных параметров, входящих в формулу расчета сотрясаемости. Численный эксперимент был проведен в Узбекистане для изучения влияния ошибок в исходных параметрах  $h$ ,  $\gamma$ ,  $K_{max}$  и затухания на оценки сотрясаемости. Подобные расчеты были сделаны в Молдавии /17/.

В США также рассматривался вопрос о точности оценок сейсмической опасности. В /112/ обсуждалось влияние выбора разных карт зон ВОЗ, вариации параметра  $b$  графика повторяемости при зафиксированном суммарном количестве землетрясений, вариации максимальной возможной интенсивности в каждой зоне ВОЗ. В /123/ приведен численный эксперимент, рассмотрено влияние размеров элементарных площадок, использованных при расчетах периодов повторяемости линковых ускорений, контуров зон ВОЗ,  $M_{max}$ , параметров  $a$  и  $b$  графика повторяемости. В работах /112 и 113/ отмечена сильная зависимость оценок сейсмической опасности от максимального значения магнитуды или интенсивности.

Другие подходы к оценке сейсмической опасности. Новый вид закона повторяемости землетрясений предложен в /66/. График накопленной повторяемости аппроксимируется не линией ломкой, а линией с изгибом внизу вблизи максимальной магнитуды, что совпадает с экспериментальными данными /68/. В работе /65/ анализируется значение такого закона повторяемости для оценки сейсмической опасности.

В /80/ предложена методика, основанная на статистике Байеса. Оценки сейсмической опасности по этой методике сделаны в Карибском регионе и для разных стран Центральной Америки /107, 116/.

Частотность -явление сильных землетрясений была рассмотрена в /118/.

Особенности выбранного подхода оценки сейсмической опасности. В нашей работе в основном рассматриваются сейсмологические вопросы оценки сейсмической опасности. Поэтому выделение зон ВОЗ сделано формально, без детального анализа геологических данных. Особенности выбранной методики состоят в следующем:

Используется закон накопленной повторяемости землетрясений в виде, близком к предложенному в /66/.

Теоретические модели изосейст взяты в виде эллипсов.

Проведен численный эксперимент для выяснения влияния исходных параметров на оценки средних периодов сотрясаемости. Этот подход позволяет избавиться от зависимости сейсмической опасности, которая связана с применением закона накопленной повторяемости в виде прямой линии, использовать модели изосейст, более близкие к наблюдениям в Карибском регионе. Численный эксперимент позволяет оценить, насколько устойчивы полученные результаты.

Схема работы по расчетам сейсмической сотрясаемости Досточной Кубы. Работа по оценке сейсмической опасности Досточной Кубы состоит из трех главных частей: подготовка исходных данных, обоснование

— принципиальных особенностей программы расчетов сейсмической  
недропробности, ее написание и отладка, и, наконец, сейсмической со-  
щественности Восточной Кубы.

Подготовка исходных данных включает: интерпретацию макросей-  
смических данных с целью обоснования моделей израсход; составление  
каталога землетрясений для региона  $16^{\circ}$  –  $24^{\circ}$  с.ш.,  $71^{\circ}$  –  $81^{\circ}$  в.д.;  
изоточную обработку данных по тектонике, изостатическим аномали-  
ям гравитационного поля, глубине морского дна и сейсмичности в  
рамках выделения зон ВОЗ; оценку параметров сейсмического режима  
всех зон ВОЗ и параметров макросейсмического поля.

## Глава 2. ИСХОДНЫЕ СЕЙСМОЛОГИЧЕСКИЕ МАТЕРИАЛЫ

### 2.1. Краткое описание использованных источников

Международные сводки. Основными источниками данных о сильных землетрясениях в мире являются международные сводки. Эти сводки, как правило, представляют собой каталоги землетрясений в хронологическом порядке. В настоящее время многие каталоги записаны на магнитных лентах.

Описание землетрясений в каталогах включает следующие данные: дата; время в очаге; географические координаты и глубины гипоцентров; магнитуды с указанием их типа; географический район эпицентра (по Флинну и др.) /82/; количество станций, использованных для определения координат гипоцентра, или качество определения; макро-сейсмические данные и другие эффекты землетрясений.

В эти каталоги включены все землетрясения, гипоцентры которых определены международными агентствами, а также региональными и национальными службами. Например, в Карибском регионе часто встречаются определения координат очагов землетрясений сейсмологическими службами Мексики, Тринидада и других. Описание первичных источников дано в работе /4/.

В основном были использованы следующие каталоги:

- 1) Международная сейсмологическая сводка (ISS). В каталог включены землетрясения, произошедшие до 1963г.
- 2) Каталог Международного сейсмологического центра (ISC), в него вошли землетрясения, произошедшие в 1964г и позднее. Магнитуды в основном соответствуют типу  $m_{Pv}$ .
- 3) Каталог Национальной службы информации по землетрясениям США (EDF). Иногда даны четыре разных магнитуды:  $m_{Pv}$ ,  $M_{sh}$ ,  $M_L$ ,  $M_w$ .

Основными источниками, использованными в нашей работе, являются бюллетени /36, 38, 118/, каталоги Гутенберга и Риктера /88, 89/ и каталоги из работ /114, 141/.

Каталог слабых землетрясений Кубы включает около полутора тысяч слабых землетрясений, в основном из восточной части Кубы. Большинство землетрясений зарегистрировано только одной станцией — Рио-Каррионтеро (RCC), находящейся вблизи города Сантьяго-де-Куба. Данные, полученные одной станцией, могут иметь большие ошибки, которые трудно оценить из-за отсутствия методов проверки точности определения координат гипоцентров по одной станции. В /4/ были рассмотрены другие источники инструментальных данных и удалось определить эпицентры землетрясений, зарегистрированных несколькими станциями, но для Восточной Кубы их очень мало и общая картина слабой сейсмичности скрадывается данными станции RCC. Эти данные надо рассматривать очень осторожно, отдельные определения могут оказаться неправильными, и выводы, сформулированные на их основе, могут быть ошибочными. Вероятность больших ошибок уменьшается в районах, где наблюдается концентрация эпицентров, но и в этих случаях сохраняются систематические ошибки, зависящие от модели земной коры, использованной для определения гипоцентров, и от ошибок самих измерений. По мере удаления эпицентра от станции RCC ошибки определений координат увеличиваются из-за ошибок определения ширины на эпицентр. Пример такой ошибки удалось обнаружить в /56/, где рассматривались переопределения гипоцентров афтершоков землетрясения 19 февраля 1976 г. ( $M_{LH} = 5.7$ ) по данным двух станций по сравнению с гипоцентрами, определенными только станцией RCC.

Макросейсмические данные. Имеются исторические макросейсмические данные, на их основе составлен каталог землетрясений /3, 4/. В последнее время эти материалы были пересмотрены /68-77/.

Каталог землетрясений провинции Ольгин /68/ содержит данные

об ощущенных землетрясениях в северной части Восточной Кубы с 1760 по 1960 гг.

Каталог землетрясений провинции Сантьяго-де-Куба /76/ содержит огромный материал по ощущенным землетрясениям на территории Центральной и Восточной Кубы с 1551 по 1975 гг.

Каталог землетрясений территории провинции Камагуэй и Сьерро-де-Авила /74/ содержит список исторических макросейсмических явлений. В этой работе сделана попытка выделения сейсмогенных зон. Этот район находится непосредственно на западе от интересующего нас региона.

Каталог землетрясений Ямайки /144/ содержит сведения об ощущенных землетрясениях с 1574 по 1971 гг., в основном по Ямайке, хотя включает также данные по Гаити и Пуэрто-Рико.

Каталог исторических сильных землетрясений Большых Антильских островов /70/ содержит данные об исторических сильных землетрясениях, взятых из разных источников, с переопределением интенсивности.

Другие неопубликованные макросейсмические данные были любезно предоставлены Т. Чуй из Института геодезии и астрономии АН Кубы.

## 2.2. Затухание макросейсмической интенсивности и модели изо- сейст

В работе /3/ было отмечено, что макросейсмическое поле в Карибском регионе с хорошим приближением описывается формулой:

$$I = 1.5 M - 2.63 \lg r - 0.0087 r + 2.5, \quad (2.1)$$

предложенной в работе /4/.

Вопрос о затухании был более детально изучен в /4, 5/. Исходными данными для этих работ были макросейсмические сведения о землетрясениях на Кубе и других островах Карибского региона. Методика

обработки включала: изучение соотношения  $I_o$  и  $M_{LH}$ , построение обобщенных изосейст для разниц  $\delta I = I_o - I_c$ , сравнение наблюденных значений  $\delta I$  с теоретическими расчетами по формуле (2.1) для направлений наибольших и наименьших осей обобщенных изосейст. На основании небольшого количества данных были получены следующие зависимости:

$$I_o = 1.17 M_{LH} + 0.1 \quad (M_{LH} > 5.6) \quad (2.2)$$

$$I_o = 1.75 M_{LH} - 3.2 \quad (M_{LH} \leq 5.6) \quad (2.3)$$

$$I_o = 1.85 m_{py} - 2.5 \quad (2.4)$$

На рис. 2.1 показаны зависимости  $I_o$  от  $M_{LH}$  в соответствии с (2.1) для разных значений глубины очага. Линии (2.2) и (2.3) находятся внутри интервала глубин  $h = 30-50$  км для зависимости  $I_o$  от  $M_{LH}$  по формуле (2.1).

Обобщенные изосейсты построены для Центральной Кубы, Восточной Кубы в районе Сантьяго-де-Куба-Гуантанамо и для островов Гаити и Пуэрто-Рико. Кроме Восточной Кубы, во всех случаях изосейсты сильно вытянуты. Средние отношения между полуосами следующие: Центральная Куба - 2.4; Восточная Куба - 1.2; Гаити - 3.3; Пуэрто-Рико - 3.7.

Сопоставление данных по затуханию вдоль и поперек главных полуосей обобщенных изосейст с теоретическими расчетами по формуле (2.1) показало следующее:

Для Центральной Кубы затухания больше, чем по формуле (2.1) вдоль и поперек главных полуосей;

Для Восточной Кубы затухания приблизительно выражаются этой формулой в виде круговых изосейст;

Для Гаити вдоль главной оси затухание меньше и в поперечном направлении больше, чем по формуле (2.1).

Кроме того, был рассмотрен вопрос о затухании интенсивности между островами Кубы и Ямайки. Для этого были использованы данные о пяти землетрясениях, зарегистрированных в обеих сторонах жало-

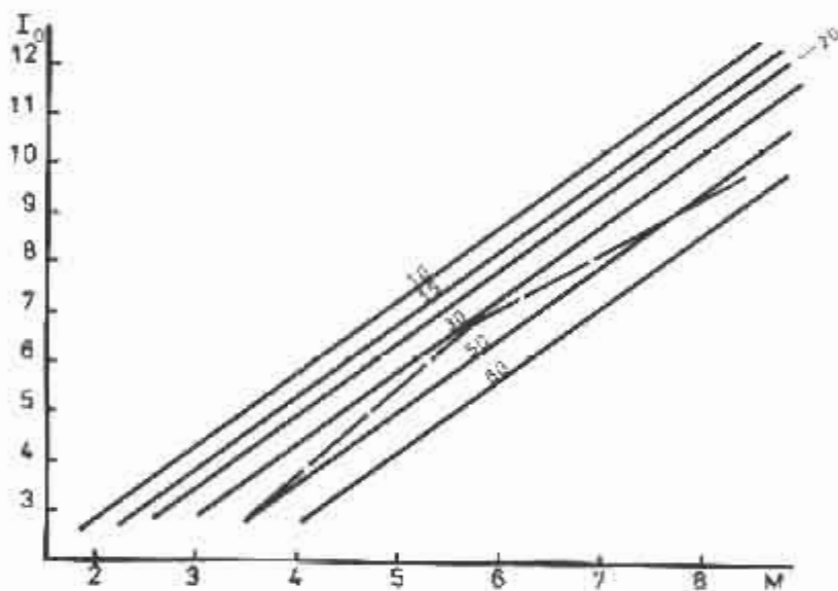


Рис. 2.1. Зависимость  $I_o$  от  $M_{LH}$  и глубины очага  $h$  км по (2.1).  
 Пунктиром показана эта же зависимость по (2.2) при  
 $M_{LH} > 5,6$  и (2.3) при  $M_{LH} \leq 5,6$ .

ба Каймана. Эти данные показывают очень низкое затухание, порядка затухания вдоль большей из полусосей обобщенных изосейст для острова Ганти.

Сложность вышеописанной картины требует создания модели изосейст, отличающейся от применяемых до настоящего времени. Решение этого вопроса играет важную роль для оценки сейсмической опасности Восточной Кубы.

Круговые модели изосейст выражаются формулами:

$$I = bM - s \lg r + c \quad (2.5)$$

$$I = bM - k \lg r - pr + d \quad (2.6)$$

Зависимость (2.5) изучена Н.В. Шебалиным. Параметры  $b$ ,  $s$  и  $c$  широко используются в СССР. Вторая формула (2.6) не так распространена, она хорошо описывает макросейсмическое поле землетрясений Камчатки /46/ и Карибского региона /3/.

Физический смысл параметров уравнений (2.5) и (2.6) был обсужден в работе /34/. Исходя из предположений о том, что между логарифмом плотности энергии и макросейсмической интенсивностью существует линейная связь, были получены соотношения между параметрами уравнений (2.5) и (2.6) и параметрами формулы зависимости логарифма плотности энергии от расстояний. Итак, формула (2.5) соответствует случаю, когда зависимость логарифма плотности энергии от расстояния описывается с помощью так называемого коэффициента эффективного расхождения, который включает в себя эффекты геометрического расхождения и поглощения. Такую роль в (2.5) играет параметр  $S$ . С другой стороны, (2.6) соответствует случаю, когда зависимость логарифма плотности энергии от расстояния описывается с помощью коэффициентов геометрического расхождения и

поглощения. Роль поглощения в (2.6) играет параметр  $\rho$ , роль геометрического расхождения играет параметр  $k$ .

Другая модель более общая – эллиптическая. Она определяется отношением главных полуосей эллипса  $A/B$  и соотношением между площадью изосейст с интенсивностью  $I$  и магнитудой  $/6_2, I:1/$

$$\lg Q_I = A_I + B_I M \quad (2.7)$$

В работе /8/ предлагается зависимость:

$$\lg Q(I, M) = a(I) + b(I) M + \sigma_Q E, \quad (2.8)$$

где  $\sigma_Q E$  – случайная составляющая, связанная с неоднородностью земли, вариацией глубин очагов и механизмами землетрясений.

Модели эллиптических изосейст. Форма эллипса задается отношением полуосей  $A/B$ . Макросейсмическое поле описывается по формулам (2.5) и (2.6), где  $r$  измеряется вдоль одной из полуосей или вдоль среднего радиуса эллипса. Используются уравнения, которые описывают эллипс как функцию параметров  $\Delta$ ,  $\alpha$ ,  $A$  и  $B$

$$\begin{aligned} \Delta &= A \left| \frac{\cos \theta}{\cos \alpha} \right| = B \left| \frac{\sin \theta}{\sin \alpha} \right|, \\ \theta &= \arctg (A/B \operatorname{tg} \alpha), \end{aligned} \quad (2.9)$$

$\Delta$  – расстояние от центра до точки на эллипсе;

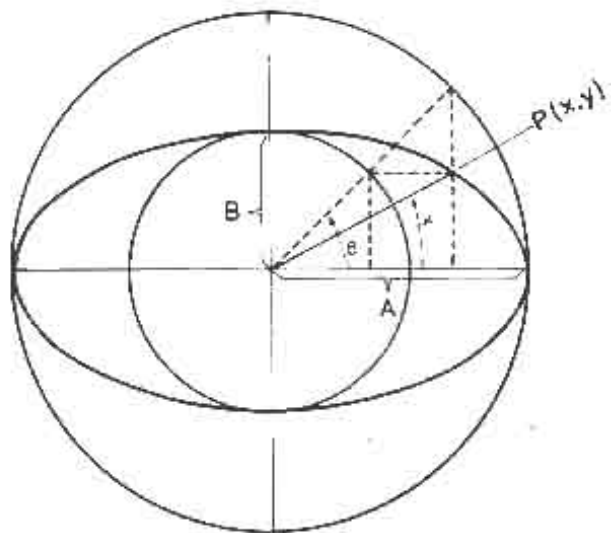
$A$  – большая полуось;

$B$  – малая полуось;

$\alpha$  – угол между большой полуосью и радиусом;

$\theta$  – вспомогательная переменная, угол см. на рис. 2.2.

Эта формула получена следующим путем (рис. 2.2). Рассмотрим две концентрические круги с радиусами  $A$  и  $B$ . Пусть точка  $P(x, y)$  соответствует точке эллипса с координатами  $(\Delta, \alpha)$ .



№ 2,2. Схема эллиптической модели.

Из рисунка видно, что

$$\left. \begin{array}{l} X = A \cos \theta = \Delta \cos \alpha \\ Y = B \sin \theta = \Delta \sin \alpha \end{array} \right\} \rightarrow \frac{Y}{X} = \frac{B \sin \theta}{A \cos \theta} = \frac{\sin \alpha}{\cos \alpha}$$

$$\therefore \theta = \arctg (A/B + \tan \alpha), \quad \Delta = A \left| \frac{\cos \theta}{\cos \alpha} \right| = B \left| \frac{\sin \theta}{\sin \alpha} \right|$$

Таким образом определяется форма изосейст. Спад интенсивности расстоянием определяется формулой типа (2.6). Комбинация обеих формул позволяет учесть разные типы затухания, потому что, если формула (2.6) справедлива вдоль одного направления, макросейсмическое поле будет одним, но, если она справедлива вдоль другого направления, макросейсмическое поле будет другим. Таким образом, макросейсмическое поле описывается отношением  $A/B$ , уравнением макросейсмического поля типа (2.6) и направлением, вдоль которого справедливо. Назовем эффективным радиус

$$R_E = \sqrt{\Delta_E^2 + h^2}, \quad (2.10)$$

вдоль которого справедлива формула (2.6): В (2.10)  $h$  — глубина эпицентра,  $\Delta_E$  — эпидицентрическое расстояние. Рассмотрим три случая:  $\Delta_E = A, B, \bar{\Delta}$ , где  $\bar{\Delta}$  — средний радиус эллипса.

Расчет среднего радиуса эллипса проводится следующим образом:

$$\bar{\Delta} = \frac{2}{\pi} \int_0^{\pi/2} \Delta d\alpha \quad (2.11)$$

Из уравнения эллипса:

$$\left( \frac{x}{A} \right)^2 + \left( \frac{y}{B} \right)^2 = 1 \longrightarrow \frac{\Delta^2 \cos^2 \alpha}{A^2} + \frac{\Delta^2 \sin^2 \alpha}{B^2} = 1$$

$$\Delta = \sqrt{\frac{1}{\frac{\cos^2 \alpha}{A^2} + \frac{\sin^2 \alpha}{B^2}}} = \sqrt{\frac{B}{\sin^2 \alpha + \frac{B^2}{A^2} \cos^2 \alpha}} = \frac{B}{\sqrt{1 - \left(1 - \frac{B^2}{A^2}\right) \cos^2 \alpha}}^{1/2}$$

$$\begin{aligned}\varphi = \pi/2 - \alpha &\longrightarrow \alpha = 0 \Rightarrow \varphi = \pi/2 \\ \alpha = \pi/2 &\Rightarrow \varphi = 0 \\ d\varphi = -d\alpha \\ \cos^2 \alpha &= \sin^2 \varphi\end{aligned}$$

$$1 - B^2/A^2 = m > 0$$

**Число из (2.11)**

$$\bar{\Delta} = \frac{2B}{\pi} \int_0^{\pi/2} \frac{d\varphi}{[1 - m \sin^2 \varphi]^{1/2}} = \frac{2B}{\pi} K(m) \quad (2.12)$$

где  $K(m)$  – эллиптический интеграл первого рода, для которого можно найти численные значения в таблицах. На рис. 2.3 нанесены отношения  $\bar{\Delta}/A$  и  $\bar{\Delta}/B$  для значений  $A/B$  от 1.0 до 3.0.

С другой стороны, угол, соответствующий среднему радиусу,

предается из уравнений

$$\begin{aligned}\frac{\bar{\Delta}^2 \cos^2 \bar{\alpha}}{A^2} + \frac{\bar{\Delta}^2 \sin^2 \bar{\alpha}}{B^2} &= 1 \longrightarrow \cos^2 \bar{\alpha} + \frac{A^2}{B^2} \sin^2 \bar{\alpha} = A^2/\bar{\Delta}^2 \\ \rightarrow 1 - \sin^2 \bar{\alpha} + \frac{A^2}{B^2} \sin^2 \bar{\alpha} &= \frac{A^2}{\bar{\Delta}^2} \longrightarrow \sin^2 \bar{\alpha} = \frac{1 - A^2/\bar{\Delta}^2}{1 - A^2/B^2} \\ \bar{\alpha} &= \arcsin \left[ \frac{1 - A^2/B^2 (\pi/2 K(m))^2}{1 - A^2/B^2} \right]\end{aligned} \quad (2.13)$$

На рис. 2.4 представлена зависимость  $\bar{\alpha}$  от  $A/B$ .

Для полного описания моделей изосейст достаточно знать отношение  $A/B$  полуосей эллиптических изосейст, зависимость интенсивности от гипоцентрального расстояния в виде коэффициентов формулы (2.6) и направление, по которому получена эта зависимость (одной из осей или вдоль среднего радиуса).

**Метод определение интенсивности.** Возьмем точку на карте и измерим, рассчитываются эпипостральное расстояние и угол между направлением и главной осью эллипса. По (2.9) определяются

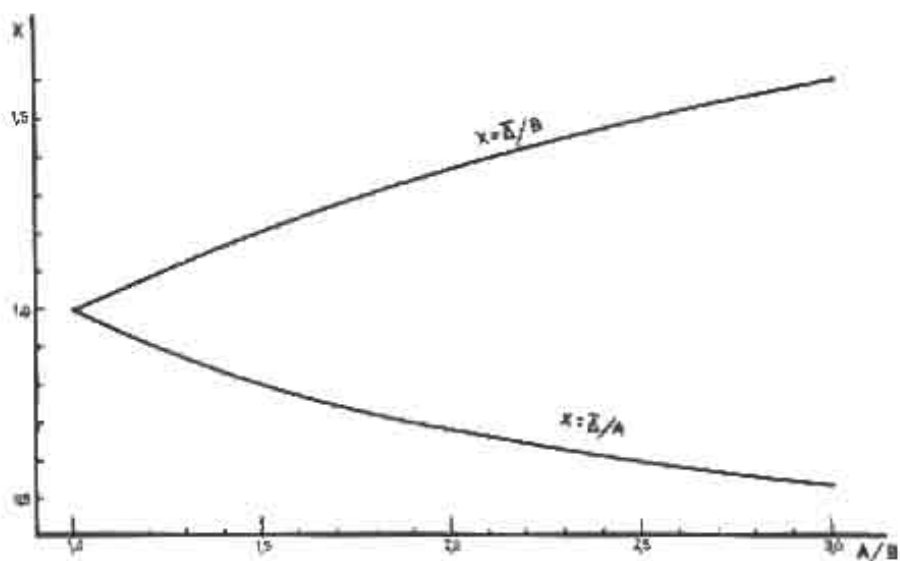
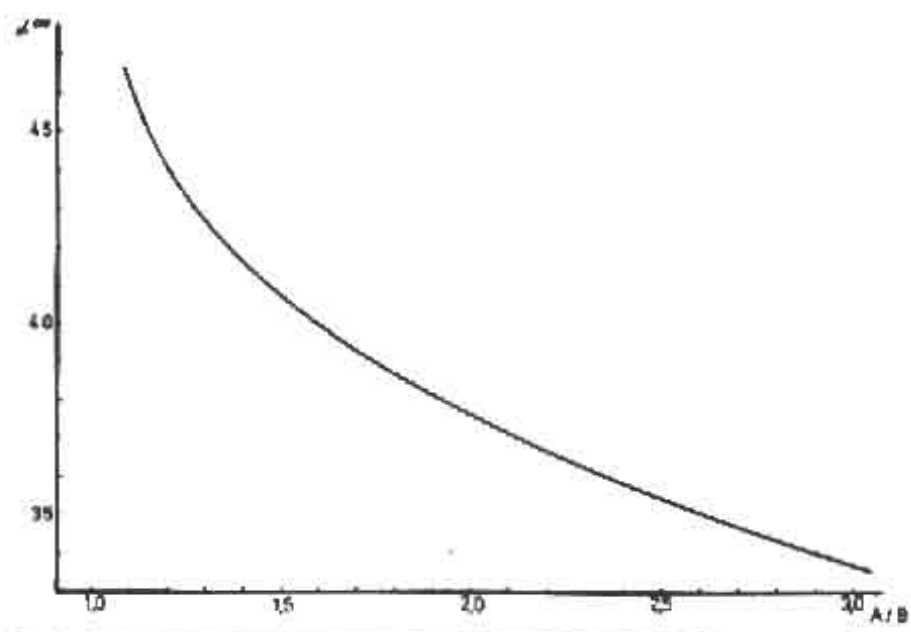


Рис. 2,3. Зависимость среднего радиуса  $\bar{\Delta}$  от отношения A/B .



2.4. Зависимость угла  $\alpha$ , соответствующего среднему радиусу  $\bar{R}$  от отношения  $A/B$ .

параметры А или В . Можно воспользоваться рис. 1.3 для оценки  $\bar{\Delta}$  . Затем рассчитывается эффективный радиус  $r_{\text{э}} = \sqrt{\Delta_{\text{э}}^2 + h^2}$  , где  $h$  - глубина очага, и  $\Delta_{\text{э}}$  может быть А , В , или  $\bar{\Delta}$  . По значению гипоцентрального расстояния и глубины землетрясения определяется значение интенсивности  $I$  по (1.5) или (1.6).

На рис. 1.5 представлены модели изосейст при  $M_{\text{LH}} = 6$  ,  $I = 5$  ,  $h = 5$  и  $A/B = 1,6$  ,  $1,0$  , для случаев  $\Delta_{\text{э}} = A$  ,  $\bar{\Delta}$  и  $B$  , расчеты проведены по (1.1).

Списание программы ISOSISTA . Для получения в графическом виде описанной модели была написана программа ISOSISTA . Исходные данные: параметры закона (1.6) , магнитуда, глубина, отношение главных полуосей А/В , масштаб и направление, вдоль которого спроецирована зависимость (1.6) . По этим данным программа дает карту изосейст . Принцип ее работы следующий: 1. На карте Земли образуются квадратные результаты расчетов интенсивностей для каждой точки карты . Площадь почти одной карты изосейст 48 см х 30 см . Расчеты проводятся для 10 591 точек . Исходные данные - параметры формул (1.6) и А/В , М ,  $h$  , масштаб карты и тип затухания , вызывается подпрограммой САММАС и затем проводятся все расчеты .

Подпрограмма САММАС работает следующим образом:

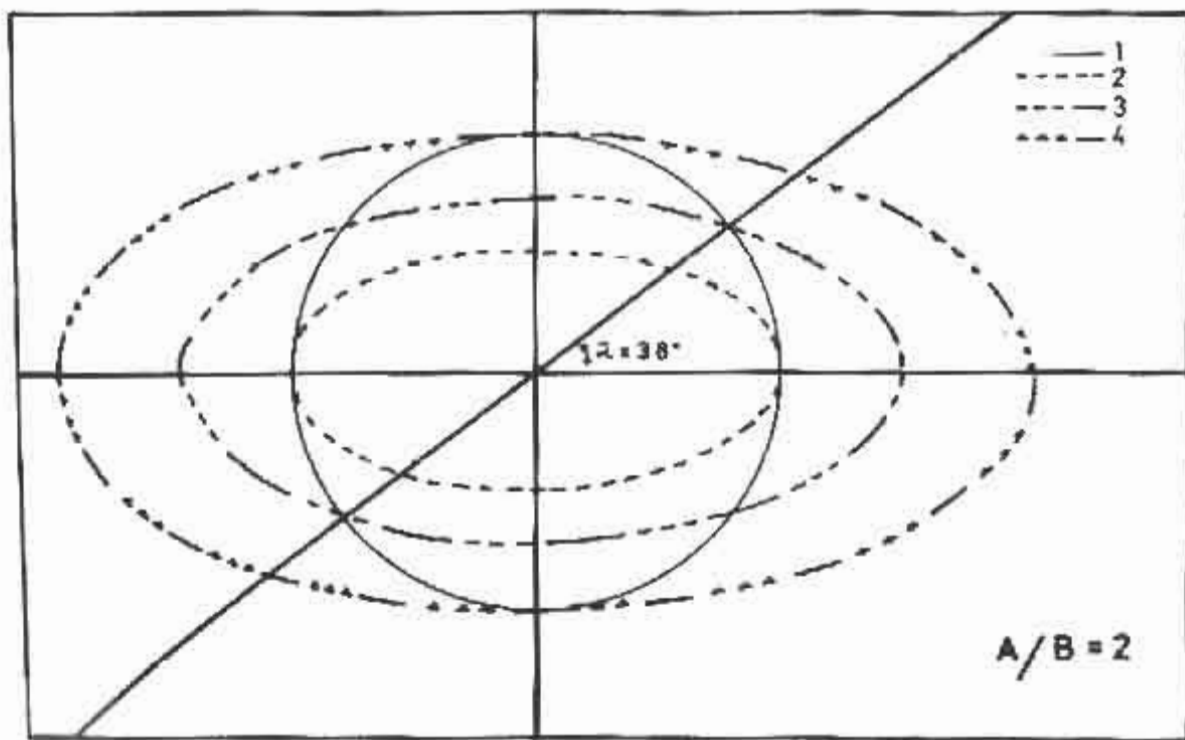
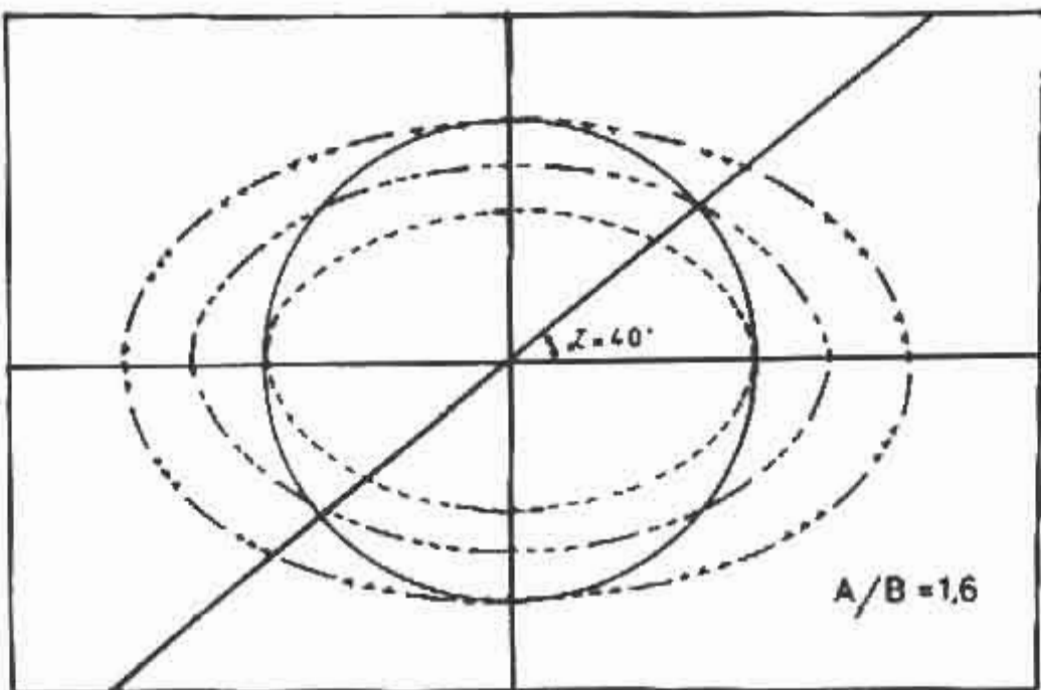
- фиксируется точка для расчета интенсивности;

- рассчитывается эпцентральное расстояние до центра карты с учетом масштаба;

- с помощью подпрограммы ELICAN это расстояние превращается в большую ось эллиса А , проходящего через эту точку (формула 1.9);

- в зависимости от направления, вдоль которого спроецирован закон (1.6) , это расстояние может быть превращено в меньшую полуось В , с помощью подпрограммы CORELI в средний радиус  $\bar{\Delta}$  (1.12);

- рассчитывается эффективное гипоцентральное расстояние для



2.5. Теоретические изосейсты 5-го балла для землетрясения с магнитудой  $M_{LN} = 6$  и  $h = 5$  км. I - круговые изосейсты, 2-4 - эллиптические изосейсты: 2 -  $\Delta_3 = A$ , 3 -  $\Delta_3 = \bar{A}$ , 4 -  $\Delta_3 = B$ .

этой точки и по формуле (2.6) определяется значение интенсивности; для печати на ЭВМ рассчитываемые значения интенсивности классифицируются по интервалам ( $I \pm 0.5$ ) и для каждого интервала фиксируется отдельный знак. Эти знаки печатаются и проводятся шаблонами вручную.

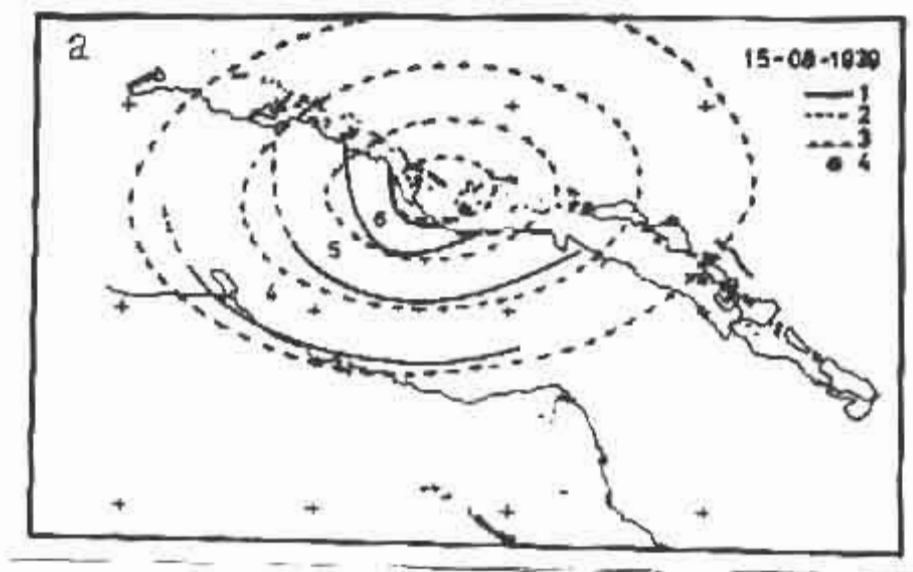
Сопоставление карт изосейст землетрясений с теоретическими моделями. Чтобы определить региональные характеристики моделей изосейст, было проведено сопоставление карт изосейст землетрясений Большых Антильских островов /56, 69, 73, 74, 75, 120/ с теоретическими моделями.

По картам изосейст определялись средние значения  $A/B$  и с помощью программы ISOSISTA были получены теоретические модели для разных магнитуд, глубин и широты при расчете эффективного радиуса.

Всего было рассмотрено 18 карт изосейст. Из них для Центральной Кубы - 5 карт, для Юго-Восточной Кубы - 5, для Северной части острова Гаити - 3 и для южной части острова Гаити - 4, а также одна карта для острова Ямайки. Определение параметров модели проходило по методу последующих приближений, при сопоставлении изображаемой карты изосейст и набора карт теоретических изосейст с разными значениями параметров, но всегда с использованием формулы (2.1).

Землетрясение Центральной Кубы 15 августа 1939г расположено в отверстиях акватории этого региона, рис. 2.6а. Карта изосейст землетрясения хорошо согласуется с моделью, рассчитанной для  $M_{\text{LH}} = 5.5$ ,  $A/B = 1.6$ ,  $h = 15$  км и  $\Delta_s = A$  (рис. 2.6а).

Четыре землетрясения Юго-Восточной Кубы расположены в регионе Сантьяго-де-Куба: 11 октября 1968г.,  $m_{\text{рв}} = 4.1$ ,  $A/B = 1.15$ ; 20 ноября 1983г.,  $A/B = 1.07$ ; 7 августа 1947г.,  $M(\text{PAS}) = 6.75$ ,  $h = 50$  км,  $A/B = 1.07$ ; 3 февраля 1932г.,  $M(\text{PAS}) = 6.75$ ,  $h = N$ .



■ 2.6. Сопоставление наблюденных и теоретических изосейст:

а) Землетрясение 15 августа 1939г.  $M_{LH} = 5,3-5,9$ .

I-2 - наблюденные изосейсты; 3 - теоретические изосейсты.  
параметры модели:  $A/B = 1,6$ ,  $h = 15$  км,  $M = 5,5$ ,  $\Delta_0 = \Delta$  ;  
4 - инструментальный эпицентр.

б) Землетрясение 7 августа 1947г.  $M_{LH} = 6,75$ . параметры  
модели:  $M = 6,3$ ,  $h = 30$  км,  $A/B = 1,07$ ,  $\Delta_0 = \Delta$  .

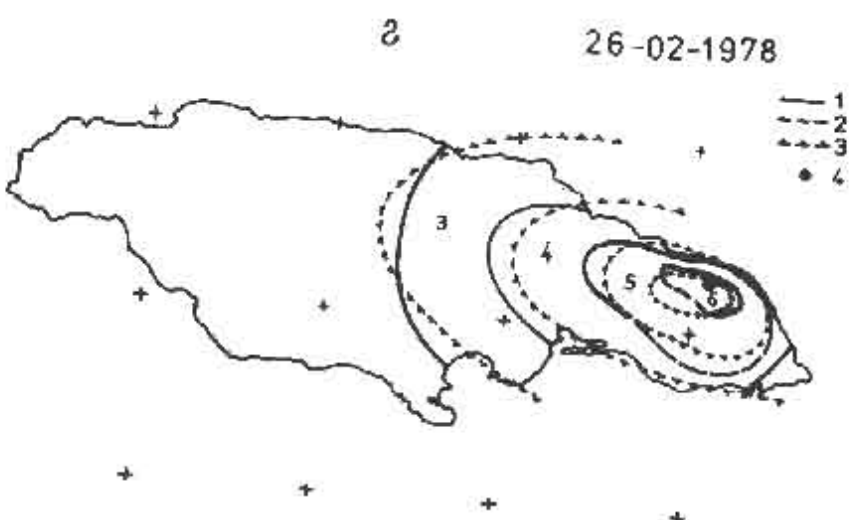
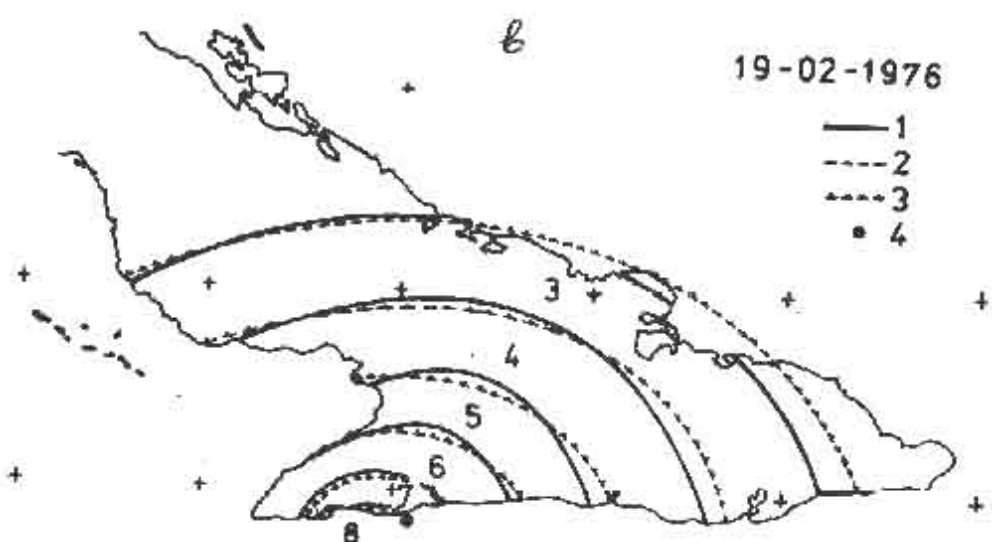
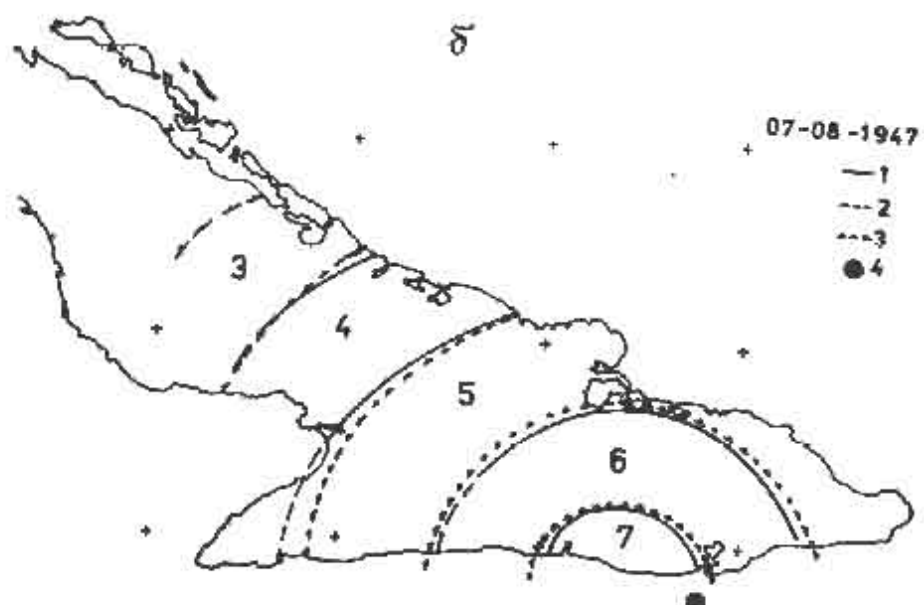
в) Землетрясение 19 февраля 1976г.  $M_{LH} = 5,7$ . параметры  
модели:  $M = 5,7$ ,  $h = 15$  км,  $A/B = 1,57$ ,  $\Delta_0 = \Delta$  .

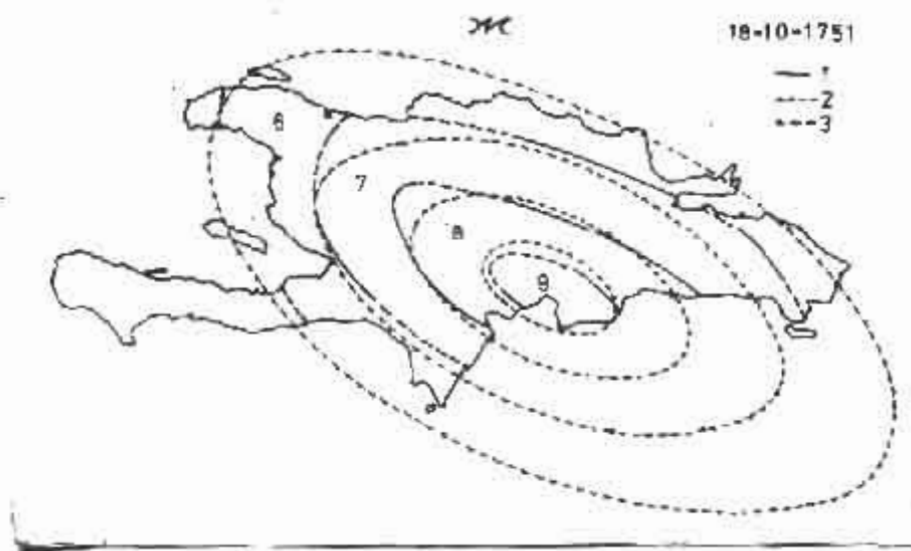
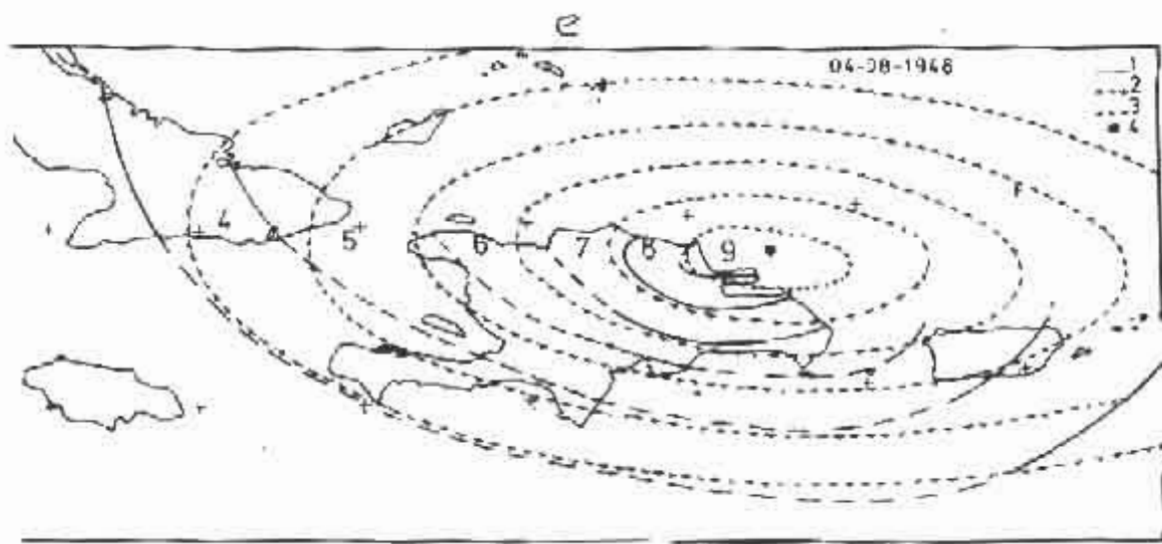
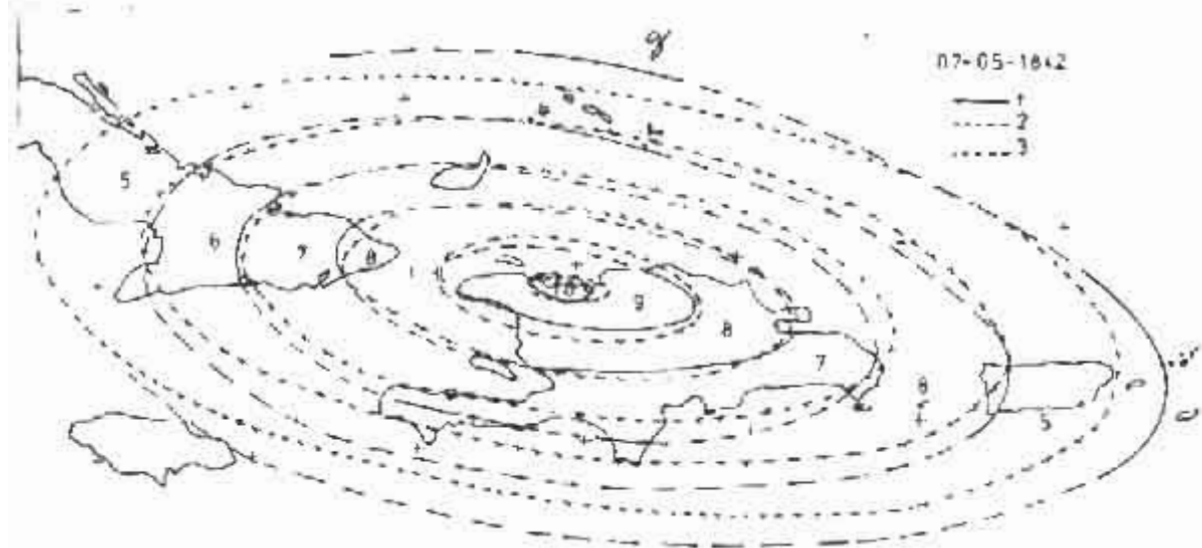
г) Землетрясение 16 февраля 1978г.  $m_{PV} = 4,5$ . параметры  
модели:  $M = 4$ ,  $h = 5$  км,  $A/B = 2,14$ ,  $\Delta_0 = \Delta$  .

д) Землетрясение 7 мая 1842г. параметры модели:  $M = 8,2$ ,  
 $h = 60$  км,  $A/B = 2,7$ ,  $\Delta_0 = \bar{\Delta}$  .

е) Землетрясение 4 августа 1946г.  $M_{LH} = 8,1$ . параметры  
модели:  $M = 7,75$ ,  $h = 50$  км,  $A/B = 2,7$ ,  $\Delta_0 = \Delta$  .

ж) Землетрясение 18 октября 1751г. параметры модели:  
 $M = 7,25$ ,  $h = 30$  км,  $A/B = 2,1$  и  $\Delta_0 = \bar{\Delta}$  .





$A/B = 1,15$ .

Среднее отношение  $A/B$  для изосейст землетрясений региона равно 1,1. Карты изосейст хорошо совпадают с теоретическими моделями:

Землетрясение 11 октября 1968г., модель рассчитана с параметрами  $M_{LH} = 4,1$ ,  $h = 30$ ,  $A/B = 1,15$  и  $\Delta_0 = A$ ; изосейст 6 белков имеет большую площадь, чем рассчитанная;

Землетрясение 30 ноября 1963г соответствует модели с параметрами  $M_{LH} = 3,8$ ,  $A/B = 1,1$ ,  $h = 15$  км и  $\Delta_0 = A$ ;

Землетрясение 7 августа 1947г соответствует модели с параметрами  $M_{LH} = 6,3$ ,  $h = 30$ ,  $A/B = 1,07$  и  $\Delta_0 = A$ . Интересно отметить в этом случае большую разницу между магнитудами, получившими из макросейсмических данных путем подбора модели, и инструментальными определениями. В каталоге (приложение I) помещено значение магнитуды по макросейсмическим данным (рис. 1.6б);

Землетрясение 3 февраля 1934г. изосейсты соответствуют модели с параметрами:  $M_{LH} = 6,75$ ,  $A/B = 1,15$ ,  $h = 30$  км и  $\Delta_0 = A$ .

Землетрясение 10 февраля 1976г было детально изучено в работе [56]. Для него получено очень хорошее согласие с моделью, рассчитанной при  $M_{LH} = 5,7$ ,  $h = 15$  км,  $A/B = 1,57$  и  $\Delta_0 = A$  (рис. 1.6в).

Для региона Ямайки удалось проанализировать только одно землетрясение 6 февраля 1976г с  $m_{PV} = 4,5 / 1:0/$ . Получено хорошее согласие с моделью, рассчитанной при  $M_{LH} = 4$ ,  $A/B = 1,14$ ,  $h = 5$  км,  $\Delta_0 = A$  (рис. 1.6г).

Для Северного Гаити анализировались следующие землетрясения: 1840г ( $A/B = 1,7$ ); 9 декабря 1837г ( $A/B = 1,9$ ); 4 августа 1946г ( $A/B = 1,7$ ,  $M(PAS) = 8,1$ ).

В этих случаях были рассчитаны модели при  $\Delta_0 = \bar{\Delta}$ .

Для землетрясения 7 мая 1840г получено хорошее согласие с

моделью, рассчитанной при  $M_{LH} = 8,1$ ,  $A/B = 1,7$  и  $h = 60$  км (рис. 1.6д). Для землетрясений 29 декабря 1897г получено хорошее согласие с моделью, рассчитанной при  $M_{LH} = 7,5$ ,  $A/B = 1,9$  и  $h = 50$  км. Для землетрясения 4 августа 1946г не было получено согласия ни с одной моделью при  $M_{LH} = 8,1$ , только фиксируя  $M_{LH} = 7,75$ , удалось получить согласие с моделью, рассчитанной при  $A/B = 1,7$  и  $h = 50$  км (рис. 1.6е).

Для каждого Гаити анализировались следующие землетрясения: 10 октября 1751 (  $A/B = 1,1$  ); 11 февраля 1751г (  $A/B = 1,1$  ); 1 апреля 1860г (  $A/B = 1,1$  ) и 11 мая 1910г (  $A/B = 1,1$  ).

Во всех случаях были выбраны модели с  $A/B = 1,1$  и  $\Delta_0 = \bar{\Delta}$ . Хорошие согласия были получены при следующих значениях:  $M_{LH}$  и  $h$ : 10 октября 1751г (  $M_{LH} = 7,5$ ,  $h = 30$  ) - (рис. 1.6ж); 11 ноября 1751г (  $M_{LH} = 6,5$ ,  $h = 30$  ); 9 апреля 1860г (  $M_{LH} = 6,4$ ,  $h = 50$  ); 11 мая 1910г (  $M_{LH} = 6,5$ ,  $h = 30$  ).

Модели изосейст при расчетах сейсмической опасности Восточной Кубы. Для оценки сейсмической опасности Восточной Кубы необходимо принять решение о параметрах модели изосейст, которые будут учтены в каждой зоне ВОЗ, исходя из множества вышеуказанных данных.

Зоны ВОЗ в Центральной Кубе. По обобщенным изосейстам  $A/B = 1,4$ , по моделям отдельных землетрясений  $A/B = 1,9$ .

Зоны ВОЗ в Центрально-восточной Кубе. В регионе Сантьяго-де-Куба по обобщенным изосейстам  $A/B = 1,1$ , по моделям отдельных землетрясений  $A/B = 1,2$ . Было принято решение  $A/B = 1,1$ ,  $\Delta_0 = A$ . Район землетрясения 19 февраля 1976г (  $A/B = 1,6$ ,  $\Delta_0 = A$  ) может быть отнесен отдельной зоной по характеру макросейсмического поля.

Ямайка. Имеются противоречивые данные. С одной стороны, мало затухание между Ямайкой и Кубой /4/ и, с другой стороны, большое затухание в том же направлении по карте изосейст землетрясения 26 февраля 1976г. Было принято решение использовать круговую

шель изосейст.

Северный Гаити. По обобщенным изосейстам для всего острова  $A/B = 3,3$  по моделям отдельных землетрясений  $A/B = 2,4$ . Было принято решение  $A/B = 2,4$ .

Доминиканская Республика. Хотя и удалось отредактировать по моделям отдельных землетрясений параметры  $A/B$  и  $\Delta_0$ , были использованы только макросейсмические данные, и поэтому было принято решение использовать кривую модель изосейст.

Макросейсмическое поле для всего региона описывается только с помощью одного закона (1.1), и почти все особенности могут быть объяснены вариацией параметров модели, описанной формулой (2.9). Это упрощает задачу оценки сейсмической опасности.

Другой вопрос, который надо иметь в виду, касается ориентации большой полуоси эллиптической изосейсти по отношению к направлению зоны ВОЗ. За исключением слабых землетрясений в разломе Лагранжа /75/, все рассматриваемые случаи характеризуются совпадением ориентации больших полуосей и направлением зоны ВОЗ. Поэтому сейсмической опасности Юго-Восточной Кубы считается, что ориентация большой полуоси эллипса соответствует направлению зоны ВСЗ.

### 2.3. Описание каталога землетрясений региона за 1551-1981 гг.

Каталог сильных землетрясений (приложение I) был составлен из инструментальных данных, взятых из международных сводок, и по сейсмическим данным для  $I \geq 6$ . Он отличается от ранее созданного /4/ добавлением других данных, намного иным рассмотренным вопроса о затухании сейсмической интенсивности (см. 2.1) и учетом грунтовых условий в районе Кингстона на острове Ямайка /30/.

Для исторических землетрясений параметры определены следующим образом:

а) Координаты эпицентров близки к центру с максимальной интенсивностью;

б) Глубина. Установлено были землетрясения с глубинами заложения: Центральная Куба ~ 30 км, Ямайка ~ 30 км, Гондурас ~ 30 км (сильное землетрясение ~ 50 км), Куба (остальная территория) ~ 5-10 км.

б) Магнитуды определены из соотношений  $I_0 = f(M_{LH})$ , полученных по формуле (1.1) при разных значениях  $\Gamma$ . В качестве  $I_0$  были взяты значения  $I_{max}$ . В случае удаления от зоны LOS точки с максимальной интенсивностью магнитуда определяна из соотношения  $I = f(M_{LH}, \Gamma)$ , полученного по формуле (1.1). Однако при наличии достаточного количества данных для отдельных землетрясений было рассмотрено их совпадение с теоретическими моделями в более точном определении параметров. Следует отметить, что соотношения  $I_0 = f(M_{LH})$  и  $I_0 = f(M_{LH}, \Gamma)$  не имеют однозначного решения. Так, как правило, определяются интервалы из-за того, что целое значение интенсивности  $I$  соответствует на самом деле интервалу ( $I - 0,5, I + 0,5$ ). Эти интервалы можно представить на формуле (1.1) так, что рис. 1.1. Сбор значений магнитуд внутри определенного интервала осуществляется при компьютерном анализе совокупности имеющихся микросейсмических данных.

Исторические данные сильно связаны с расположением населенных пунктов и прошлом. Например, для Центральной Кубы из 13 землетрясений  $I \geq 6$  для срока 1551-1900 гг. 10 относятся к городу Сантьяго-де-Куба (крупнейший населенный пункт в районе). Но другие города региона почти не имеются данных, что может быть связано тем, что они расположены далеко от берега (основная зона LOS), поэтому там не ощущались даже сильные сотрясения.

С другой стороны, микросейсмические объекты в большой мере зависят от грунтовых условий. В [136] изучалось влияние грунто-заполнений в г. Министон (Ямайка) на частоту повторения сотрясений

■ период 1860-1969гг. Авторы пришли к выводу, что высокая наблюдавшаяся частота повторения сотрясений в г. Кингстон не связана с близостью города к какой-либо сейсмической зоне, но объясняется усилием эффектов землетрясенийложенными грунтовыми условиями. Поэтому в анализе макросейсмических данных были для городов Кингстон и Порт-Рояль считались, что близость связана не единому.

Макросейсмические данные были использованы для определения магнитуды по сильных землетрясений с координатами, определенными инструментально.

Таким образом, в каталоге имеется множество определений магнитуд по макросейсмическим данным в XVI-XIX веках.

В X веке в 1901-1910гг - из 11 землетрясений только одно имеет инструментальное определение магнитуды,

- это землетрясение 14 января 1907г в районе Гавайки -  $M_{LH} = 6,6$ , определено по длительности звуков на удалении станиц /5/;

В 1911-1920гг - из 8 землетрясений только для двух магнитуды определены по инструментальным данным. Максимальная  $M_{LH}$  по макросейсмическим данным равна 6.

В 1921-1930гг - из 7 землетрясений только для двух магнитуды определены по инструментальным данным. Максимальная  $M_{LH}$  по макросейсмическим данным равна 5,4.

В 1931-1940гг - из 13 землетрясений для семи магнитуды определены по инструментальным данным. Максимальная  $M_{LH}$  по макросейсмическим данным равна 5.

После 1950г все сильные землетрясения имеют хотя бы одно

инструментальное определение магнитуды. Только для сравнительно многих землетрясений магнитной сети не удалось определить их магнитуду.

Следует отметить, что после начала работы станции Рио-Каррикагордо (RCC) в 1967г идет регистрация большого количества слабых землетрясений этого региона. Они не были включены в каталог.

Специального рассмотрения требует случай двух землетрясений, которые не были включены в каталог (разделение I), но представляем в работе /3/.

Это землетрясение 14 июня 1899г  $M = 7,8$ ,  $18^{\circ}$  с.ш.,  $77^{\circ}$  з.д.;

11 июня 1900г  $M = 7,9$ ,  $10^{\circ}$  с.ш.,  $80^{\circ}$  з.д.

В /4/ они не были включены в каталог из-за отсутствия макросейсмических данных, подтверждавших, что они произошли в районе Кубы. Недавнее пересчитование магнитуды /104/ дало значения  $M_{LH} = 7,8$  для первого,  $M_{LH} = 7,6$  – для второго. Сложнее обстоит дело с уточнением координат. Землетрясение 14 июня 1899г имеет однозначные координаты в работах /88/ и /66/. В первой даются ошибки ( $\pm 10^{\circ}$ ), во второй говорится, что землетрясение ощущалось на острове Гандиа. Имел в виду, что на всем острове были отмечены сотрясения 4 балла /144/ и что землетрясение не было замечено на островах Кубы и Гандиа, можно думать, что эпицентр находился примерно в 400 км от острова Ямайки, вероятно, к западу от него, в регионе юго-западного острова Большого Каймана.

Для землетрясения 11 июня 1900г данные противоречивы. В работе /88/ эпицентрложен в  $10^{\circ}$  с.ш. и  $80^{\circ}$  з.д. с погрешностями  $\pm 10^{\circ}$ . С другой стороны, в работе /61/ тот же эпицентрложен в  $15^{\circ}$  с.ш.,  $86^{\circ}$  з.д. без указания данных, использованных при определении этих координат. Кроме того, нет макросейсмических данных, которые позволили бы уточнить координаты эпицентра, можно только гарантировать, что оно не произошло внутри анализируемого района.

## ГЛАВА 3. ТЕКТОНИЧЕСКАЯ ОБСТАНОВКА И СЕЙСМИЧНОСТЬ КАРИБСКОГО РЕГИОНА. ПОСЛЕДНИЕ ЗОНЫ ВОЗ

### 3.1. Обзор наиболее важных работ по тектонике и сейсмичности Карибского региона

Тектоника Карибского региона изучалась многими авторами. Первая работа, в которой дается интерпретация сейсмичности с точки зрения тектоники плит, опубликована Молнером и Сайксом /14/. В этой работе переопределены гипоцентры и магнитуды землетрясений за период 1950–1965 гг., получены параметры механизма очагов для многих землетрясений и рассмотрен вопрос о распределении гипоцентров в пространстве. В результате были выделены границы Карибской плиты, определен характер смещений на них, дана оценка движений плит.

Северо-западная граница Карибской плиты, которая не была четко установлена в работе Молнера и Сайкса, была детально изучена после землетрясения 4 декабря 1976 г. ( $M_S = 7,5$ ) в Гватемале, где существует система молодых активных разломов, смещение по которым соответствует левому сдвигу /14/. Во время Гватемальского землетрясения произошел левый сдвиг по плоскости с азимутом  $66^\circ$  в узком падении  $90^\circ$  /105/. Плаффером /14/ были предложены разные модели, объясняющие характер сочленения плит Кокосовой, Северо-американской и Карибской. На западном побережье Центральной Америки, кроме поддвига Кокосовой плиты под Карибскую, наблюдался сдвиг вперед границы плит, отмеченный перерывами в цепи вулканов /53/. Примером сейсмогенного смещения такого характера может служить смещение типа левого сдвига в очаге землетрясения 31 декабря 1972 г. ( $M_S = 6,2$ ) /49/, которое разрушило город Манагуа.

Днице границы Карибской плиты очень сложные /79, II9, 112/.

Восточная граница Карибской плиты характерна для островных дуг. Она расположена на востоке Малых Антильских островов, где, как считают, начинается поддвиг Карибской и Северо-Американской плит под Карибскую плиту. Авторы /140/ пришли к выводу, что сейсмичность этого региона в большей мере соответствует внутреннему типу, только маленькая часть смещений связана с землетрясениями, механизм которых объясняется поддвигом. Кроме того, авторы /140/ отмечают, что не существует явных признаков существования границы между Северо-Американской и Карибской плитами.

На западе островной дуги положение не менее сложне. Границы между плитами автор /84/ проводит вдоль желоба Нуэрто-Рико (на севере этого острова). Она наклонная, как на обычных поддвигаемых границах островных дуг, однако главное движение происходит вдоль дуги, а не вкrest, как характерно для таких районов. Кроме того, существует полоса наглубокой сейсмичности с простиранием с.в. - ю.з. К ней приурочено цунамигенное землетрясение 1867г с магнитудой  $7\frac{3}{4}$  /84/. На северном побережье острова Гаити характер сейсмической границы не очень ясен /59, 60, 115/.

От Центральной Америки до острова Гаити Молинар и Сайкс предполагали существование левого сдвига вдоль огромного трансформного разлома. Положение осложнилось открытием в районе впадины Мария центра спрединга морского дна /93, III/. К востоку от этого центра до  $73^{\circ}$  з.д. механизм очагов землетрясений соответствует тому сдвигу вдоль северного борта желоба Каймана /56/.

Были проведены различные работы по вопросу комплексной интерпретации тектоники Карибского региона. Среди них следует отметить работу Йордана /100/, в которой дается схема границ Карибской плиты, определяются характер смещения вдоль них и оценивается скорость

дивия на разных ее участках. Скорость движения Карибской плиты по отношению к Северо-Американской плите по /100/ равна 2,1 см/год, абсолютная скорость равна 0,6 см/год.

Совсем другую картину представляют Ушаков и соавторы /44/. При анализе нарушенной изостазии эти авторы не только определяют границы Карибской плиты, но и выделяют семь микроплит. На северной части Карибского региона выделяются две микроплиты: Кубинская и Гаити. Первая из них находится на Северо-Американской плите и захватывает Кубу и территории к югу до границы с Карибской плитой. Кубинская микроплита выделена п. азимутально, микроплита Гаити захватывает острова Гаити, Пуэрто-Рико и Бирючинские острова. Северная граница соответствует между плитовой границе, южная граница проходит через юг островов Гаити и Пуэрто-Рико и изгибается на с.-з. в встречи с между плитовой границей на самом востоке Пуэрто-Рико. По мнению этих авторов, характер смещения на границах этих микроплит очень разнообразен. На западе от  $81^{\circ}$  з.д., кроме сдвигов, существует поддвиг Северо-Американской плиты под Карибскую, а на востоке от  $81^{\circ}$  з.д. отмечается поддвиг Карибской литосфера под остров Куба и под островную гряду Кайман. Что касается плиты Гаити, кроме левого сдвига, имеет место двухсторонний поддвиг под острова Пуэрто-Рико и Гаити. Чтобы объяснить различия в направлении подвигания на Кубе и в районе Гаити-Пуэрто-Рико, авторы предполагают существование трансформного разлома между Кубой и южным Гаити. Однако следует отметить, что сейсмологические данные опровергают этой картину для Юго-Восточной Кубы /3, 53, 56/. С другой стороны, в южной части Карибского региона эти авторы выделяют пять микроплит, их границы вообще совпадают со структурными характеристиками, представленными в схеме Хордана /100/. Скорость дислокации на границе между Карибской и Северо-Американской плитами, оцененная в /43/ с учетом данных Хордана /100/, равна

1,4 см/год, абсолютная скорость равна 1 см/год.

Другие оценки скоростей получили Сайкс и соавторы /143/.

Скорость между Карибской и Северо-Американской плитами оценивается в  $3,7 \pm 0,5$  см/год для востодвижка 7 млн. лет на основании конфигурации сейсмоактивных зон около Восточного Гаити, Пуэрто-Рико и Новых Ангольских островов. В абсолютной системе, связанной с "горячими пятнами", Карибская плита находится почти в локе. Исходя из этих значений межплатовой скорости, авторы предлагают модель для региона спрединга морского дна во владении Каимана. Северный борт в адии к западу от разлома все смигчен, тогда как на юном борту происходит смещения со скоростью 3–4 см/год. По мнению авторов /143/, скорость разогенеза 1 см/год на каждой стороне, к востоку от разлома смещение разделяется на оба борта мелоба Бартлет. По северному борту, исходя из его большой активности, предполагается, что все смещения идут за счет разогенеза – 2 см/год. Таким образом, по юному борту проходит остальная часть адии – 1–1,5 см/год. Из анализа сейсмичности видно, что наиболее активные структуры в Карибском регионе. На северной границе Карибской плиты основная сейсмоактивная структура проходит через южный борт владения Каимана до разлома, где она разделяется на две части. Северная часть проходит вдоль северного борта мелоба Бартлет и северного побережья острова Гаити. Южная часть проходит вдоль южного борта мелоба Бартлет, охватывая остров Ямайку и через юг острова Гаити. В регионе острова Гаити авторы намечают две отдельные малые сейсмоактивные зоны: в центре самого острова и на острове Гонав.

Общее описание основных структурных особенностей Карибского региона дано Рябухиным /38/. В этой работе не рассматривается вопрос о динамике региона, однако выделяются две микроплиты в северной части внутри Северо-Американской плиты: Касканская, охва-

пацией полуостров такого же названия и часть Мексиканского залива, и Багамской, охватывающей острова такого же названия, полуостров Флорида и прилегающие акватории. Восточная граница Икстапанской микроплиты и южная граница Багамской микроплиты соответствуют границам Кубинской микроплиты, выделенным Ушаковым и другими /4/.

В работе /39/ Рибужин и другие выделяют микроплиту Гаити-Пуэрто-Рико. Она соответствует выделенной в /44/ под названием Гаити, но западная ее граница остается неопределенной.

В заключении эти же авторы подчеркивают, что границы Карибской плиты отмечаются четко только на западе и востоке, в то время как на севере и юге проходят неоднозначно, что связано с нюансами микроплит.

Из рассмотренных работ видно, что тектоника Карибского региона очень сложная и до настоящего времени не вполне объяснена. Причины объяснения, предложенные различными авторами, иногда противоречивы.

### 3.2. Сейсмичность Карибского региона

Соотношение между магнитудами  $m_{PV}$  и  $M_{LN}$ . Для изучения сейсмичности Карибского региона были использованы главным образом широкие каталоги EDF и ISC, описанные в разделе I.2. Данные о магнитудах землетрясений в этих каталогах соответствуют определением  $m_{PV}$ ,  $M_{LN}$  или другой  $M$  неопределенного типа, который в большинстве случаев можно считать как  $M_{LN}$ . Корреляцию между  $m_{PV}$  и  $M_{LN}$  принято считать линейной и обладающей независимым характером.

На основании 64 совместных определений ( $m_{PV} + M_{LN}$ ) для данного региона была установлена корреляционная связь /3/:

$$M_{\text{LH}} = (1,51 \pm 0,1, I) m_{\text{PV}} - (2,79 \pm 0,05) \quad (3.1)$$

Она справедлива для средних значений  $m_{\text{PV}}$  и  $M_{\text{LH}}$ , полученных на основании множества индивидуальных определений, как, например, определение NEIS и ISC для  $m_{\text{PV}}$ , определение NEIS, ISC и MOS для  $M_{\text{LH}}$ . Для использования других определений необходимо проверки специальные исследования, потому что соотношения могут быть совсем разными, кроме того, избираются поверхности вероятности, как было отмечено при определении  $m_{\text{LW}}$  — магнитуд, публикуемых в библиографии Сейсмологического института Университета Вест-Чилдса /9/.

Представительность данных о землетрясениях в каталоге EDF и в регионах 0°–30° с.ш. и 50°–100° в.д. Первый вопрос, который требует еще дальнего рассмотрения, касается сильных землетрясений прошлого века и начала настоящего. Определение координат центров и магнитуд для них не очень точны. Две землетрясения из каталога EDF, попавшие непосредственно в регион Ежной Кури, были исключены из составленного нами каталога. В таблице 3.1 приведены данные о количестве землетрясений с  $M \geq 7,8$  для временных интервалов за 8 лет в период с 1898–1933 гг. Количество землетрясений в первом периоде значительно больше, чем в остальных. Это явление характерно не только для Карибского региона. Канадские /10/ проанализировали метод определения магнитуд землетрясений в этот период и нашли, что определения магнитуд ненадежны. С другой стороны, для Карибского региона удалось собрать геофизические данные об этих землетрясениях, табл. 3.2. Одни из землетрясений 8 января 1900 г., 16 мая 1900 г. и 14 января 1900 г. на территории Мексики в хороших документах различных каталогах и макросейсмических данных по этой республике. Для последующих

Таблица 3.1

Распределение землетрясений с  $M \geq 7,8$  по magnitude и периодам

Период	$M \geq 7,8$	$7,8 < M \leq 8,2$	$M > 8,2$
1898-1903	10	4	6
1904-1909	5	2	3
1910-1915	2	2	0
1916-1921	0	0	0
1922-1927	0	0	0
1928-1933	4	4	0

Таблица 3.2

Сильные землетрясения с  $M \geq 7,8$  за 1898-1903 гг.

Год	месяц	число	T <sub>0</sub>	φ°	λ <sub>w</sub> °	h км	M	I <sub>max</sub>
1898	4	29	16	18	12	86	-	7,9
1899	I	24	23	43	17	38	-	8,4
1899	6	14	II	03	18	77	-	7,8
1900	I	20	06	33	10	105	25	8,3
1900	5	16	10	11	10	105	25	7,8
1900	6	21	20	52	20	80	25	7,9
1900	10	29	09	II	II	66	25	8,4
1902	4	19	02	23	14	91	25	8,3
1902	9	23	20	18	16	93	25	8,4
1903	I	14	01	47	15	98	25	8,3

но, хотя и существуют несогласия между инструментальными и макрообъемческими данными, они не очень велики. Отличия переопределенных магнитуд от первоначальных лежат в пределах ошибок /55/.

Для построения таблиц распределения числа землетрясений внутри временно-магнитудных интервалов автором была написана программа. Она выбирает из каталога землетрясения, находящегося внутри района, ограниченного координатами и глубине, и классифицирует их по годам и магнитуде. Результаты дается в таблице числом землетрясений для разных интервалов времени и глубине. Размеры интервалов задаются исходя из данных.

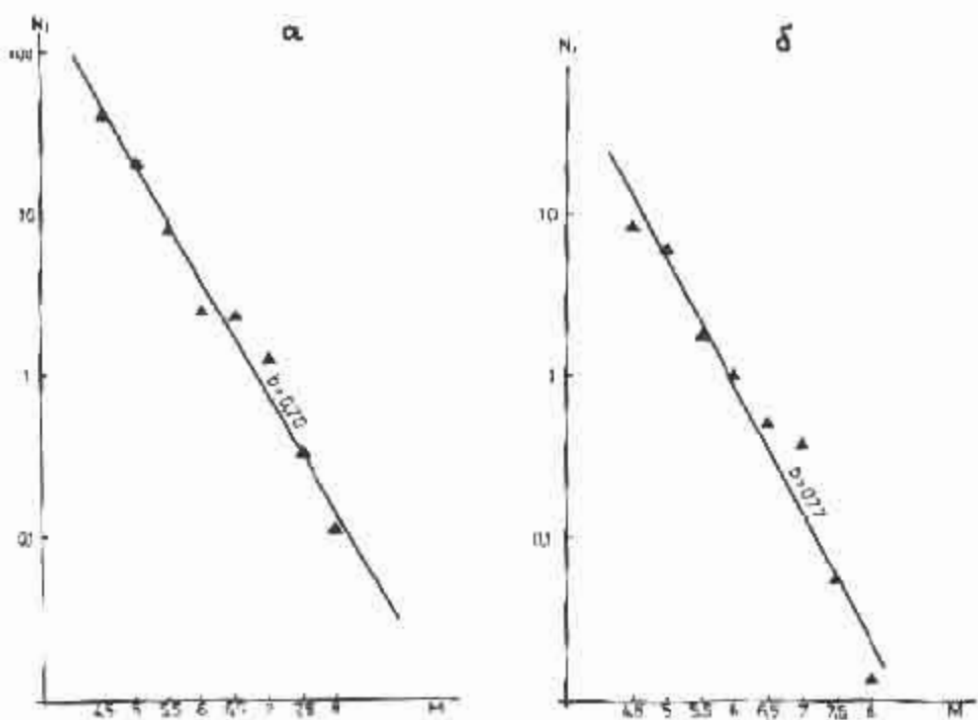
С помощью этой программы были получены таблицы числа землетрясений в магнитудно-временных шкалах для региона  $0^{\circ}$ - $30^{\circ}$  с.ш. и  $50^{\circ}$ - $100^{\circ}$  з.д., для двух интервалов глубин ( $0$ - $70$  км и  $70$ - $150$  км) за периода 1904-1975 гг (таблица 3.3). Гравийные интервалы были с одинаковой продолжительностью С лет и магнитудные интервалы шириной 0,5. В случаях, когда были определены только  $M_{PV}$ , она переводилась в  $M_{LH}$  по формуле (3.1). Анализ этих таблиц показывает, что землетрясения с магнитудами 2,5 и 4 непредставительны, для магнитуд 4,5; 5 и 5,5 срок предельности - 12 лет, для магнитуд 6-48 лет, 6,5 - 60 лет, 7 - 66 лет, более 7 - 72 года. На основе данных можно построить график повторяемости для всего региона (рис. 3.1). Параметры графиков, полученные по методу наименьших квадратов, следующие:  $\tau = 0$ - $70$  км -  $b = 0,70$ ,  $\tau = 70$ - $150$  км -  $b = 0,77$ .

Следует отметить, что эта картина может изменяться в районах, начиная с 1950г проходились специальные переопределения координат и магнитуд землетрясений /115, 141/. Для региональных исследований придется просмотреть данные каталога EDF. С одной стороны, существует много землетрясений с магнитудой 5,6, которые соответствуют классу  $d$  ( $5,3 \leq M \leq 5,9$ ) в каталоге Гутенберга -

Таблица 3.3

распределение землетрясений по магнитудно-временным интервалам  
 $h < 70$  км. Сплошные линии отделяют представительные данные  
 непредставительных

Период	$M_S$									
	3,5	4	4,5	5	5,5	6	6,5	7	7,5	8
1904-1909	0	0	0	0	0	0	0	0	0	0
1910-1915	0	0	0	0	0	0	1	3	0	0
1916-1921	0	0	0	0	0	4	6	3	5	0
1922-1927	0	0	0	0	3	2	6	9	0	0
1928-1933	0	0	0	0	21	12	12	5	3	2
1934-1939	0	0	0	0	17	10	10	5	4	0
1940-1945	0	0	0	0	21	10	11	10	1	1
1946-1951	0	9	10	2	2	13	13	6	3	2
1952-1957	5	31	16	19	23	28	30	16	2	1
1958-1963	52	49	30	34	17	14	18	13	0	1
1964-1969	410	136	201	108	46	17	5	7	1	0
1970-1975	179	364	297	138	50	16	11	0	3	0



3.1. Графики повторяемости землетрясения для региона  $0^{\circ}-30^{\circ}$  с.ш. и  $50^{\circ}-100^{\circ}$  з.д. (а) -  $h = 0-70$  км, (б) -  $h = 70-150$  км.

Более за 1904-1963гг /89/. Существует также необходимость изучения афтершоков и других связанных событий. Кроме того, огромные размеры региона, по которому проводен анализ представительный, позволяют получать только средние характеристики, и возможные региональные изменения остаются скрытыми.

Карта эпицентров сильных землетрясений. Для региона  $4^{\circ}$ - $45^{\circ}$  в.д.,  $56^{\circ}$ - $94^{\circ}$  з.д. построена карта эпицентров сильных землетрясений ( $M_{LH} \geq 6$ ). В случаях, когда была определена только  $m_{PV}$ , ее перевелись в  $M_{LH}$  по (3.1). На карте (рис. 3.2) два интервала глубин ( $0 \leq h \leq 70$  км,  $h > 70$  км) показаны различными знаками. Магнитуды разделены на пять интервалов, различающихся размерами ящиков.

### 3.3. Механизм очагов землетрясений Карибской дуги

Механизмы очагов землетрясений Карибской дуги были изучены многими авторами /56, 57, 58, 74, 84, 85, 99, 101, 103, 105, 108, 110, 113, 114, 119, 121, 131, 139, 140, 142, 150/. Некоторые предстаивают результаты в тормажих подальных плоскостях, другие - в первых главных осей скатия (Р) и растяжения (Т). В некоторых работах даются все эти параметры, и, кроме того, в последнее время появлялись работы в которых выражаются решения механизма очагов при так называемую потацию Цай-Аки /147/. Эти работы посвящены прояснению механизма очагов либо отдельных землетрясений, либо групп. В настоящей работе было проведено определение механизма очагов нескольких землетрясений Карибской дуги с помощью программы SOURCE из библиотеки программ ИФЗ АН СССР, составленной методике, изложенной в работах /9, 19/.

Определение механизмов очагов по программе SOURCE. Програм-

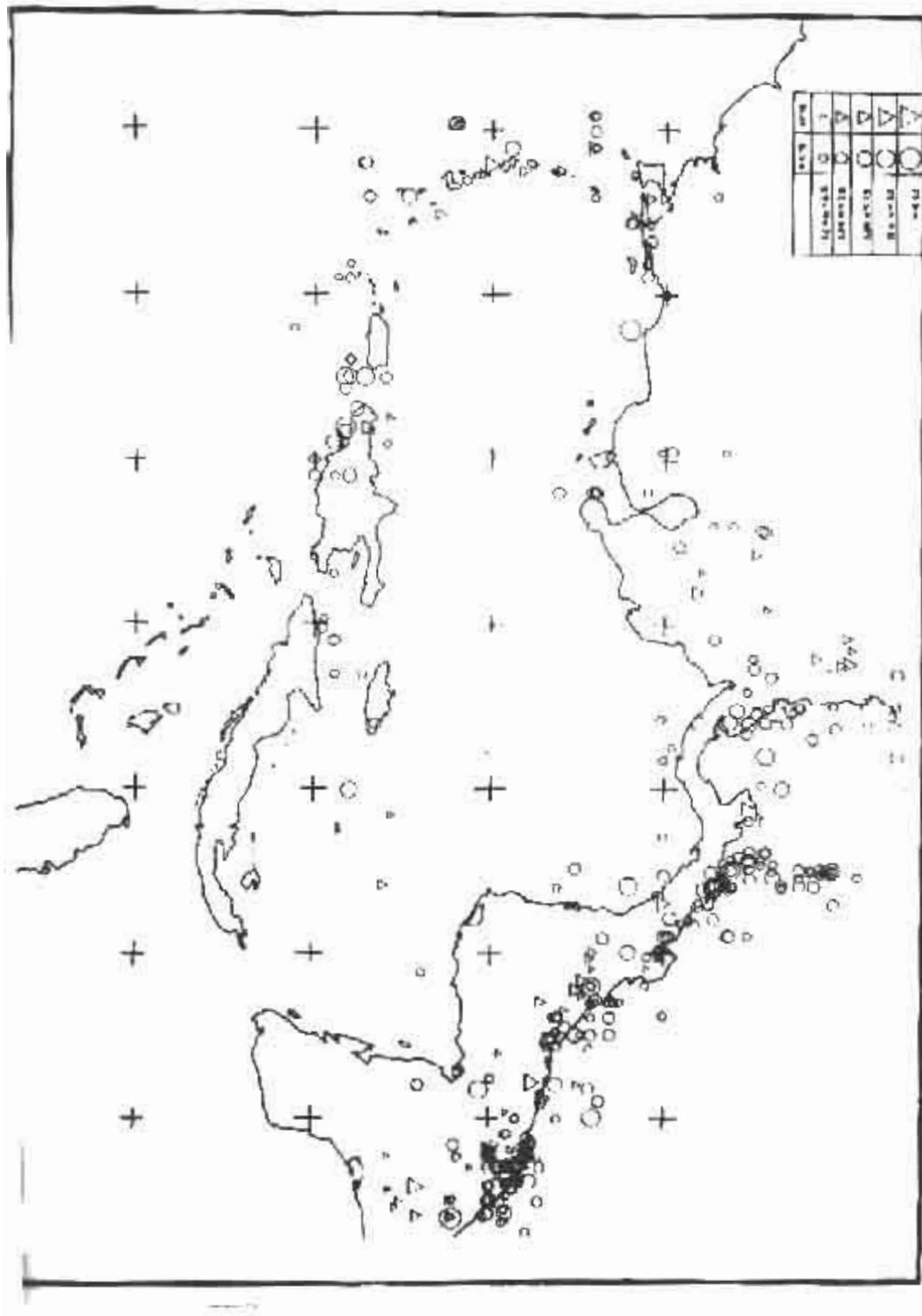


Рис. 3.2. Карта эпицентров землетрясений с  $M \geq 6$  в регионе  $4^{\circ}$ - $25^{\circ}$  с.ш.,  $56^{\circ}$ - $94^{\circ}$  в.д.  
с 1904 по 1980 гг.

рима SOURCE позволяет при вводе данных о земле и типах первого поступления Р-РКР волн и его четкости получить наиболее предположительное решение механизма и, кроме того, область, в которой находится решение с 85%-ной достоверностью. С помощью этой программы были исследованы 47 землетрясений Карибской дуги. Исходными данными явились знания и четкость первого поступления волн, взятых из бюллетеней ISC /96/, и промежуточные отдаления на гравиметрических станциях Кубы и Никарагуа. Учитывая ввиду, что в большинстве не всегда встречаются верные отдаления землетрясений первого поступления волн Р-РКР, каждый механизм был сформирован первый раз, учитывая все данные ( $iP, P, eP$ ), и второй раз, учитывая только данные об отдалениях типа  $iP$ . В таких случаях, когда результаты обоих сформирований значительно отличались друг от друга, было решено не пользоваться ими. Таким образом, из 47 предположенных случаев было исключено 10. В Гриловании 12 данных параметров землетрясений и полученные механизмы 27 землетрясений в проекции на южную полусфера. Критерии качества основанны на согласии между общими определенными (все данные и только  $iP$ ) и разными областями 85%-ной достоверности:

- A - хорошее согласие, маленькие области,
- B - хорошее согласие, большие области,
- $B^+$  - не очень хорошее согласие, маленькие области,
- $B^*$  - хорошее согласие, средние области,
- C - не очень хорошее согласие, большие области.

Составление различных, полученных различными авторами. При со-  
ставлении склонированных решений о механизме очагов в Кариб-  
ской дуге явило, что для многих землетрясений есть только одно  
правдоподобное механизма очага, а для других - более одного. В таких  
случаях, как правило, решения, полученные различными авторами, отли-  
чаются друг от друга. Иногда эти различия незначительны, но в

в которых случаи решения совсем противоречивы. Это значит, что при использовании существующих данных о механизмах очагов Карибской дуги нужно быть очень осторожным. Для региона, окруженного восточной Кубой, имеется от разделения механизм для 5 землетрясений в трех группах 156, 113, 114, 130, 150/. Для землетрясения 19 февраля 1976г не удалось определить механизм очага. За исключением этой группы, все землетрясения расположены вдоль границы между плитами Карибской и Северо-Американской. Их механизмами по-прежнему являются движение плит, описанной выше. Однако из-за чрезвычайно сложного разделения механизмов нельзя использовать для выделения зон ГОЗ в этом регионе.

### 3.4. Выделение зон ГОЗ в регионе $16^{\circ}-4^{\circ}$ с.ш. и $71^{\circ}-51^{\circ}$ в.д.

Для оценки сейсмической опасности района необходимо оценивать не всех землетрясений из разных зон ГОЗ, окружавших район и находящихся внутри района, низменных сотрясения с  $I \geq 6 / 32$ , %. Любая территория, окружающая район, должна гарантировать, что при расчетах не будет существенных прорывов наладов в сотрясении от любых зон ГОЗ. Этот вопрос тесно связан с затуханием интенсивности I в урвешении микросейсмического поля.

Восточная часть Кубы (бывшая провинция Ориенте) ограничена широтами  $19,8^{\circ}-17,1^{\circ}$  с.ш. и  $74,1^{\circ}-77^{\circ}$  в.д. Поэтому в качестве широкой территории был выбран большой район –  $16^{\circ}-4^{\circ}$  с.ш. и  $71^{\circ}-51^{\circ}$  в.д. Этот район включает часть границы между тектоническими плитами Карибской и Северо-Американской (рис. З.). Здесь находится большинство зарегистрированных землетрясений. В пределах этого района входит территория Кубы, для которой существуют данные о слабых и сильных землетрясениях.

Здесь затухание микросейсмической интенсивности, справедли-

для этой территории, оговаривается формулой (1.1). Таким образом размеры окружавшей территории позволяют рассчитать все вышеприведенные величины для интенсивности  $I \geq 6$  в случае, когда землетрясения (1.1) ограничиваются тектонической зоной Альпийской. Когда же землетрясение ограничивается субдукционным разломом альпийской зоны, рассчитывается все виды этих параметров  $I \geq 7$  единиц.

Вопрос о расположении зон ГСЗ по четвертому критерию. Конечно же, рассматриваются только зоны ГСЗ, в изогамные к границе между Южной Карibской и Северо-Американской, или при их отсутствии большинство сейсмических данных, хотя несомненно, что и о зонах ГСЗ, выделенных другими авторами в Центральной Кубе /II/ или предполагаемых обстоятельствах разломах в регионе Кампугай-Свято-Доминго /IV/. Во-вторых, для выделения зон ГСЗ используются сейсмические данные, карты изостатических аномалий и изобат морского дна. Более детальное рассмотрение методов выделения зон ГСЗ требует специальных исследований, что выходит за рамки настоящего рецензии.

Карта землетрясений с 1901 по 1949 год, зарегистрированных мировой сейсмической сетью ГСЗ-ГИСГ, показана на рис. 3.3. На карте видно о юге, вдоль границы сон, где землетрясения достаточно многочисленны, распространенный разброс эпицентров также связан с наличием сейсмических разломов. Точность определения эпицентров зависит от двух факторов: количества зарегистрированных станций и точности определения момента поступления сейсмических волн, который зависит от глубины прошлого. Поэтому ошибки, как правило, больше в районах сейсмогенеза. Точность определения эпицентров для публикации улучшилась, начиная с 1930-х, что отражено в районах и Центральной /V/ и в некоторых международных агентствах /III/. Учитывая этот факт, построим две карты эпицентров за тот же период 1901-1949 год, которая включает более точные опре-

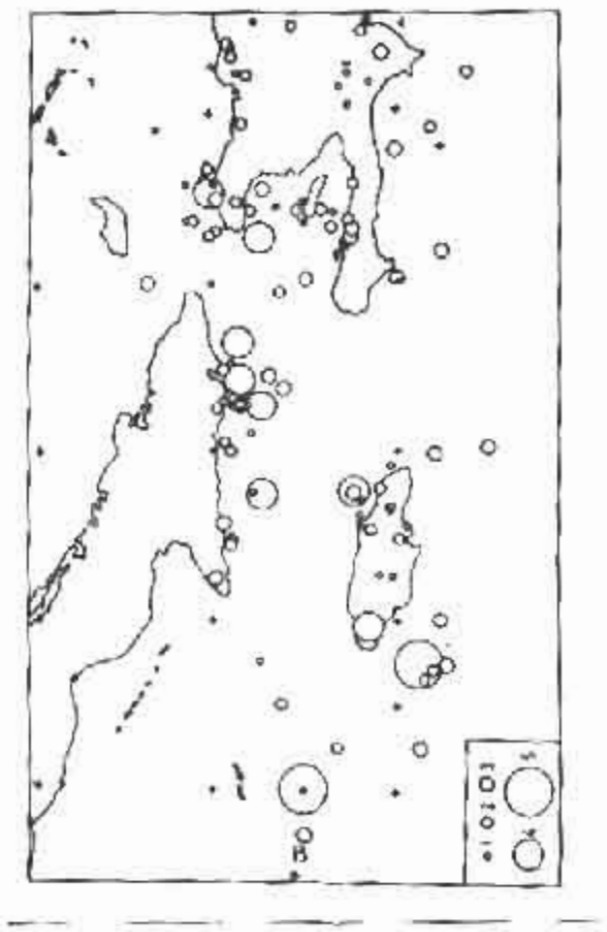


Рис. 3,3. Карта эпицентров землетрясений в регионе  $16^{\circ}$ - $28^{\circ}$  с.ш.,  $71^{\circ}$ - $81^{\circ}$  в.д. за 1901-1981 гг.  
I -  $M < 4$ , II-4  $\leq M < 5$ , III-5  $\leq M < 6$ , IV-6  $\leq M < 7$ , V-7  $\leq M < 8$ .

шими (рис. 3.4) и другая – для периода 1950–1981 гг. (рис. 3.5).

Дополнительные геосейсмологические материалы. В качестве дополнительного материала были использованы две карты:

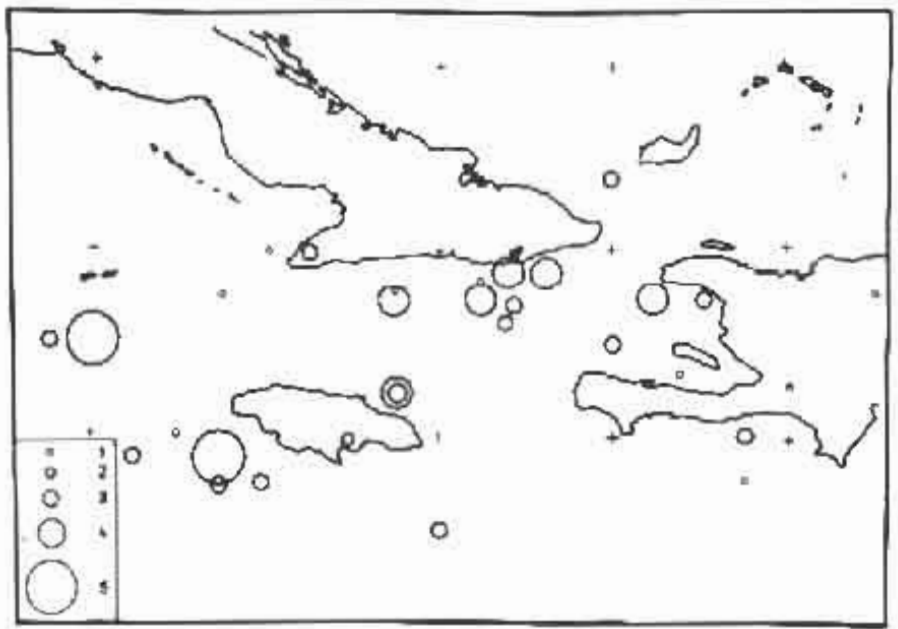
а) Карта изобет морского дна /10/, на которой в масштабе 1 : 750 000 проведены изобаты с сечением 1000 м, от 1000 до 7000 м и сечением 100 м для глубин менее 1000 м. На рис. 3.6 приведена упрощенная схема изобет с сечением 1000 м.

б) Карта остаточных тектонико-изостатических аномалий Карибского моря /1/. На этой карте в масштабе 1 : 4 000 000 проведены изобаты остаточных тектонико-изостатических аномалий с сечением 10 мГл, от -100 до +250 мГл. На рис. 3.7 дается упрощенная схема изостатических аномалий с сечением 100 мГл.

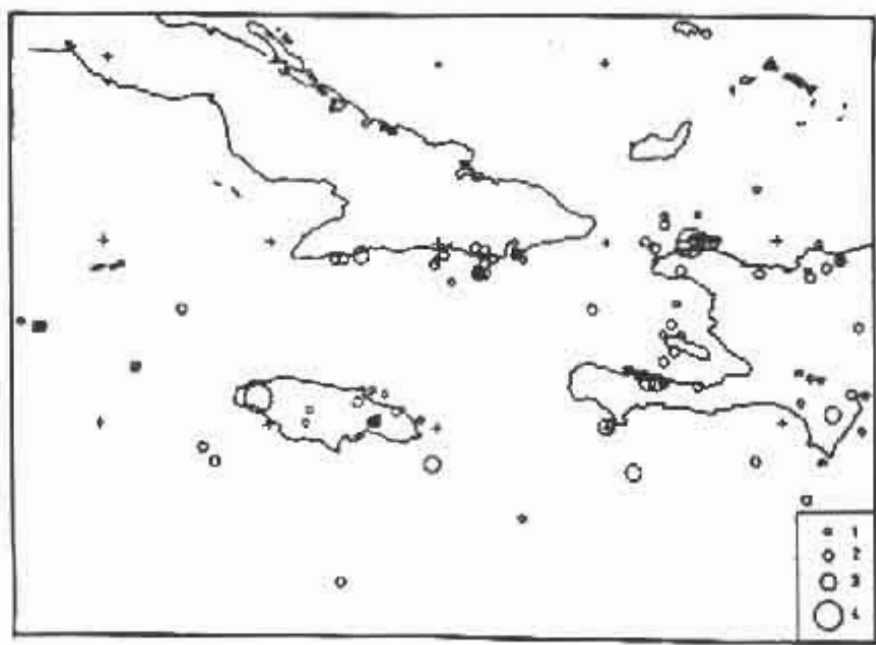
Выделение зон ВОЗ. Из выше приведенного материала видно, что вопрос о выделении зон ВОЗ не может быть решен однозначно. Во-первых, район не очень активен и из-за отсутствия стационарной сети сейсмических станций за период 1950–1981 гг. не получены данные по сложным землетрясениям. Можно применить разные критерии выделения зон, которые довольно субъективны.

Самым простым решением этого вопроса является выделение только двух зон ВОЗ (первый вариант). Одна зона соответствует северному берегу залива Кайман и его продолжению вдоль северного побережья острова Гаити. Другая зона расположена к югу от этого залива, она охватывает остров Ямайку и юго-западную часть острова Гаити (рис. 3.8). Внутрь этих зон попадают почти все эпицентры землетрясений за 1950–1981 гг. Однако отдаленные несильные землетрясения расположены за их пределами. Кроме того, эпицентры землетрясений за 1901–1950 гг. с небольшой трудностью можно приблизить к какой-либо из этих

Северная граница зоны I соответствует изобете 1000 м к югу



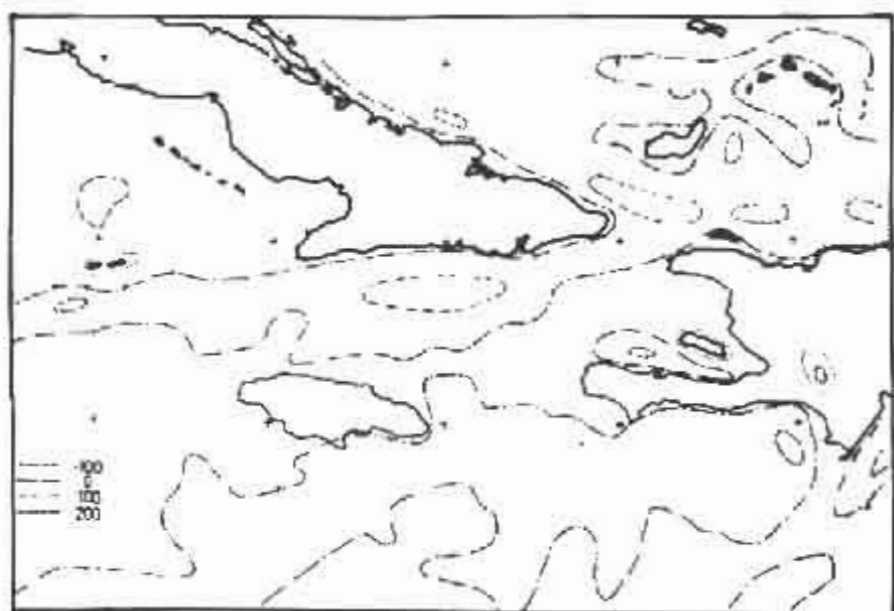
3.4. Карта эпицентров за 1901-1949 гг.



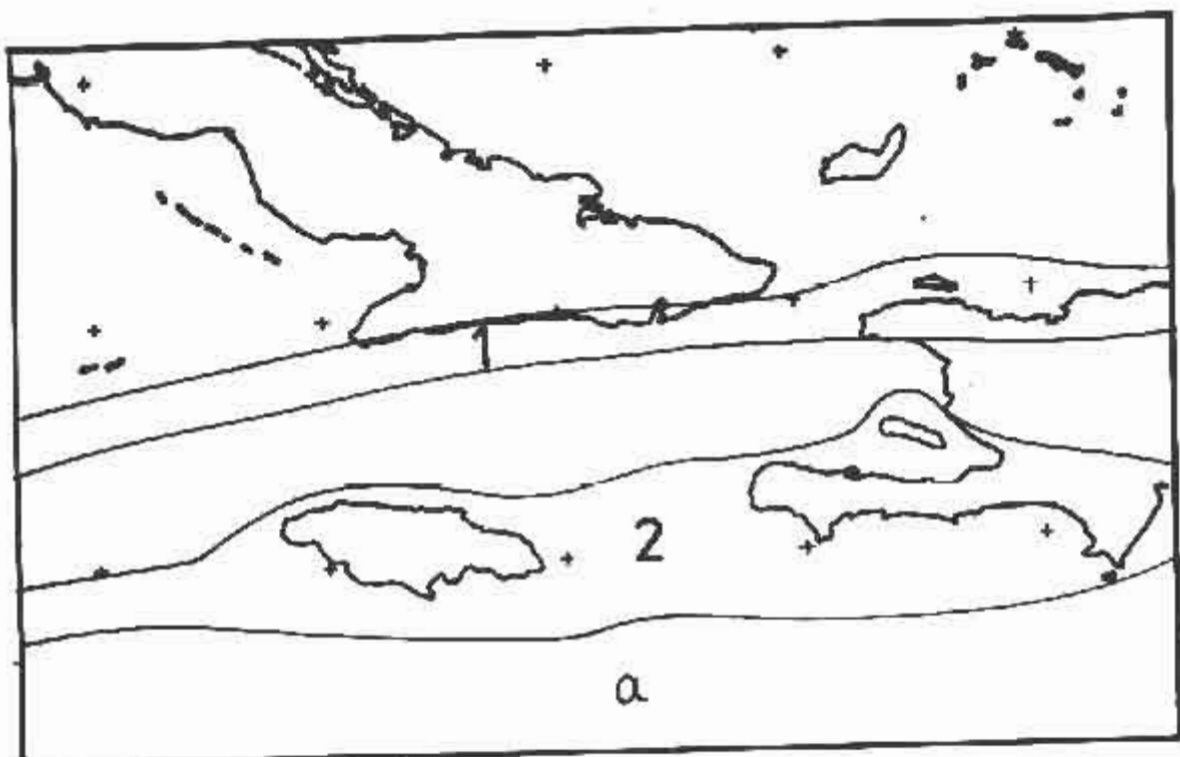
3.5. Карта эпицентров за 1950-1981 гг.



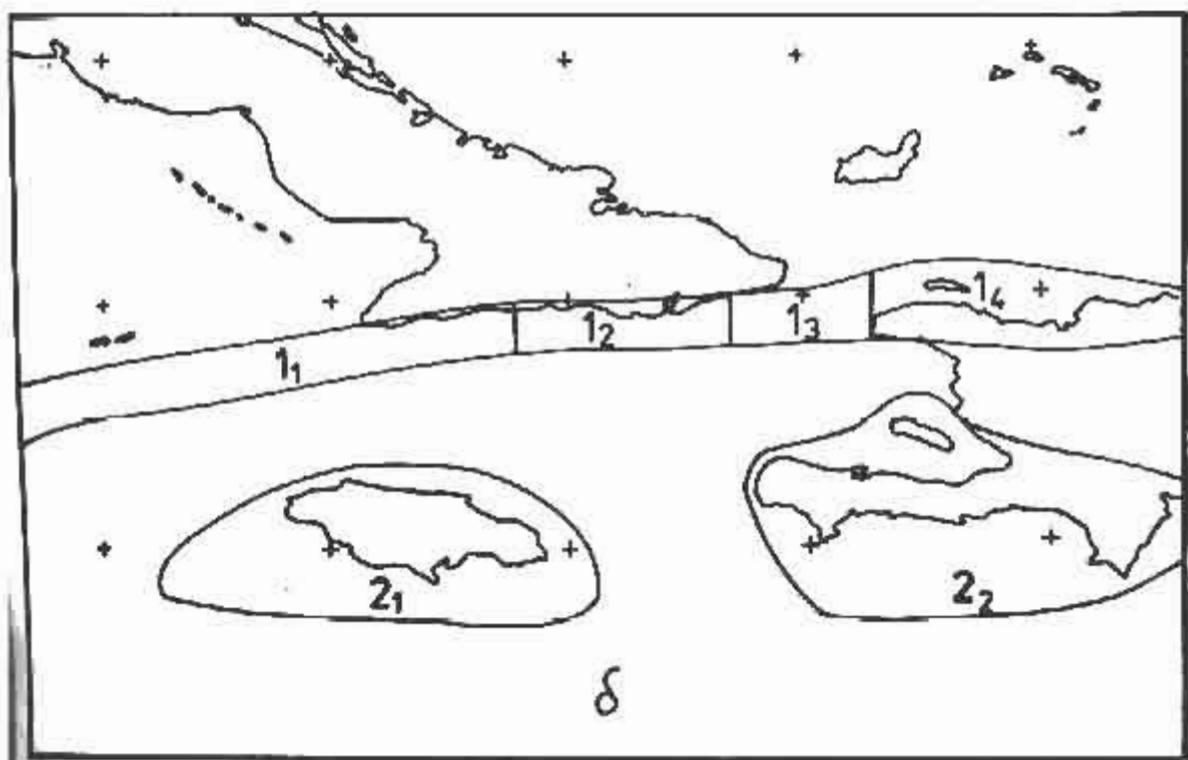
■ 3.6. Карта изобат, глубины указаны в метрах.



■ 3.7. Карта остаточных топографо-изостатических аномалий.  
Значения аномалий указаны в мГл.



a



δ

3.8. Зоны ВОЗ: а) первый вариант, б) второй вариант.

и острова Кубы и изолиния изостатической аномалии 0 мГл (к западу от острова Гаити) и -100 мГл (на севере острова). Южная граница проходит по участкам изобат 1000 м, 4000 м и 6000 м и изолинии изостатических аномалий 0 мГл и -100 мГл. Эта зона характеризуется наличием эпицентров вдоль почти всего ее протяжения.

Зона 2 выделена, исходя из предположения, что от мыса Кабан до юго-восточной части острова Гаити протягивается зона I03, менее широкая, чем первая, но непрерывная /143/. Здесь сейсмичность определяется по широкому полюсу. Северная граница зоны выделена нестично, следуя изобатам 1000 м и 4000 м до острова Гаити, где она изгибается, чтобы включить район маленького острова Гаити, где наблюдаются резкие градиенты изостатических аномалий. Ее южная граница выделена условно так, чтобы включить большинство зарегистрированных землетрясений.

В первом варианте предполагается, что обе зоны I03 в первом приближении однородны. Однако анализ имеющихся данных позволяет считать, что в действительности они неоднородны. О неоднородности второй зоны свидетельствуют концентрация эпицентров на маленьких участках (рис. 3.5-3.7).

Неоднородность второй зоны весьма высока. Существует две зоны: к югу от острова Ямайка и между островами Ямайка-Гаити. Можно сделать предположение о временном отсутствии эпицентров в ХХ веке, но можно предполагать, что зона I03 неоднородна и большинство сконцентрирована в двух ее сегментах.

Таким образом, приходим ко второму варианту выделения зон I03 (рис. 3.8б). В этом варианте зона I разделена на четыре сегмента ( $I_1, I_2, I_3, I_4$ ), а зона 2 заменена двумя зонами - 2<sub>1</sub> и 2<sub>2</sub>.

Следует отметить, что могут быть предложены другие варианты. Например, для зоны 2<sub>1</sub> авторы /137/ предполагают существование двух зон I03, одна - на севере острова Ямайка и другая - на юге.

но они не смогли собрать данных для оценки основных характеристик сейсмологического режима этих зон ВОЗ. В нашем случае выделение зон ВОЗ было произведено так, чтобы в каждой зоне было достаточно данных для расчета параметров сейсмического режима, на работе посвящена следующая глава.

## Глава 4. ПАРАМЕТРЫ СЕЙСМИЧЕСКОГО РЕЖИМА И ПРОГРАММА ДЛЯ РАСЧЕТА СЕЙСМИЧЕСКОЙ СОСТОЯНИЯ ЮСТИ

### 4.1. График повторяемости землетрясений. Оценка параметров сейсмического режима для разных зон ЯОС

Основные соотношения. Закон повторяемости землетрясений предложен Гутенбергом и Рихтером /89/ в виде:

$$\lg N = a + b (z - M) \quad (4.1)$$

$N$  – среднегодовая частота землетрясений данной амплитуды.

$M$  – магнитуда, заданная с шагом 0,1.

В настоящее время используется два вида графиков повторяемости землетрясений: распределенный, где  $N_i$  – число землетрясений в определенном интервале, и кумулятивный, где  $N_{\Sigma i}$  – суммарное число землетрясений, начиная от  $M_i$  до максимального значения,  $M_{max}$ . На рисунке 2 приведены оба вида графиков, как правило, строятся по числам, нормированным на пространству (обычно по глубине) и времени (обычно на 1 год).

Параметры сейсмического режима  $a$  и  $b$  обычно получаются аппроксимацией графиков прямыми линиями типа (4.1).

На разных представлениях закона повторяемости землетрясений, предложенных многими авторами, была выбрана следующая непрерывная аппроксимация:

$$\begin{cases} \lg n(M) = a - b(M - M_0) & M_{min} \leq M \leq M_{max} \\ n(M) = 0 & M > M_{max} \end{cases} \quad (4.2)$$

$n(M) dM$  – число землетрясений с магнитудами в интервале  $M$  и  $M + dM$ , нормированное по пространству и во времени;

$n(M)$  – плотность повторяемости землетрясений /148/.

Это математическое обобщение очень удобно для последующего

пучени повторяемости землетрясений. Следуя по сути, описанному [31, 32], можно найти число землетрясений в интервале магнитуд  $(M_1, M_2)$

$$N(M_1, M_2) = \int_{M_1}^{M_2} n(M) dM$$

Распределенный график повторяемости землетрясений  $N_i(M_i)$

принято по суммарному числу землетрясений внутри интервалов  $(M_i - \Delta M_i/2, M_i + \Delta M_i/2)$ .

$$N_i(M_i) = \int_{M_i - \Delta M_i/2}^{M_i + \Delta M_i/2} n(M) dM = 10^{\alpha - \beta(M_i - M_o)} F(\beta, \Delta M_i) \quad (4.3)$$

$$F(\beta, \Delta M_i) = \frac{1}{\beta \ln 10} \left[ 10^{\beta \Delta M_i/2} - 10^{-\beta \Delta M_i/2} \right] \quad (4.4)$$

$$\begin{cases} N_i(M_i)/F(\beta, \Delta M_i) = 10^{\alpha - \beta(M_i - M_o)} \\ \lg(N_i(M_i)/F(\beta, \Delta M_i)) = \alpha - \beta(M_i - M_o) \end{cases} \quad (4.5)$$

В расчете параметров  $\alpha$  и  $\beta$  необходимо знать заранее параметр  $\beta$ , который входит в  $F(\beta, \Delta M_i)$ . Однако функция  $F(\beta, \Delta M_i)$  может быть разложена в ряд Тейлора (при небольших величинах  $\Delta M_i$ ) вида

$$F(\beta, \Delta M_i) = \Delta M_i + \frac{1}{2} \left( \frac{\beta \Delta M_i}{2} \right)^2 \frac{(\ln 10)^2}{\beta} + \dots \approx \Delta M_i \quad (4.6)$$

$$\begin{cases} N_i(M_i)/\Delta M_i = 10^{\alpha - \beta(M_i - M_o)} \\ \lg(N_i(M_i)/\Delta M_i) = \alpha - \beta(M_i - M_o) \end{cases} \quad (4.7)$$

значит, что вероятны законы повторяемости землетрясений в виде (4.7) могут быть с хорошим приближением оценены через число землетрясений внутри магнитудных интервалов, нормированных к ширине этих интервалов.

Законы повторяемости землетрясений в виде (4.6) или (4.7) справедливы для интервала ( $M_{min} \leq M \leq M_{max}$ ). Поэтому вопрос

предел  $M_{min}$  и  $M_{max}$  является очень существенным.

Нижний предел  $M_{min}$  определяется уровнем представительной регистрации землетрясений, который зависит от многих факторов: количества сейсмических станций, их чувствительности, уровня микросейсм, частотного диапазона сейсмических приборов и т.д.

Верхний предел существования  $M_{max}$  объясняется физической возможностью преклонения и высвобождения бесконечной энергии. Значение определения  $M_{max}$  - одно из самых сложных в сейсмологии.

Приведут различные методы, использующие сейсмологические, геологические и гидрологические данные. Часто сейсмологические методы упоминаются /4, 65, 134/. Общее описание принципов методов комплексной оценки  $M_{max}$  по геологическим данным можно найти в книге Рейнера /6/. Эти методы, как правило, позволяют оценить  $M_{max}$  для отдельных сейсмогенных зон или элементарных квадратов определенных размеров, как это сделано, например, в работе /14/.

Кумулятивный график повторяемости землетрясений строится, начиная от  $M_i - \Delta M_i/2$  (первый интервал) до максимально возможной магнитуды:

$$N_{\Sigma_i}(M_i) = \sum_{j \geq i} N(M_j) = \sum_{j \geq i} \int_{M_j - \Delta M_j/2}^{M_j + \Delta M_j/2} n(M) dM \quad (4.8)$$

если интервалы не перекрываются и максимальная магнитуда выражается как  $M_{max} + \Delta M_{max}$ , формула (4.8) может быть заменена формулой:

$$N_{\Sigma_i}(M_i) = \int_{M_i - \Delta M_i/2}^{M_{max} + \Delta M_{max}} n(M) dM = 10^{\frac{a - b(M_i - M_0)}{b \Delta M_i/2}} \cdot \frac{10}{b \ln 10} \left[ 1 \cdot 10^{-b(M_{max} - M_i + \Delta M_{max} + \Delta M_i/2)} \right] \quad (4.9)$$

$N_{\Sigma_i}(M_i)$  - число землетрясений внутри интервала  $(M_i - \Delta M_i/2, M_i + \Delta M_{max})$ .

При таком представлении графиков повторяемости (графики распределения и кумулятивный) получается существенная разница между ними.

Первый график может быть описан прямой линией, второй - нет. Возьмем логарифм выражения (4.9)

$$N_{\Sigma_i}(M_i) = a - \beta(M_i - M_0) + \lg \left( \frac{10^{-\beta(M_{max} - M_i + \Delta M_{max} + \Delta M_i/2)}}{B P_n 10} \right) \quad (4.10)$$

$M_{max} \gg M_i$  ( $M_{max} - M_i \approx 2-3$ ) левая часть графика может быть аппроксимирована прямой линией.

$$\lg N_{\Sigma_i}(M_i) = \alpha' - \beta(M_i - M_0)$$

$$\alpha' = a + \lg \left( \frac{10^{-\beta \Delta M_i/2}}{B P_n 10} \right)$$

Правой части график изгибается вниз по закону

$$\lg \left[ 1 - 10^{-\beta(M_{max} - M_i + \Delta M_{max} + \Delta M_i/2)} \right]$$

Математические модели повторяемости землетрясений в /13/, проведенные внутри мега- и гига- интервалов, в принципе приводят к исключенной повторяемости, совпадающей с расчетами, проведенными по (4.9).

Чтобы посмотреть, насколько этот способ расчета отличается от предложенного в /41/, в конечных результатах, можно рассчитать число землетрясений внутри интервала ( $M_i$ ,  $M_{max} + \Delta M_{max}$ )

$$N_{\Sigma_i}' = \int_{M_i}^{M_{max} + \Delta M_{max}} n(M) dM = 10^{\alpha' - \beta(M_{max} - M_i + \Delta M_{max})} \quad (4.11)$$

Ориентироование между  $N_{\Sigma_i}'(M_i)$  и  $N_{\Sigma_i}(M_i)$  следующее:

$$\frac{N_{\Sigma_i}'(M_i)}{N_{\Sigma_i}(M_i)} = \infty \frac{1 - 10^{-\beta(M_{max} + \Delta M_{max} - M_i)}}{1 - 10^{-\beta(M_{max} + \Delta M_{max} - M_i)}} \quad (4.12)$$

$$\infty = 10^{-\beta \Delta M/2}$$

Официальное значение  $\Delta M_i$  равно 0,5, и допустим, что  $\beta$  может колебаться от 0,5 до 1. Можно воспроизвести график зависимости

$\zeta_i(M_i)/N_{\Sigma_i}(M_i)$  от разницы  $(M_{\max} + \Delta M_{\max} - M_i)$  при разных значениях  $\alpha$ . Например:  $\beta = 0,5; 0,75; 1,0$ , тогда  $\alpha = 0,75; 0,65; 0,56$ .

Кривые зависимости (4.1.), как видно из рис. 4.1, отличаются крутизной (при  $M_i = M_{\max} + \Delta M_{\max}$ ). Отношение  $N_{\Sigma_i}^1/N_{\Sigma_i}$  мало увеличивается в интервале  $M_{\max} + \Delta M_{\max} - M_i$  от 0 до 1,5 и экспоненциально приближается к значению  $\infty$ , которое имеет чисто теоретический смысл. Следует, что оба способа расчета дают качественно разные оценки сейсмической опасности, и придется принять решение, какой из них будет использован.

Функцию распределения можно определить следующим образом:

$$F(M_{\Sigma_i} M) = \frac{\text{число землетрясений с } M \geq M}{\text{общее число землетрясений}} = \frac{\int_{M-\Delta M/2}^{M_{\max} + \Delta M_{\max}} n(M) dM}{\int_{M_{\min} - \Delta M_{\min}}^{M_{\max} + \Delta M_{\max}} n(M) dM}$$

Формула распределения будет:

$$F(M) = P(M \leq M) = 1 - P(M > M) = 1 - \frac{10^{-b(M-\Delta M/2)}}{10^{-b(M_{\min} - \Delta M_{\min})}} \cdot \frac{10^{-b(M_{\max} + \Delta M_{\max})}}{10^{-b(M_{\max} + \Delta M_{\max})}} \quad (4.13)$$

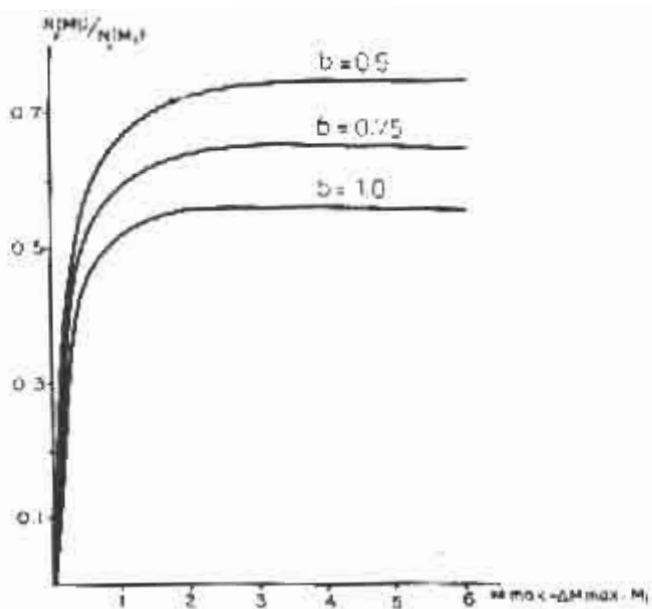
Формула плотности распределения будет:

$$\frac{dF(M)}{dM} = \frac{10^{-b\Delta M/2} \cdot b \ln 10}{10^{-b(M_{\min} - \Delta M_{\min})} - 10^{-b(M_{\max} + \Delta M_{\max})}} \cdot 10^{-bM} \quad (4.14)$$

Для оценки параметров сейсмического риска используется следующий подход:

- для каждой зоны ГСЗ оценивается значение  $M_{\max}$  по сопоставлению сейсмичности и тектоники;
- для каждой зоны ГСЗ строится график повторяемости по формуле (5).

Параметры  $\alpha$  и  $\beta$  определяются по методу наименьших квад-



4. I. Зависимость  $N_i^1(M_i)/N_{\Sigma}(M_i)$  от  $M_{max} + \Delta M_{max} - M_i$  для разных значений параметра  $b$ .

ном (МНК) и методу максимального правдоподобия (МП):

- по формуле (4.9) оценивается накопленная повторяемость землетрясений в обоих случаях.

Первая попытка определения параметров сейсмического режима по данной методике была сделана для юго-восточной части Кубы /55/. Для оценки параметры  $\alpha$  и  $\beta$  для зоны ВОЗ, расположенной непосредственно у южных берегов Гаванской Бухты между  $74^{\circ}$  з.д. и  $78^{\circ}$  з.д. Исходными материалами были международные сводки 1900–1980 гг. каталог станции RCC за 1968–1981 гг. для региона между  $75,2^{\circ}$  з.д. и  $76,2^{\circ}$  з.д. Параметр  $\beta$  равен 0,53. Это значение близко к полувшему в более ранней работе /3/ для региона северной части Карибского бассейна от  $72^{\circ}$  з.д. Для определения накопленной повторяемости в работе /55/ были использованы два возможных значения  $M_{\text{max}}$  ( $5 \pm 0,25$  и  $7,75 \pm 0,25$ ).

Для оценки параметров графика повторяемости была написана программа MAGFRE .

Описание программы MAGFRE. Программа MAGFRE позволяет оценить параметры  $\alpha$  и  $\beta$  графика повторяемости по методу наименьших квадратов (МНК) и максимального правдоподобия (МП), а также рассчитать соответствующие значения накопленной повторяемости.

Исходными данными являются:

- число землетрясений внутри магнитудных интервалов  $N_i$  ( $M_i$ ), шириной которых  $\Delta M_i$  и центральное их значение  $M_i$ ;
- период наблюдения представительных землетрясений  $T_i$  в магнитудном интервале;
- параметры для расчета накопленной повторяемости:  $M_{\text{max}}$ .

$$M_{\text{max}} = \Delta M + M_1;$$

$M_1$  – магнитуда, начиная с которой желательно получить значение накопленной повторяемости.

Общая схема работы программы следующая. Сначала рассчитывается логарифм  $\lg(N_i(M_i)/\Delta M_i)$  и накопленная повторяемость  $\sum_i N_i M_i$ . Метод наименьших квадратов оценивается первое приближение параметров  $a$  и  $b$  по формуле (4.7). Оценение  $b$ , полученного таким образом, используется для определения функции  $F(b, \Delta M_i)$ , которая рассчитывается параметры  $a$  и  $b$  формулы (4.5) по методу наименьших квадратов. Оценение  $b$ , полученное таким образом, используется как центральное приближение для оценки параметров  $a$  по методу максимального правдоподобия. Эти расчеты проводятся алгоритму, предложеному в работе /16/.

Теоретические частоты национальной повторяемости рассчитываются по формуле (4.9), используя обе оценки параметров  $a$  и  $b$ . В этом случае оцениваются стандартные отклонения наблюдаемой и количества повторяемости по отношению к теоретической.

Более того, имея в виду, что обычно кумулятивный график повторяемости аппроксимируется также прямой линией в виде

$$\lg N_{\Sigma_i}(M_i) = c - d(M_i - M_0) \quad (4.15)$$

$N_{\Sigma_i}(M_i)$  определяется формулой (5.8), программа рассчитывает  $c$  и  $d$  и стандартное отклонение наблюдаемой накопленной повторяемости по отношению к теоретической.

Представительности данных в каталоге сильных землетрясений  $16^{\circ} - 24^{\circ}$  с.ш. и  $71^{\circ} - 81^{\circ}$  з.д. Представительность данных в каталоге EDF для региона  $0^{\circ} - 30^{\circ}$  с.ш. и  $50^{\circ} - 100^{\circ}$  з.д. рассмотрена в З.1. Там были проанализированы данные об инструментально зарегистрированных землетрясениях. Для региона  $16^{\circ} - 24^{\circ}$  и  $71^{\circ} - 81^{\circ}$  з.д. был составлен каталог землетрясений за 430 (период I), более полный, чем каталог EDF. Каталог сильных землетрясений охватывает период 1551-1980гг.

излиза представительности он был разделен на две части: 1551-  
00 и 1901-1980 гг. Первая часть была разделена на интервалы по 50  
л., вторая часть - на интервалы по 10 лет. Число землетрясений от-  
носительно к магнитудным интервалам шириной  $\Delta M_{LH} = 0,5$ . Если была из-  
вестна магнитуда  $M_{PV}$ , она была пересчитана в  $M_{LH}$  по формуле  
(3.1). Следует отметить, что для нескольких землетрясений одновреме-  
но с определением  $M_{PV}$  получено очень низкое значение  $M_{LH}$ . В  
таких случаях было выбрано то значение магнитуды, которое получено  
по формуле (3.1).

В табл. 4.1 представлено распределение числа землетрясений по  
магнитудно-временным интервалам. В табл. указаны новые сроки пред-  
ставительности, полученные из анализа макросейсмических данных.  
Сроки представительности могут быть увеличены для некоторых зон,  
если полнота исторических макросейсмических данных не одинакова  
в разных частях района.

Определение максимальных магнитуд в разных зонах ДОЗ. Вопрос  
о максимальных магнитудах решен формально, исходя из расположения  
центров самых сильных землетрясений, произошедших в регионе. В  
табл. 4.1 указаны 9 землетрясений с магнитудами в интервалах 7,5  
и 8,0, восемь определены по макросейсмическим данным и только одно -  
по инструментальным данным. На карте зон ДОЗ (рис. 4.1) нанесены  
центры.

Для зон 2<sub>1</sub> и 2<sub>2</sub> по макросейсмическим данным имеются два  
землетрясения с магнитудой 7,5. Было принято решение, что макси-  
мально возможная магнитуда в этих зонах равна  $7,5 \pm 0,45$ .

Для северных зон ДОЗ к западу от района бухты Гуантанамо име-  
ются 3 центра землетрясений с магнитудами 7,3; 7,5 и 7,7, опре-  
деленные по макросейсмическим данным, и одно с магнитудой 7,4 - по  
инструментальным данным.

К востоку от этой бухты по макросейсмическим данным имеются

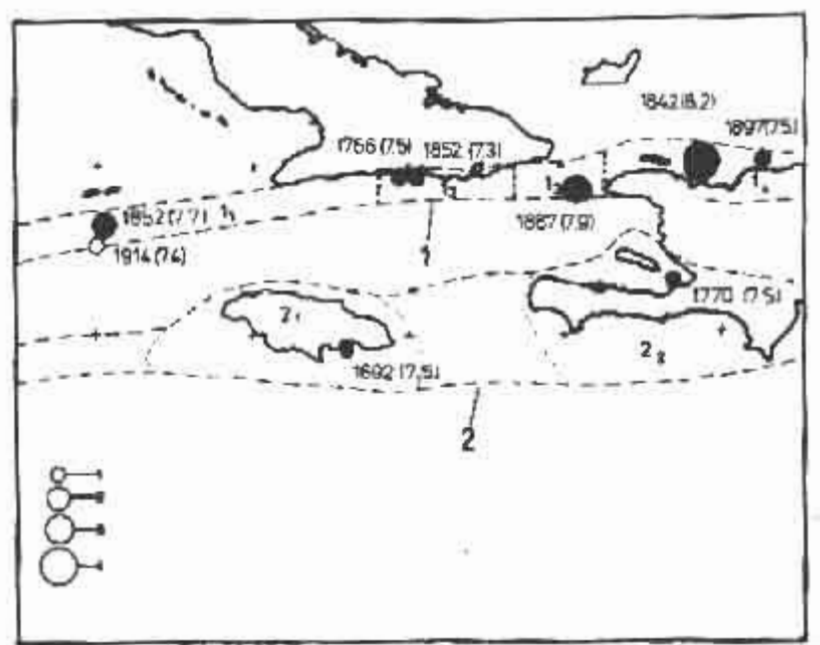
Таблица 4.1

Распределение числа землетрясений всего региона ( $16^{\circ}$  –  $24^{\circ}$  с.ш.,  
 $7^{\circ}$  –  $81^{\circ}$  в.д.) по магнитудно-временным интервалам

перод \ M	4,5	5	5,5	6	6,5	7	7,5	8
15-I600	-	-	-	(1)	-	(2)	-	-
16-I650	-	-	-	(1)	-	-	-	-
16,5-I700	-	(1)	(1)	(2)	-	(2)	(1)	-
17,0-I750	-	-	-	(1)	-	-	-	-
17,5-I800	(2)	(5)	(2)	(2)	(1)	(2)	(2)	-
18,0-I850	(2)	(1)	(1)	(4)	-	-	-	(1)
18,5-I900	-	-	-	-	-	-	-	-
	(3)	(8)	(2)	-	(3)	-	(3)	(1)
19,0-I910	(1)	(2)	(5)	-	(1)	-	-	-
19,5-I920	-	-	-	I	-	-	I	x)
	(2)	(2)	-	(1)	-	-	-	-
19,5-I930	-	-	I	I	-	-	-	-
	-	(4)	(1)	-	-	-	-	-
19,5-I940	-	-	5	2	-	I	-	-
	(1)	(4)	-	-	-	-	-	-
19,5-I950	-	I	2	I	I	I	-	-
	(2)	(1)	-	-	-	-	-	-
19,5-I960	I	2	I	I	2	-	-	-
19,5-I970	2	3	I	I	-	I	-	-
19,5-I980	II	5	I	-	-	I	-	-

Первая строка соответствует инструментальным определениям магнитуд, вторая – макросейсмическим.

Несколько линиями отделены представительные данные от непредставительных. Пунктиром разделяются представительные данные от непредставительных в каталоге EDF (см. З.4).



4. Карта зон ДОЗ наиболее сильных землетрясений. Чёрными кружками указаны землетрясения прошлых веков, пустым - землетрясение ХХ века. I -  $7.15 \leq M < 7.5$ ; I -  $7.5 \leq M \leq 7.75$ ; 3 -  $7.75 \leq M < 8$ ; 4 -  $M \geq 8$ .

центре землетрясений с магнитудами 7,5; 7,9 и 8,1. Было принято решение, что максимальные возможные магнитуды зон РОЗ на рис. 4.2  $I_2 = (7,5 \pm 0,25)$ ,  $I_1$ ,  $I_3 = (7,75 \pm 0,25)$ ,  $I_4 (8 \pm 0,25)$  зоны ВОЗ I первого вероятта  $M_{max} = 8 \pm 0,25$ .

Следует подчеркнуть, что результаты, полученные таким образом, являются приближенными и субъективными. Они отличаются от полученных в работе /II/. Более точное решение этой задачи выходит за рамки настоящей работы и требует специальных комплексных исследований.

Оценка параметров  $\alpha$  и  $\beta$  графиков повторяемости землетрясений для разных зон РОЗ. Графики накопленной повторяемости. Метод построения графиков повторяемости (распределенных и кумулятивных) таков:

- 1) Составляются табл. 4.1 чисел землетрясений по магнитудным интервалам шириной 0,5 и периодом в 50 лет с 1551-1900гг и в 10 1901-1910гг.
- 2) Как правило, длина магнитудных интервалов была одинакова 0,5. Однако при отсутствии данных или малого количества в одном из интервалов приходилось перераспределение землетрясений по интервалам большей длины, чтобы не было интервалов с числом землетрясений (менее трех).
- 3) Параметры графиков повторяемости и соответствующие значения статической и наблюдаемой накопленной повторяемости рассчитываются с помощью программы MAGFRE. Следует отметить, что для этих параметров по методу максимального правдоподобия не проводится перераспределение землетрясений по магнитудным интервалам.
- 4) Построение графиков распределенной по интервалам и накопленной повторяемости землетрясений.

Экспериментальными данными являются значения  $N_i(M_i) / \Delta M_i$  распределенной повторяемости и  $\sum N_i(M_i)$  для накопленной повторяемости.

По описанной методике удалось оценить параметры  $a$  и  $b$  графиков повторяемости землетрясений для региона в целом (при  $M_{max} = 7 \pm 0,15$ ) и для зон EOZ первого варианта зон I и I<sub>2</sub> в табл. 4.1). Но для зон EOZ второго варианта из-за отсутствия данных такая поддача (см. табл. 4.1) неприменима.

Оценка параметров  $a$  и  $b$  зон EOZ второго варианта проведена следующим образом:

- для зоны EOZ I<sub>1</sub> имеется достаточная статистика и для нее параметры оценены по МНК и МШ;
- для зон EOZ I<sub>1</sub> и I<sub>3</sub> имелось так мало данных, что их пришлось объединить;
- для зон EOZ I<sub>1</sub> – I<sub>3</sub>, I<sub>4</sub> были взяты значения параметров  $b$ , относящиеся к зоне I первого варианта, и проведен расчет параметра при фиксированном значении  $b$ ;
- для зон EOZ I<sub>1</sub> и I<sub>2</sub> аналогичным образом параметр  $b$  получили для всей зоны I.

Результаты расчетов представлены в табл. 4.3.

На рис. 4.3 представлены примеры полученных графиков распределенной (а) и накопленной (б) повторяемости землетрясений.

Значения параметров  $a$  и  $b$ , полученные по методикам МШ, очень близки для всех зон EOZ, за исключением зоны I<sub>2</sub>, для которой получены более низкие значения стандартных отклонений  $\sigma_{N_1}$  и  $\sigma_{b N_2}$  по МНК (табл. 4.3). Интересно отметить, что в случае для расчетов по МНК проведена перегруппировка землетрясений в магнитудных интервалах (интервалы длиной  $\Delta M = 0,5$ :  $M_{LH} = 5,5; 6; 6,5$  и 7 были объединены в два интервала длиной  $\Delta M = 1$  для  $M_{LH} = 5,75$  и 6,75). Исходя из этих данных для оценки сейсмичности решено использовать оценки  $a$  и  $b$  по МНК. Составление накопленной повторяемости в виде (4.9) с линейным законом. В табл. 4.4 представлены параметры  $c$  и  $d$ , найденные

Таблица 4.2

Исходные данные для построения графиков распределенной и накопленной повторяемости землетрясений

№ 03 рис. 4.2	Исходные данные	$M_L$							
		4,5	5	5,5	6	6,5	7	7,5	8
весь район	$N_L$	13	8	10	5	3	3	7	2
	$T_L$	20	20	50	60	70	80	380	380
I	$N_L$	7	5	6	3	2	2	5	2
	$T_L$	20	20	50	60	70	80	380	380
$I_1 + I_3^{(x)}$	$N_L$	2	2	4	2	-	I	2	I
	$T_L$	20	20	50	60	-	80	380	380
I	$N_L$	3	10	4	I	I	5	2	-
	$T_L$	20	30	80	80	80	430	430	-
I	$N_L$	2	I	I	-	I	-	I	I
	$T_L$	20	20	50	-	70	-	430	480
2	$N_L$	6	3	4	2	I	I	2	-
	$T_L$	20	20	50	60	70	80	380	-
2	$N_L$	3	9	2	2	2	2	I	-
	$T_L$	20	80	80	80	380	380	380	-
2	$N_L$	3	2	3	I	2	I	I	-
	$T_L$	20	20	50	60	380	380	430	-

В этой зоне  $M_{max} = 7,75 \pm 0,25$ , поэтому последний интервал соответствует магнитуде 7,875 и имеет ширину 0,25.

Таблица 4.3

Заданные габариты грузовиков под толщемости зониструментов для зон ЭОЗ на рис. 4.3

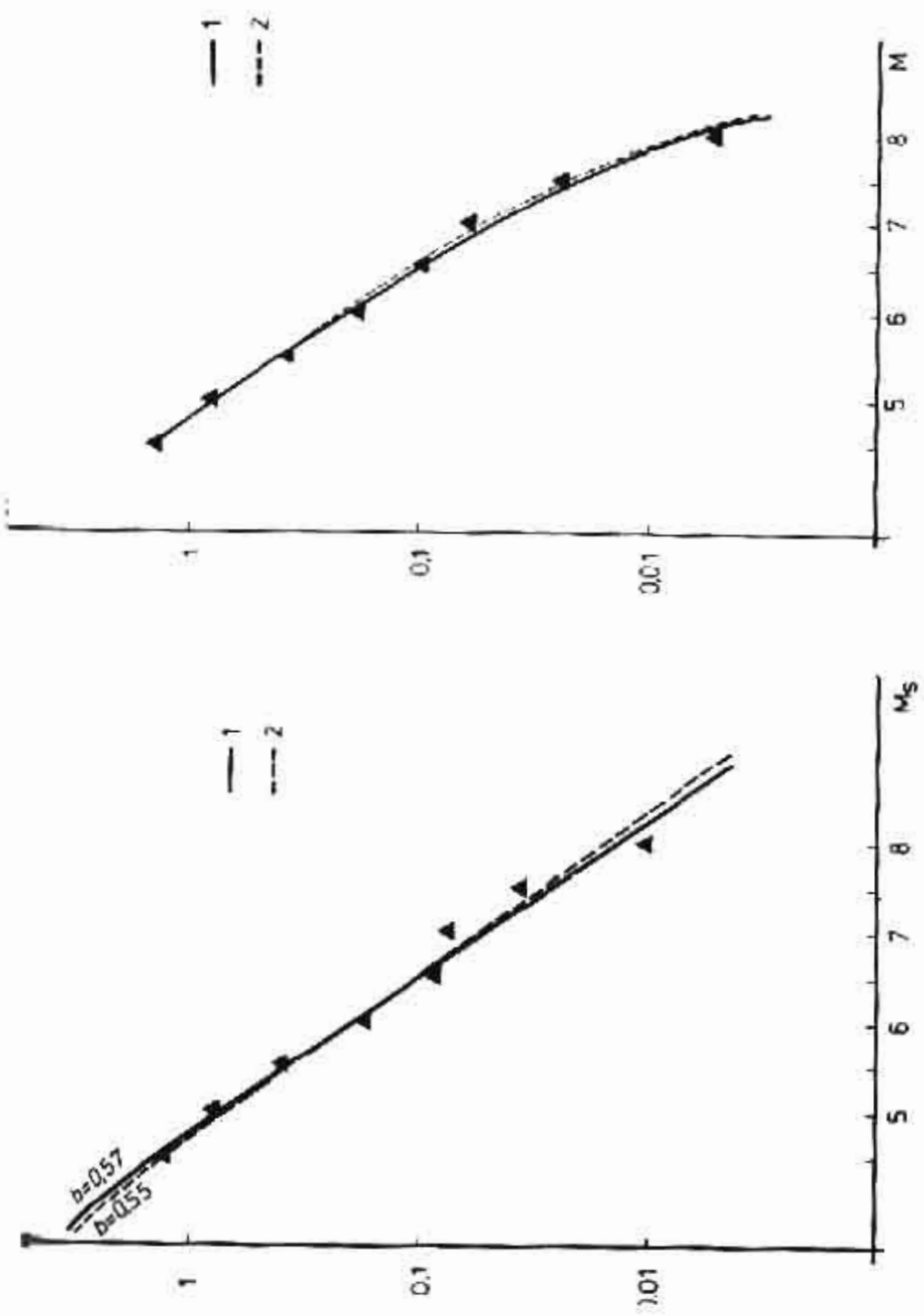
Номер ГЛЮБОДИ (Г.С.КР.КР.)	<u>ЗАЧЕМНАЯ ОГРАНИЧЕСТВОВАЯ</u> <u>ПО МАЛОМУ КОЛИЧЕСТВУ ПЛЕНОК (ММ)</u>	<u>ЗАЧЕМНАЯ ОГРАНИЧЕСТВО ПОВАРЯЩЕЙ СОСТОЯНИЯ (ММ)</u>									
		$A_5$	$\beta$	$\delta_{gN}$	$\delta_{N_1}$	$\delta_{gN_2}$	$A_6$	$\beta$	$\delta_{gN}$	$\delta_{N_1}$	$\delta_{gN_2}$
103 150,1	0,023 0,022	0,55 0,57	0,09 0,09	0,07 0,07	0,05 0,05	0,06 0,06	0,03 0,03	0,51 0,51	0,06 0,06	0,01 0,01	0,06 0,06
I I+3,7	57,5 0,015	0,51 0,51	0,08 0,07	0,02 0,01	0,05 0,04	0,05 0,05	0,03 0,03	0,51 0,51	0,06 0,06	0,01 0,01	0,06 0,06
I I+3 I+3	8,0 0,15	0,56 0,56	0,07 0,07	0,01 0,01	0,08 0,08	0,032 0,032	0,44 0,44	0,11 0,11	0,04 0,04	0,03 0,03	0,03 0,03
I I+3	33,4 0,029	0,52 0,52	— —	— —	— —	0,047 0,047	0,51 0,51	— —	— —	— —	— —
I I+3	16,5 0,018	0,51 0,51	— —	— —	— —	0,048 0,048	0,51 0,51	— —	— —	— —	— —
I I+3	35,7 0,018	0,56 0,56	— —	— —	— —	0,040 0,040	0,58 0,58	— —	— —	— —	— —
I I+3	51,9 0,013	0,56 0,56	— —	— —	— —	0,013 0,013	0,58 0,58	— —	— —	— —	— —

\*)  $A_5$  – ширина зониструментов с  $M = 5,0$  на ширине 10 000 мм в ГОСТ.

Таблица 4.4

Соотношения между коэффициентами земистости по геодезии с приближениями в виде (4.9) и (4.15). Данные по геодезии, имеющиеся в табл. 4.3, указаны в табл. 4.3, стандартные отклонения  $\bar{G}_{N_1}$ ,  $\bar{G}_{N_2}$ ,  $\bar{G}_{N_1} - \bar{G}_{N_2}$  соответствуют МНК.  $\bar{G}_{gN_1}$ ,  $\bar{G}_{gN_2}$  соответствуют МП

Зона	С	D	Линейно приближенная исходная погрешность в виде (4.15)		Разности между стандартами отклонений для некомплексной погрешности в виде (4.15) и (4.9)	
			$\bar{G}_{N_1}$	$\bar{G}_{gN_1}$	$\bar{G}_{N_1} - \bar{G}_{N_2}$	$\bar{G}_{gN_2} - \bar{G}_{gN_1}$
Весь район	3,17	0,65	0,12	0,13	0,10	0,05
I	1,67	0,60	0,05	0,10	0,04	0,05
II	1,78	0,66	0,02	0,06	0,01	0,02
III	1,30	0,60	0,05	0,09	0,04	0,01



Гис. 4.2. Графики распределений (а) и накопленных (б) повторяемости землетрясений для всего региона.

Параметры оценки по методу наименьших квадратов (1) и по методу максимального правдоподобия (2).

имеет в результате применения второй попытки груженов напоминающей линейки, где соответствующие оценки  $\bar{\sigma}_{N_2}$  и  $\bar{\sigma}_{\ell g N_2}$  и соответствующие соотношения выражены в виде подобной:

линейности и их производных, если линейки вида (4.9) с парой краями, полученных из этого же начального ряда ( $\bar{\sigma}_{\ell g N}^1 = \bar{\sigma}_{N_2}^1$  и  $\bar{\sigma}_{\ell g N_2}^1$ ) и последующего центрального (одного из трех) ( $\bar{\sigma}_{\ell g N}^2$ ,  $\bar{\sigma}_{N_2}^2$  и  $\bar{\sigma}_{\ell g N_2}^2$ ). Кроме того, имеется еще одна линейка:  $\bar{\sigma}_{N_2} = \bar{\sigma}_{N_2}^1 + \bar{\sigma}_{\ell g N_2} = \bar{\sigma}_{\ell g N_2}^1 + \bar{\sigma}_{N_2}^2 = \bar{\sigma}_{N_2}^2$  и  $\bar{\sigma}_1 = \bar{\sigma}_{\ell g N_2}^1$ .

Из этого ясно, что для каждого из трех типов линейки соответствующий выражение (4.9) является наилучшим для оценки.

#### 4.4. ОБРАТНОСТЬ ИЗМЕРЕНИЯ СРЕДНИХ ПОКАЗАТЕЛЕЙ ТЕХНИКИ САЛЫПРО-НЕ-УДА

Основные сущности. При оценках с помощью линейки производственных возможностей определенных землетрясений можно отметить ряд особенностей. Они свидетельствуют о том, что измерение показывает неизменную форму обстановки в зоне /1, 110/ или повторяемости сопоставимых в данной точке наименований землетрясений /1, 64/.

Когда в результате измерения получается линейность между техническими величинами землетрясений, получается результат, гордится возможностью предсказания этической характеристики событий (зональности). Красивой формой этого предсказания является выражение зависимостей между различными параметрами /85/. С другой стороны, имея зону /1, 110/ повторяемости землетрясений можно сказать, что процесс геомеханического землетрясения можно считать фундаментальным и сре. общими пока отрывистой зависимостью /5/. Данные геомеханические показатели событий могут быть как единичными, так и иметь другие значения. Такими единичными являются и зоны /11/ геомеханических землетрясений /85/. Интересно и другое /11/ объясняет это объясне-

■ процессе изучения землетрясений с  $M \geq 7,5$  в некоторых  
районах Тихоокеанского бассейна возникла проблема. Среди работ  
этого цикла можно упомянуть /30, 31/.

Изложенный в публикации /30/ вопрос о том, что же есть  
вопрос о расположении землетрясительной опасности различий  
■ в городе Сантьяго-де-Чили, для которого существует статистика оку-  
ных в 1906 году землетрясений.

Оценочная опасность города Сантьяго-де-Чили по микро-  
искусствам кимм. в работе /31/ было получено соотношение для  
■ опасности соприкосновенностью  $I$  за 100 лет ( $N_{100}$ )

$$I = 7.97 - 3.62 \lg N_{100} \quad (4.16)$$

$$\lg N_{100} = 2.64 - 0.331 I \quad (4.17)$$

■ при этом получены следующие для города  
Сантьяго-де-Чили значения  $N_{100}$ : и было получено соотношение

$$\lg N = (3.59 \pm 0.89) - (0.36 \pm 0.022) I \quad (4.18)$$

■  $N$  — общее число соприкосновений за 4,5 лет.

■ при  $I = 100$  градусов, получим:

$$\lg N_{100} = 2.96 - 0.36 I \quad (4.19)$$

■ Разница между соотношениями (4.17) и (4.19) объясняется тем, что  
при первом были введены ограничения по величине  $I$ , чтобы исключить  
■ опасности.

источниками данных о бортичности сотрясений в го. селе Сантъя-  
ро-Куба являются работы /7/, 76/ и неопубликованные данные, полу-  
ченные в лаборатории Г. Чуй из Института геодезии и астрономии  
Кубы.

В табл. 4.5б представлена таблица количества отысканных разных баллов интервалам 50 лет для горючего с 1961 по 1990гг и по интервалу 5 лет для горючего с 1961 по 1975гг, причем в таблицу были включены заслуживающие без учета погрешности изыскания событий. На синтезированном на основе данных об интенсивностях 7, 8 и 9 баллов, а также изысканий заслуживающих балльности 1-6 баллов, получается, что доля об интенсивности 5 и 6 баллов представлена, начиная с 1961г. Из критика были удалены все горючие и артгорючие, и были составлены другие таблицы с погрешными событиями (табл. 4.5б). Но этим данным получено противоречие

$$\lg N_{100} = (4.16 \pm 0.22) - (0.51 \pm 0.03) I \quad (4.10)$$

$$\lg N_{100}^{\tau} = (4.52 \pm 0.11) - (0.54 \pm 0.02) I \quad (4.1)$$

$\Sigma_{100}$  - количество соприкосновений с интенсивностью  $\geq I$  за 100 лет.

Как видно из таблицы, учет градостранительности линий позволяет уменьшить количество падения и соответственно свободного члена в (4.0) по сравнению с результатами (4.17) и (4.19). Полученные другими методами. Учет градостранительности и взаимодействие между событиями (аварии, землетрясения, рон) позволяют отметить, что формулы (4.0) и (4.1) точно описывают уравновешенную и суперлинейную динамику сопротивления.

Четыре из пяти изолированных интервалов между сосудами заложены в г. Сантьяго-де-Куба. Для широтностей  $I = 7, 8$  и  $9$  было изучено отечественное астрономическое зондирование между

Таблица 4.5

распределение числа сопрясений разных баллов по времени в городе Мельяго-де-Куба. а - без исключения землетрясений событий, б - после исключения землетрясений и афтершоков. Столбцом защищенной от передачи гипотезы

Период \ I	3	4	5	6	7	8	9
	1551-1600				1	1	-
1601-1650					-	-	-
1651-1700					1	1	-
1701-1750					-	-	-
1751-1800		I	5	I	1	1	1
1801-1850	1	8	3	-	3	-	-
1851-1900	9	51	3	5	1	-	I
1901-1950	81	69	6	11	6	1	-
1951-1975	114	49	15	4	-	-	-
1976-1980				I	-	-	-

Период \ I	5	6	7	8	9
	1551-1600		I	1	-
1601-1650			-	-	-
1651-1700			1	1	-
1701-1750			-	-	-
1751-1800	-	-	1	1	1
1801-1850	-	-	3	-	-
1851-1900	-	-	1	-	I
1901-1950	16	9	5	1	-
1951-1975	11	4	-	-	-
1976-1980	I	-	-	-	-

мойтиими. Г качество исходных использованы данные из табл. 4.6. Средние значения интервалов таковы:  $\bar{\Delta t}_{I \geq 7} = 10,45$ ,  $\bar{\Delta t}_{I \geq 8} = 70,0$  лет. С другой стороны, из формулы (4.1) можно получить следующие значения ( $T = 100 / N_{100}^{\Sigma}$ ):  $T_{I \geq 7} = 10,1$ ,  $T_{I \geq 8} = 63,1$ .

Для последующего анализа распределения данных изображены были кетрона гистограмма. Часто края были выбраны равными 10 годам. Гистограмма для эмпиресий с  $I \geq 7$  показана на рис. 4.4. Из-за малого числа эмпиресий с  $I \geq 8$  гистограмма не построена. Контрольные гистограммы на рис. 4.4 указывают на возможность представления распределения длительности интервалов по экспоненциальному закону, что соответствует гауссомному процессу. Сходя из гистограммы, может быть проведена проверка гипотезы об экспоненциальном законе распределения.

Для этого воспользуемся критерием Колмогорова - Смирнова /11/.

$$\eta_1 \leq \eta_2 \leq \dots \leq \eta_n$$

Функция распределения случайной величины, расположенной в порядке возрастания их значений.

Функция эмпирического распределения выражается через:

$$F_n(x/\eta_1, \dots, \eta_n) = \begin{cases} 0 & \text{--- } x \leq \eta_1 \\ m/n & \text{--- } \eta_m \leq x \leq \eta_{m+1}, 1 \leq m \leq n-1 \\ 1 & \text{--- } x > \eta_n \end{cases}$$

Функция теоретического распределения выражается через  $F(x)$ .

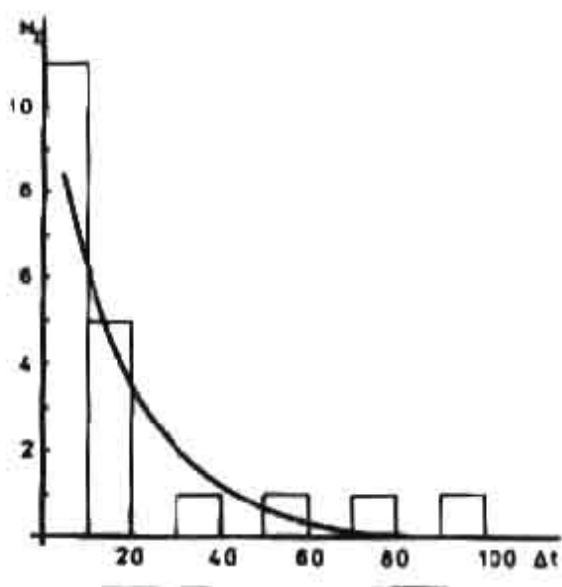
$$D_n = \sup_{|x| < \infty} |F_n(x) - F(x)|$$

$Q$  - заданный уровень значимости  $D_n(Q)$  задается таблицей,  $n$  - количество точек в выборке.

Таблица 4.6

Интервалы ( $\Delta t_{I \geq I_0}$ ) между последовательным землетрясением, произошедшими с интенсивностью  $I_0 \geq 7.0$  в городе Сантяго-де-Куба

Месяц	Число	Интенсивность в баллах	$\Delta t_I \geq 7$ (год)	$\Delta t_{I \geq 8}$ (год)
1978	VII	-	8	-
1980			7	-
1985	II	II	7	95
1988	II	II	8	3
1989			7	4
1990	VII	II	8	78
1992			7	-
1996	VI	II	9	4
1998	II	II	7	9
2006	IX	IS	7	51
2012	3	07	7	16
2014	VII	07	7	0 (1 месяц)
2015	VI	0	9	10
2016	I	0	7	6
2017	IX	3	7	35
2018	IX	7	7	16
2019	JI	7	7	3
2024	XII	4	7	8
2030	I	17	7	16
2037	II	03	8	-
2037	VII	06	7	15



- 4.4. Постройте из спределения (одинаковых интервалов между элементами) с  $I \geq 7$  и экспоненциального закона  
распределения при  $\lambda = 1/T$ ,  $T = 10,7$  лет.

если  $D_n \geq D_n(Q)$  — гипотеза о правдивости данной выборки лучше распределения  $F(x)$  с уровнем значимости должно быть отвергнута /1/.

Экспоненциальный закон распределения имеет вид

$$F(t) = 1 - e^{-\lambda t}, \quad (4.22).$$

тогда  $t[t] = I/\lambda$ .  $E$  — математическое ожидание.

Проверка гипотезы о правдивости выборки для  $I \geq 7$  экспоненциальному закону распределения с параметрами  $\lambda = I/T$  (параметр  $\lambda$  равен числу единиц времени  $\lambda = 1/\Delta t$ ) или применение критерия Колмогорова — Смирнова. Для членов  $D_n(Q)$  были взяты /1/ для соответствующего размера выборки.

Проверка гипотезы должна быть проведена для значений  $\lambda = I/\Delta t$  и  $\lambda = I/T$ , потому что первое значение не соответствует практическим условиям, а второе соответствует наибольшемой сопротивляемости в исследуемой точке. Однако из-за близости этих значений можно полагать только  $\lambda = I/T$ . Аксимальный разница  $D_n = (F_n(x) - F(x)) = 0,144$ . Она меньше, чем соответствующее значение  $D_n(Q)$  для  $Q = 10\%$ ,  $10\%$ ,  $5\%$ ,  $2\%$  и  $1\%$ , и почти в два раза для  $Q = .0\%$  ( $D_n(Q = .0\%) = 0,3156 /1/$ ).

Отсюда видно, что результаты наблюдений не противоречат гипотезе о правдивости данной выборки экспоненциальному распределению с параметром  $\lambda = I/T$ , даже на  $.0\%$ -ном уровне значимости. Это значит, что при оценке статистической достоверности можно считать процесс генерирования согласующихся с тремя критериями сдвигом с параметром  $\lambda = I/T$ .

На рис. 4.4 изображена кривая с интегральной соответствующей кривой достоверности распределения для  $\lambda = I/T$ .

Следует отметить, что критерии согласования и критерий проверки не объясняют всех избыточных явлений, возникновения зе-

Землетрясений в регионе Кго-Восточной Кубы. Например, в табл. 4.6 представлена землетрясения, произошедшие в XVI веке (1760-1766) с интервалами  $\sim 4$  года, которые были учтены как повторные при повторном анализе. Эти цепочки и группировка сильных землетрясений уже были отячены в работе /3/ при анализе пространственно-временных гравиметрий. С другой стороны, в работе /56/ анализируется возможная связь между землетрясениями 4 февраля 1976г в Гватемале и 19 декабря 1976г на Кго-Восточной Кубе. Однако статистический материал недостаточен для проверки более сложных закономерностей процесса возникновения землетрясений.

Пуассоновская модель одного явления сотрясений. В работе /41/ обсуждена пуассоновская модель: одно явление сотрясений как наиболее простая из гравиметрий.

Пуассоновский поток событий характеризуется тремя свойствами:

1) Стационарность – вероятность попадания на любой отрезок

всего времени того или иного числа событий зависит только от длины отрезка и не зависит от продолжительности наблюдений.

2) Независимость – для любых неперекрывающихся отрезков превышение числа событий на данном отрезке  $\tau$  не зависит от числа событий на других отрезках.

3) Ординарность – вероятность попадания на элементарный участок двух или более событий пренебрежимо мала по сравнению с вероятностью попадания только одного.

Вероятность того, что за время  $\tau$  произойдут  $m$  событий

$$P_m(\tau) = \frac{(\lambda\tau)^m}{m!} e^{-\lambda\tau} \quad (4.3)$$

Отсюда можно получить вероятность, что за время  $\tau$  не произошло ни одного события

$$P_0(\tau) = e^{-\lambda \tau} \quad (4.4)$$

Тогда вероятность того, что за время  $\tau$  произойдет хотя бы одно событие, равна:

$$P = 1 - e^{-\lambda \tau} \quad (4.5)$$

что и соответствует экспоненциальному закону распределения (формула (4.1)).

Глобность этого распределения дана:

$$f(t) = \frac{dF(t)}{dt} = \lambda e^{-\lambda t} \quad (4.6)$$

математическое ожидание

$$E[t] = 1/\lambda \quad (4.7)$$

дисперсия

$$D[t] = 1/\lambda^2 \quad (4.8)$$

Если сейсмические сотрясения составляют пуссоновский поток,  $\lambda = B_I$  — сейсмическая сотрясаемость,  $E[t] = 1/B_I = T_I$  — период сотрясаемости /41/.

Формула (4.4) приобретает вид

$$P_{\geq I}(t) = e^{-t/T_I} \quad (4.9)$$

значит, что вероятность того, что за время  $t$  произойдет первого события с интенсивностью  $\geq I$  равна  $e^{-t/T_I}$ . Л

ном случае это вероятность соответствует вероятности того, что в время  $t$  возникают только сотрясения интенсивностью  $< I$ .

#### 4.3. Программа для расчета сотрясаемости

Сотрясение. Под сотрясаемостью понимают среднюю частоту колебания, при которой характеристики колебаний грунта ( $\infty$ ) в данном пункте. Такой характеристикой могут быть: значение интенсивности землетрясения, амплитуды ускорений или скорости колебаний грунта, или величины их спектральных характеристик. В основе расчета сотрясаемости лежит формула Е.Е. Ризниченко [1, 33].

$$B_{\infty} = \iiint_v N_{\Sigma}(M_{\infty}) dx dy dz \quad (4.30)$$

$\infty$  — значение параметра в точке, для которой нужно рассчитать среднюю частоту колебания;  $N_{\Sigma}(M_{\infty})$  — наименовное число землетрясений в интервале ( $M_{\infty} - \Delta M_{\infty}/2, M_{\max} + \Delta M_{\max}$ ).  $N_{\Sigma}$  зависит от координат  $x, y, z$ .  $M_{\infty}$  — значение амплитуды, начиная с которого попадается значение параметра  $\infty$  в данном пункте.  $dx dy dz$  определяют пространство, где все означенны зоны 1-03, дающие данный пункт.

Период сотрясаемости  $T_{\infty}$  определяется по формуле:

$$T_{\infty} = 1/B_{\infty} \quad (4.31)$$

Для расчетов интегрирование эквивалентно суммированием

$$B_{\infty} = \sum_i \sum_j N_{\Sigma}(M_{\infty})_{ij} \Delta S_{ij} \quad (4.32)$$

Если считать сдвиги в данном пункте сопротивлений величиной, имеющей порядок  $\infty$ , случайнм событием, то период сотрясаемости  $T_{\text{с}}$  можно рассматривать как интегральное значение величины интервала между событиями /41/. На этом предположении основанные вероятностные расчеты в программе.

Схема из предложенного о том, что сейсмический режим состоян в каждой точке и должна определяться параметрами  $A_{M_0}$  (или  $A_{K_0}$ ),  $M_{\max}$  (или  $K_{\max}$ ) и  $\beta$  (или  $\delta$ ), последний оставлен для всего региона, формулы (4.30) и (4.31) заменяются формулами:

$$B_{\text{с}} = \frac{1}{10^{6\Delta M/2} - 10^{-6\Delta M/2}} \iint A_{M_0} (10^{-\beta(M_{\max}-M_0)} - 10^{-\beta(M_{\min}-M_0)}) ds \quad (4.33)$$

$$\frac{1}{10^{6\Delta M/2} - 10^{-6\Delta M/2}} \sum_i \sum_j A_{M_0} (10^{-\beta(M_{\max}-M_0)} - 10^{-\beta(M_{\min}-M_0)}) \Delta x_i \Delta y_i \quad (4.43)$$

Тогда при наличии карт  $A_{M_0}$  и  $M_{\max}$  (или  $A_{K_0}$  и  $K_{\max}$ ) можно рассчитать сотрясаемость любой точки. Но такой методике проведения расчеты сотрясаемости в СССР и других районах /41/. Можно рассчитывать сотрясаемость, исходя из формулы (4.30) или (4.31). Используя, что сейсмический режим описан не только в каждой зоне, но и внутри зоны с различительными большими размерами, для которой можно оценить зоны отры  $a$ ,  $b$  и  $M_{\max}$  /41., 43/. Для этого необходимо определить зоны I.O3 и оценить параметры  $a$ ,  $b$  и  $M_{\max}$  в каждой зоне.

Наш подход к расчету сотрясаемости исходит из самого оправдания этого параметра, т.е. из формулы (4.30), и характеризуется следующими особенностями: используется закон пропорциональности землетрясений, формулированный в разделе 4.1, формула (4.9); применяются эллиптические модели изосейст, описаные в разделе 4.2; выше данные предстают в виде зон I.O3, их параметров  $a$ ,  $b$ ,  $M_{\max}$  и модули изосейст для каждой зоны; вероятностные рас-

и сопротивимости учтут статистические модули периодов сопротивимости  $T_{\infty}$ , с разделением их оснований для каждого изображенного для него города или региона.

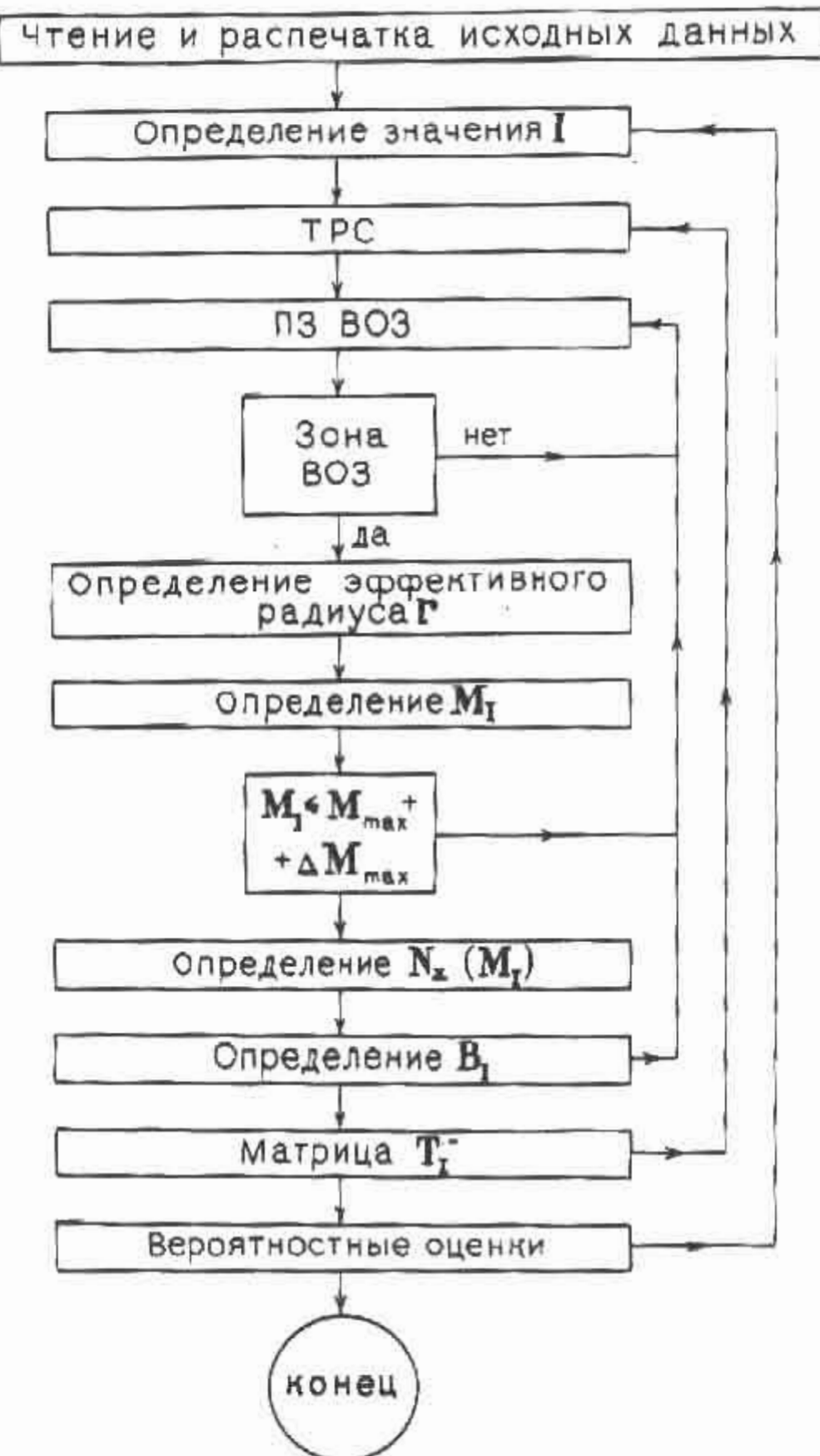
Такой подход имеет важность: получать карты периодов сопротивимости разных баллов, карту значимого параметра  $\alpha$  при заданном количестве вероятности его падения, периоды сопротивимости для отдельных городов (либо срочно, либо для заданного уровня вероятности).

**Программа SACUDIDA.** Основной подход к расчету сопротивимости был разработан в виде программы на языке ФОРTRAN. Программа занимает не более 100 К для ЭВМ серии ЕС-1040. Она состоит из центральной части и группы подпрограмм. На рис. 4.5 дана упрощенная блок-схема ее работы. Она составлена так, что определяется по формуле (4.31) и соответствующий  $T_{\infty}$  по формуле (4.31) для отдельных точек элементарных квадратов, по которым разделена зона, где оценивается сопротивимость.

Пространство  $V$  определяется как район, ограниченный по ширине и длине, в котором зоны 103 могут быть расположены на разных уровнях, но при условии, что любой точке зоны 103 соответствует не одно значение глубины. В данном варианте программы не рассматривается вопрос о возможном существовании под одной точкой различных зон 103. Кроме того, в ограничение не входит ограничение в вычислениях значений и граничных координат при этих значениях интервалам. Пункт 4 отсюда более описано в программе SACUDIDA (4.5).

a) **Подготовка исходных данных.** Исходные данные для оценки сопротивимости приводятся:

- границы района, для которого поделены зоны 103;
- границы района, для которого будет рассчитана сопротивимость



4.5. Блок-схема программы SACUDIDA . ТРС – точка для расчета сотрясаемости; ПЗ ВОЗ – поиск зон ВОЗ.

неприменимость;

- размеры элементарных квадратов, на которые будет разделяны зоны и их число;

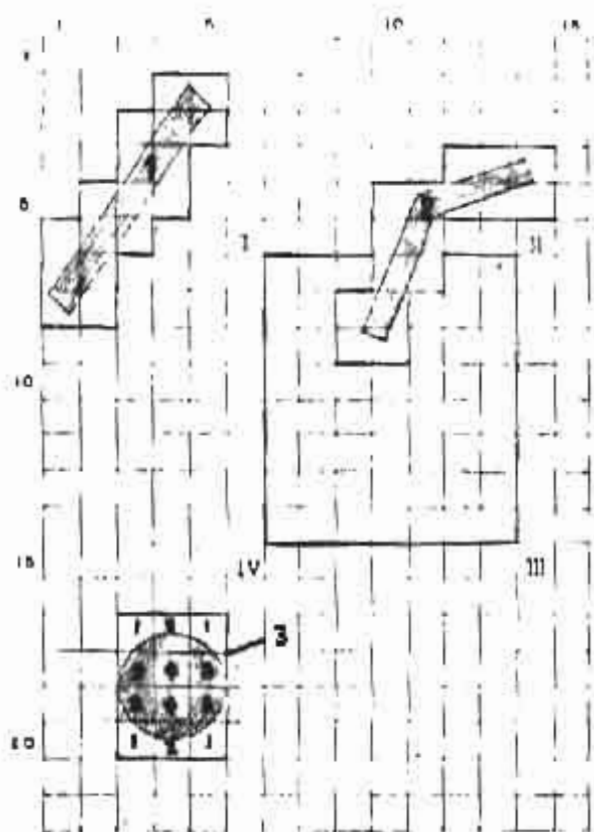
- зоны 103 и их характеристики (параметры  $a$ ,  $b$  и  $M_{max}$  граничного радиуса; отношение  $A/B$  модели изосейст, угол  $A_3$  между параллелем З-В и главной осью модели изосейст, например эллиптического радиуса; порог рулевого угла, различие частей зоны 103, приходящейся на элементарный квадрат;

- массив принадлежности квадрата к зоне 103 (массив PARA); значение нуля, если в квадрате нет зоны 103, либо единичный номер соответствующей зоны 103, если она есть;

- при вычислении  $\infty$ , для которого подсчитывается собственная присущность.

Подготовка исходных данных проводится следующим образом: (рис. 4.6). В качестве примера рассмотрены районы, для которых выделены зоны 103 (1., и 3 из рис. 4.6). Внутри района находится район Н-ЛУ, для которого учтены и отсыпаны собственные сопротивления. Район разделяется элементарными квадратами по широте и долготе. Учитывается, что для каждой зоны 103 о разделен параметры геометрические ( $a$ ,  $b$  и  $M_{max}$ ) и модели изосейст. Из рис. 4.6 видно, что зона 1 имеет излом и поэтому при расчетах она делится на две части; таким образом, меняется четко зона 103. Зоны 103 подразделяются эллиптическим порогом радиуса, для зоны 103 номер 3 лежат четыре интервала радиуса коррекции элементарных квадратов: 0; 0,5; 0,75; 1. При таком разбиении общее количество зон 103 -

Зоны должны быть в тектон. программа: многоугольными фигурами, видно на рис. 4.6. Структура тектон. программы зависит от размеров элементарных квадратов. Подразделение района на более мелкие элементарные квадраты уменьшает эти ошибки, но увеличивают время



4.6. Подготовка исходных данных для расчета сотрясаемости в районах I-II-III-IV. Чёрные фигуры - зоны B03. Полигонами, окружающие зоны, определяют площади, которые машина относит к зоне B03. Для зоны B03 номер 3 показана классификация элементарных квадратов по площади, которая приходится на зону B03.

иа расчета и необходимую машинную память.

б) Общее описание работы программы. При чтении исходных данных программа определяет:

- значения широты и долготы центров элементарных кадретов;
- максимальную дальность поиска зоны 103 как функцию от  $M_{max}$

$\propto_K$ ;

- значения параметра  $\propto_K$ , для которого будут проведены расчеты.

Расчеты сотрясаемости проводятся в следующем порядке:

Максимируется точка для расчета сотрясаемости (ТРС). Начинается поиск зоны 103 (ПЗ 103) до расстояния  $R_{max}$  ( $\propto_K \cdot M_{max} + \Delta M_{max}$ ). Если это расстояние выходит за пределы региона, для которого описаны зоны 103, в программе отмечается, что для этой ТРС получено приближенное значение.

Когда в процессе поиска (ПЗ 103) зона 103 найдена, определяется "эффективное" гипоцентрическое расстояние и о модели изосейстии модели соответствующего параметра  $\propto$ . Для этого используется три подпрограммы: ROTCOR, ELICAN и CORELI.

Если гипоцентрическое расстояние больше  $R_{max}$ , продолжается поиск ПЗ 103; в противном случае рассчитываются значения  $M_{\propto_K}$  по закону затухания  $\propto_K$  для эффективного гипоцентрического расстояния с помощью подпрограммы MAGNIT.

Если  $M_{\propto_K} > M_{max} + \Delta M_{max}$ , для данной зоны 103 продолжается поиск ПЗ 103; в противном случае рассчитывается значение  $N_1(M_{\propto_K})$  с помощью подпрограммы NUATER.

Сотрясаемость в каждой ТРС рассчитывается путем суммирования всех значений  $N_1(M_{\propto_K})$ , полученных в процессе ПЗ 103 и соответствующих расчетах.

Затем формируется массив  $T_1$  средних периодов сотрясаемости, который распечатывается в чистопечатном виде. С помощью подпрограм-

рмы ТРК массива  $T_1$  картируется четырьмя зонами, о разделении которых зон члены керногом сотрясаемости.

Вероятность срыва общей членки сотрясаемости рассчитывается, исходя из массивов  $T_1$ , полученных для разных значений параметра  $\alpha_k$  по гипотезе оценки возможной общей членки сотрясаемости и осуществляется в блоке подпрограммы **POIS**.

в) Описание подпрограмм. Главная программа определяет координаты ТРК для системы с центром в точке зоны 103, для которой дан расчетный градиент и сотрясаемость и их расположение осей, соответствующих географическим координатам. Подпрограмма **ROTCOR** преобразует эти координаты ( $x, y$ ) в новую систему с центром в точке зоны 103 и осью  $x'$ , параллельной полюсу простирания зоны 103 ( $x', y'$ ). Подпрограмма **ELICAN**, исходя из этих координат и относения полусосей  $A/B$ , определяет линию главной оси эллипса, проходящего через ТРК по формуле (4.8).

Подпрограмма **CORELI** рассчитывает значение  $\bar{\Delta}/A$  как функцию  $A/B$ . Она содержит значения  $\bar{\Delta}/A$  для дискретных значений  $A/B$  от 1,0 до 3,0 с шагом 0,1. Для промежуточных значений  $A/B$  программа определяет  $\bar{\Delta}/A$  линейной интерполяцией.

Подпрограмма для расчета  $M_{\alpha_k}$ . Реализован только случай  $\alpha = 1$ . Подпрограмма  $M_{\alpha_k}$  рассчитывается с помощью подпрограммы **MAGNIT**; это выполняется формулы (4.4) или (4.5).

Подпрограмма **NUATER** рассчитывает  $N_z (M_{\alpha_k})$  по формуле (4.6).

Подпрограмма **MAPA** создана для выделения гранического пространства массива  $T_1$  (средние периоды сотрясаемости). Она воспитывает элементы массива  $T_1$  и фиксирует им интервалы, лежащие в пределах зона и отвечает на новый массив  $T_1$  условными строками.

Подпрограмма **POIS** рассчитывает, исходя из массива  $T_1$ , вероятность непрорывности зон членки  $\alpha_k$  за разные виды разрывов

интервалы времени, используя экспоненциальный закон распределения периодов сотрясаемости (формула (4.9)), что соответствует гусевской модели возникновения сотрясений. При необходимости они могут быть заменены другой подпрограммой, отвечающей другому распределению.

г) Выход программы. На выходе программы получаются:

Распечатка исходных данных: граничи регионов для описания зон ЛОЗ и для расчета сотрясаемости; число интервалов, на которые разделен регион по широте и долготе; параметры разных зон ЛОЗ; характеристики параметров  $\alpha_k$  (значения  $\alpha_k$  и соответствующая ширина при  $M = 8$ ); массив описания зон ЛОЗ.

Средние периоды повторяемости. Для каждого значения параметра  $\alpha_k$  распечатываются переделы, внутри которых значение считается точным, таблица массива  $T_1$  средних периодов повторяемости, имея реквизит с указанием значений средних периодов повторяемости двумя символами (условные символы расчитываются в таблице и соответствуют периодам в 10, .0, 50, 100, .00, 500, 1000, .000, .0000 лет).

Городностные оценки сейсмической опасности. Для каждого значения  $\alpha_k$  делаются городностные оценки: после соответствующих таблиц и схем средних периодов сотрясаемости в виде таблицы. Табулируется вероятность по регионации значений  $\alpha_k$  для фиксированных периодов времени описания - 10, .0, 50, 100, 500, 1000, .000 лет.

Представление результатов. Результаты расчетов сотрясаемости предстают или в виде контурных карт, разделенных на элементарные квадраты, к центрам которых отнесены рассчитанные значения.

Из расчетов средних периодов сотрясаемости получаются:

карты интенсивностей или разных средних периодов сотрясаемо-

графики сведений о районах сейсмичности для отдельных точек (соответствующих городам).

На вероятностных расчетах сейсмичности получается:

для каждого значения параметра  $\alpha_k$  карты вероятности непрерывения этого значения за 10, 50, 100, 500, 1000 и 10 000 лет (периоды ожидания);

для любого из периодов ожидания карты значений параметра  $\alpha_k$ , на которой существует оределенная вероятность непрерывения;

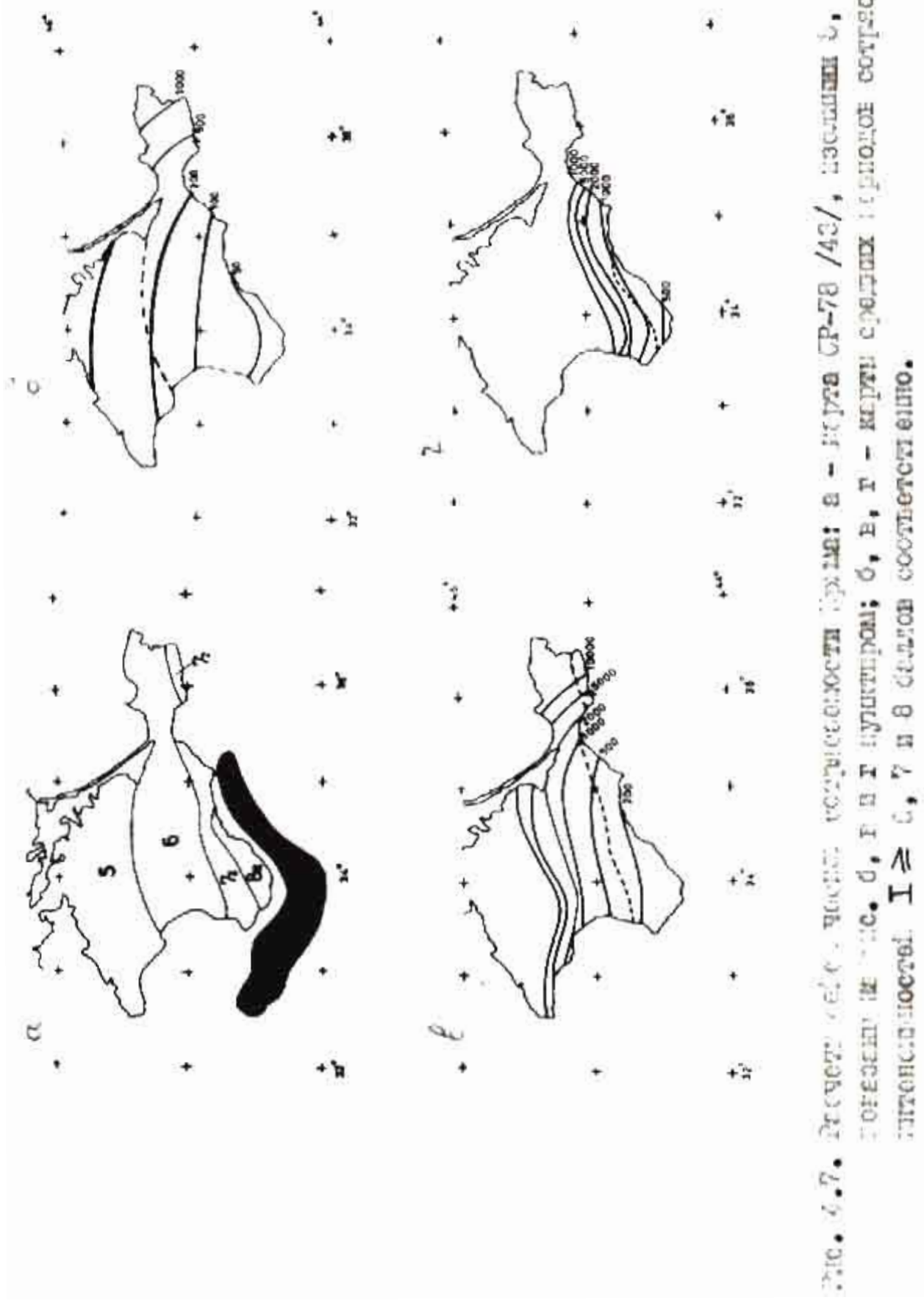
для любого значения вероятности непрерывности  $p$  початки карты о районах сейсмичных, в течение которых не могут быть превышено значение параметра  $\alpha_k$ ;

#### 4.4. Расчеты сейсмичности Крыма и Восточных Кавказ с помощью отладки программы

Для отладки составленной программы были проведены расчеты сейсмичности двух районов Советского Союза - Крыма и Восточных Кавказ.

Район Крыма. Подготовка исходных данных: район ограничен координатами  $41,89^{\circ}$ - $47,33^{\circ}$  с.ш. и  $30,66^{\circ}$ - $38,50^{\circ}$  в.д. (рис. 4.7а) разделен на квадраты ( $0,13^{\circ}$  по широте и  $0,107^{\circ}$  по долготе), общее количество квадратов  $40 \times 47 = 1880$ . Зона ГСЗ соответствует зоне 103 на карте сейсмического района основы СССР в масштабе 1: 500 000 с параметрами  $N_5 = 0,067$ ,  $b = 0,59$ ,  $M_{\max} = 7$ ,  $h = 15/43/$ . Сейсмическая сейсмичность рассчитывалась для района, ограниченного координатами  $43,38^{\circ}$ - $46,11^{\circ}$  по долготе и  $31,66^{\circ}$ - $33^{\circ}$  по широте, что включает гибь полуострова Крым.

Для круговой модели изосигнатов использован закон затухания в виде (4.5) с параметрами  $b = 1,5$ ,  $s = 5,5$  и  $c = 5,0/43/$ . Результаты расчетов показаны на рис. 4.7б, в, г в виде районов сейсмичности сейсмичности 6, 7 и 8 баллов.



лич. 4.7. Результаты изучения вибрационной способности края: а - форма СР-78 /43/, б - линии  $\zeta$ , г и д - гро-беллон  
формы: в - ис. д, г и т - кривые средней способности для  
вibrationей.  $I \geq 6$ ,  $\zeta$  и  $\theta$  даны в соответствии.

Сопоставим эти карты с картой сейсмического района окрестности СССР /43/. Район 6 баллов на карте сейсмического района окрестности СССР /43/ близок к зоне с периодом сотрясаемости  $T_6 \leq 100$  лет (рис. 4.7б). Район 7 баллов находится внутри зоны с периодом сотрясаемости  $T_7 \leq 500$  лет в Крыму и  $T_7 \leq 10\ 000$  лет на Керченском полуострове. Район 8 баллов на карте сейсмического района окрестности СССР /43/ близок к зоне с периодом сотрясаемости  $T_8 \leq 1000$  лет (рис. 4.7г).

Восточный регион Крыма характеризуется очень высокими значениями периодов повторения сейсмий, не совпадающими с картой сейсмического района окрестности.

Сопоставление этих карт с картами первых уровней сотрясаемости  $T_7$  и  $T_8$  для этого региона в /41/ показывает, что периоды повторения сейсмий на данных картах выше периодов  $T_7$  и  $T_8$  /41/. Для Восточного региона Крыма существует несогласие по значениям периодов повторения сейсмий и по форме изолиний.

Причинами перечисленных несогласий являются:

а) влияние на восточный Крым других зон РОЗ, не учтенных при их учетах.

б) Отличия в исходных данных, использованных для получения карт  $B_7$  и  $B_8$  в /41/ и использованных нами. На пример, значение максимальной магнитуды в /41/ в среднем равно 6 ( $K = 15$ ) с максимальным значением 6,7 ( $K = 16$ ), сконцентрированным в малом месте зоны РОЗ.

**Район восточных Карпат.** Сотрясаемость Карпатского района землетрясениями сейсмичностью района Транса в Гуанчжоу в основном с глубокослой зоной РОЗ, характеризуется микросейсмическим полем и не сильно вытянутых эллипсов. Поэтому для района Транса были выбраны на эллиптической модели изосейсты. Для получения моделей переработаны данные, представленные в работе Гану и Апоней

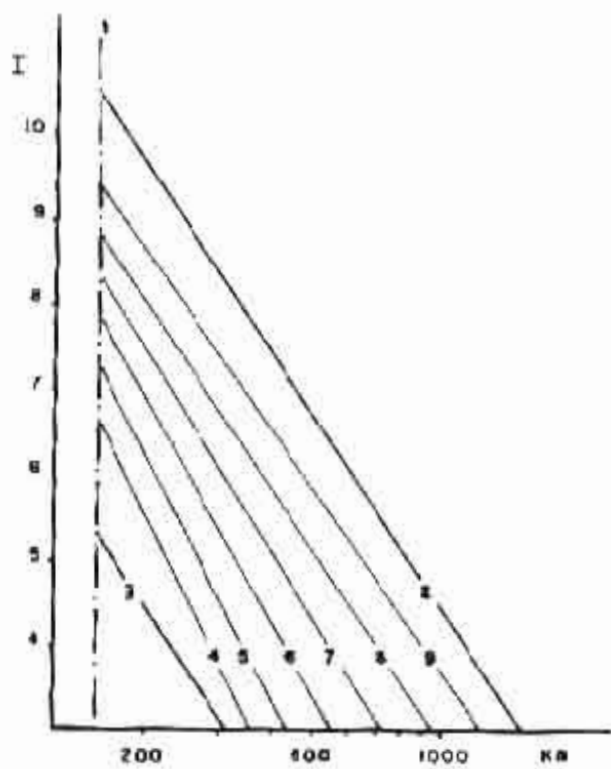
В/а. В этой работе делются оценки параметров  $A_1$  и  $B_1$  формулы (4.7) и отношения  $(A / B)_1$  для разных интенсивностей (4, 5, 6, 7 и 8). Для широты землетрясения от 5 до 7,5, используя параметры  $A_1$ ,  $B_1$  и  $(A / B)_1$ , были получены значения гиперболы полусоси  $A$  всех эллипсов и соответствуние значения  $r = \sqrt{A^2 + h^2}$  гипоцентрических расстояний (при  $h = 150$  км). Интенсивность  $I = f(M)$  представлена на рис. 4.8. Из рисунка видно, что затухание интенсивности вдоль гиперболы полусоси модели может быть аппроксимировано выражением (4.5). Практически эти же симметрии были приближенно оценены:  $b = 1,5$ ,  $s = 7,4$ ,  $C = 14,1$  и соответственно для широт землетрясений  $M = 4,5$  и  $M = 8$  на графике (рис. 4.8) показано, что приближенный закон затухания (4.5) может удовлетворительно согласовать с законами, полученным по линии /1.9/, особенно при больших магнитудах. Среднее значение  $(A / B)_1$  равно 1,9. Ось направлена на С-В с углом  $56^\circ$  по отношению к горизонтальной оси /41/.

#### Подготовка исходных данных:

Район ограничен координатами  $41,3^\circ\text{-}40,0^\circ$  с.ш. и  $11^\circ\text{-}30,3^\circ$  в.д. разделен на 51 квадрат с размером  $50 \times 50$  км $^2$ :

Зона I03 является глубоководная зона района Траяна с параметрами  $M_{\max} = 7,5$ ,  $b = 0,87$ ,  $N_0 = 0,8$ ,  $h = 150$  /43/. Она имеет 4 элементарных квадрата в центре карты.

Период повторяемости сейсмий 6, 7 и 8 баллов по зонам на рис. 4.9а, б, в. Приведено со составлением полученных карт периода времени интенсивностей 7 баллов с картой сейсмического зондирования СССР /43/. Рабочий 7 баллов из карты сейсмического зондирования СССР соответствует изолинии 7-ти летов повторяемости сейсмичности 6,00 лет в изображении большой полусоси модели зондирования. В изображении рабочих 7-ти летов повторяемости резко утолщаются. Таким результатом зондации для района 6 баллов.



Гр. 4.3. Зависимость интенсивности от расстояния от очага землетрясения при различных значениях магнитуды землетрясения в зависимости от его глубины.

1 – очаг сиюю эпицентра ( $r = h = 150$  км); 2, 3 – магнитуда  $M = 8$  (1),  $M = 7,5$  (2),  $M = 7,0$  (3) при  $b = 1,5$ ,  $s = 7,4$ ,  $c = 12,1$ ; 4 – магнитуда  $M = 6$  (4),  $M = 5,5$  (5),  $M = 5$  (6),  $M = 4,5$  (7),  $M = 4,0$  (8) и  $M = 3,5$  (9);  $r = \sqrt{A^2 + h^2}$  – гипотенуза ломаное расстояние.

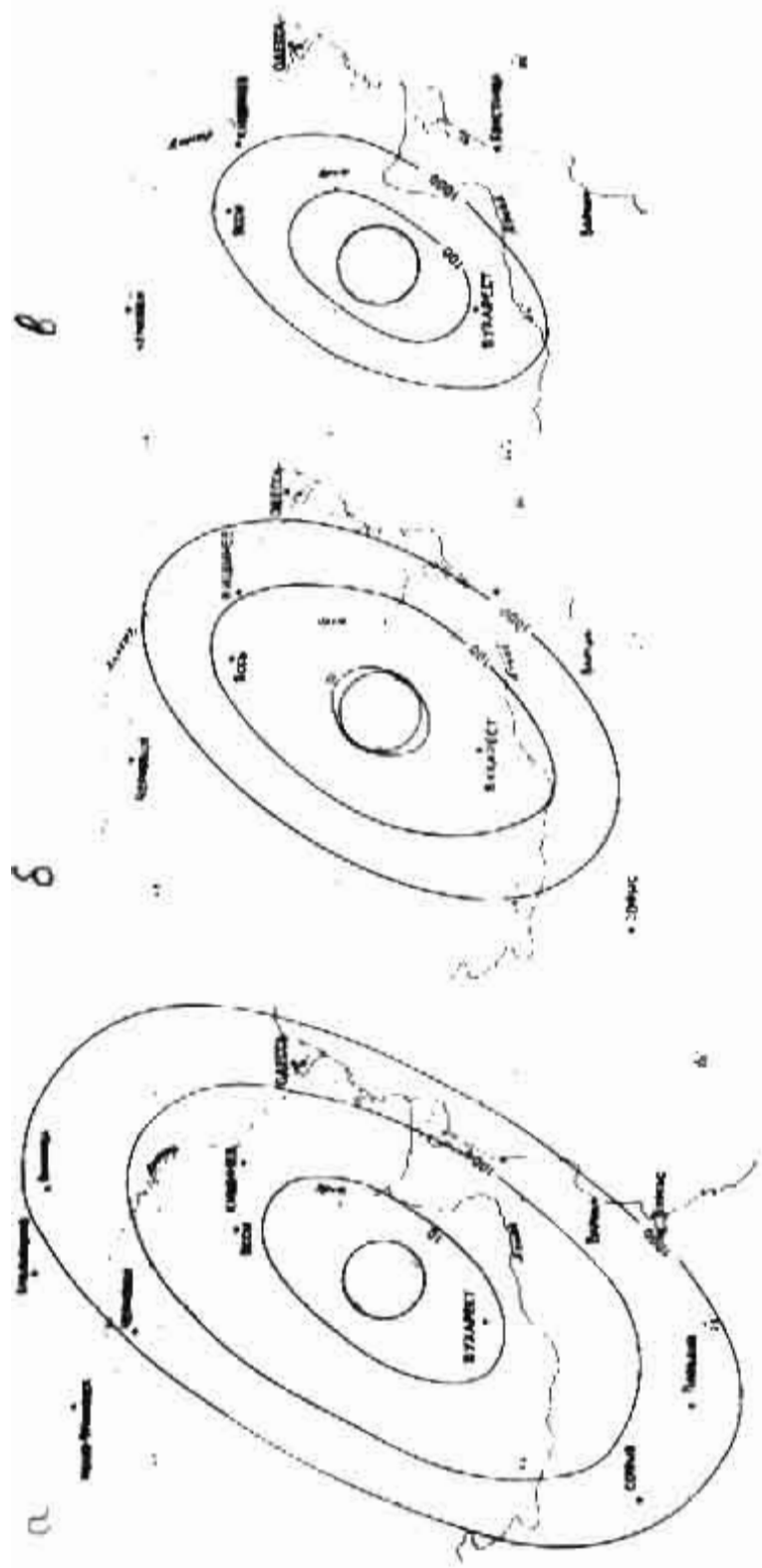


FIG. 4.9c.  $\delta$ ,  $\theta$ ,  $\psi$ : ELEMEN~~T~~<sup>ES</sup> OF MOTION OF A PERTURBED PLANETARY MOTION  
BASED ON EQUATION I  $\geq$  C, 7 II B.

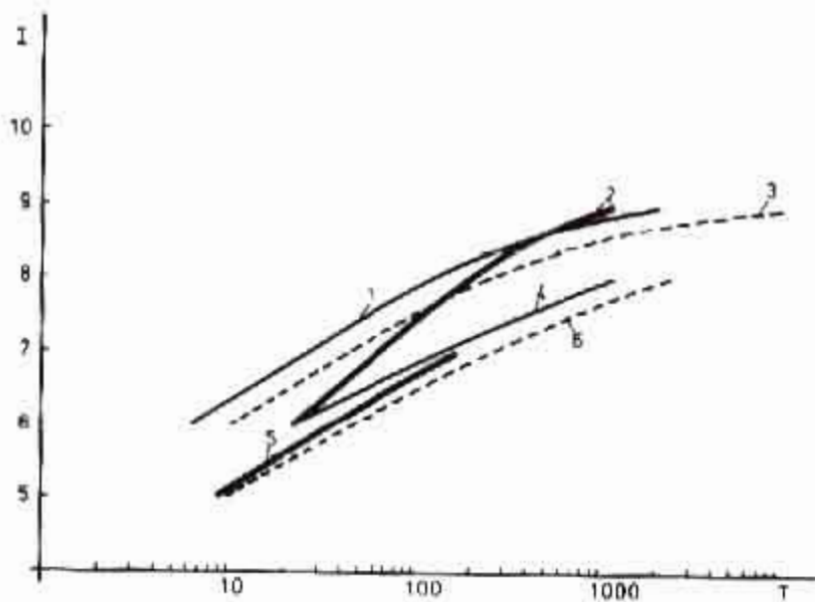
Со оставлением карт периодов повторения интенсивности 7 баллов карты и сотрясаемости  $B_7$  по /41/ показывают, что наблюдается некая сумма изолиний, что объясняется тем, что в обоих случаях повторение эпизодических потоков процессует.

Со оставлением результатов расчета сопротивляемости с изолиниями по повторяемости сейсмических сотрясений в Бухаресте. Данные по повторяемости сейсмических сотрясений в городах Бухарест взяты из работы /4/. Расчеты сотрясаемости были проведены округлым (4.0) и (4.11). Как было отмечено в разделе 4.1, в городах даны также с оценками, что видно из рис. 4.10.

Оценки периодов повторения сотрясений, полученные по формуле III), в среднем в 1,3 раза больше оценок, полученных по формуле I.9). Со оставлением с изолиниями данным из озионают любую округлу для расчета  $N_I$  ( $M_I$ ), так как наблюдаемая для города Бухареста лежит между двумя теоретическими кривыми много ближе к кривой, полученной по формуле (4.9). С другой стороны, для города Бухареста не наблюдается такого согласия. В данном случае отличается кривая, полученная с помощью формулы III). Следует отметить, что из этих результатов не отыщать вряд ли вид используемого закона затухания, который был получен раньше из данных, приведенных в работе /4.9/, и, кроме того, изображенные линии о сотрясаемости могут содержать ошибки.

Мне трудно отдать же вопрос о том, какая функциональная зависимость лучше для расчета  $N_I$  ( $M_I$ ). Лучше использовать формулу I), которая неотъемлемый период повторяемости, как было сказано при расчете сопротивляемости Крыма и Бодрума.

Таким образом, оказано, что программа SACUDIDA может успешно использована для расчетов сотрясаемости.



■ 4.10. Период сопротивляемости в городах Бухаресте (1-5) и Краснодаре (4-6). Бухарест: 1 - расчетные данные по (4.9); 2 - наблюдаемые данные; 3 - расчетные данные по (4.11). Краснодар: 4 - расчетные данные по (4.9); 5 - наблюдаемые данные; 6 - расчетные данные по (4.11).

Итог 5. СОСТАВЛЯЮЩАЯ ВОСТУПНОЙ ВОЛны.

### 5.1. Подготовка исходных данных

Зоны I03. Было выбрано два варианта выделения зон ДОЗ (рис. 4.10 и 3.11) и в . . . были определены модели изосейст для разных районов Больших Антильских островов. Зона I<sub>1</sub> соответствует району Сантьяго-де-Куба-Гуантанамо, зона I<sub>1</sub> - району Нимонского землетрясения 19 февраля 1976г., зона I<sub>4</sub> - Северному Гаити, зона I<sub>5</sub> - югу острова Гаити и зона I<sub>6</sub> - югу острова Гаити. Для зоны I<sub>3</sub> не было определена модель изосейст и пришлось допустить, что модель для всей зоны такая же, как и для зоны I<sub>1</sub>. Разница в модельях изосейст не учтена при расчетах сопрягаемости.

Параметры  $a$ ,  $b$  и  $M_{max}$  были установлены в 4.1. 1 табл. и представлены дальше по зонам I03 для двух вариантов.

Следуя методике, описанной в 4.3, для проведения расчетов сопрягаемости, были подготовлены исходные данные для программы SACUDIDA. Каждая зона I03 разделена на четыре подзоны в зависимости от количества землетрясений зоны I03 в различных районах каждого технического квадрата 1/4, 3/4, 1/4).

Параметры  $a$  и  $b$  графиков портативности были определены для всей зоны I03 без нормировки по количеству, поэтому при расчетах формуле (4.3) учитывался нормирующий фактор по площади.

Для расчета вариантов подготовки сопрягаемой в городе Сантьяго-Куба использовано четыре комбинации: первый вариант выделения зон ДОЗ (формулы (4.9) и (4.11)) и второй вариант выделения зон ДОЗ (формулы (4.9) и (4.11)).

Результаты расчетов представлена на рис. 5.1 совместно с данными наблюдаемой сопрягаемости. Из рис. 5.1 видно, что вариант выделения зон I03 дает формулы подготовки сопрягаемой больше, чем

Зоны ГОС	Характеристики лопаток изоссет						
	$a$	$b$	$M_{max}$	$\delta$ км	$A_3$	$A/B$	$\Delta \vartheta$
I	1,10	0,51	$8,0 \pm 0,5$	30	зеленчуков	-	-
II			"	"	8	1,6	
III			"	"	7	1,1	
IV			"	"	0	1,6	
V	1,38	0,55	$7,5 \pm 0,5$	круговье	0	0,4	
VI			"	"	-	-	

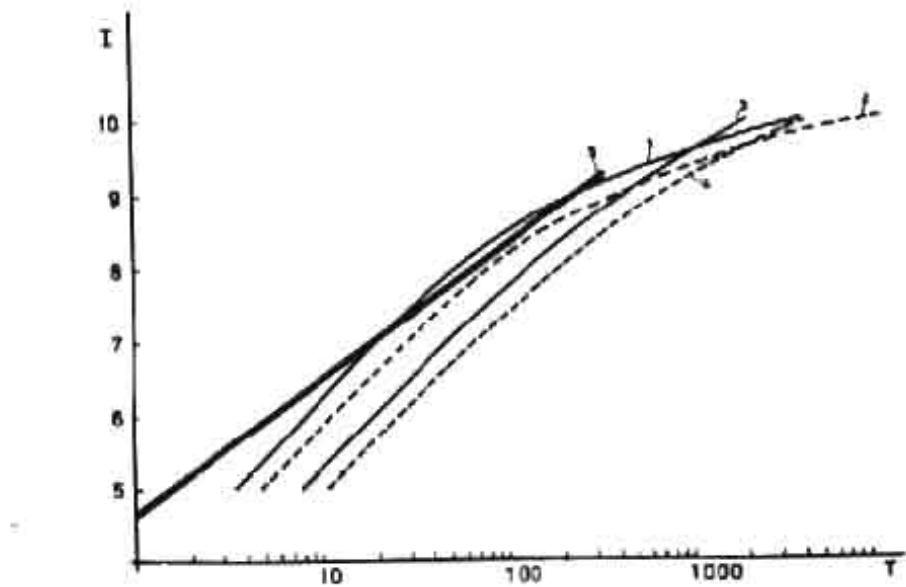
диаметр  $d$

Зоны ГОС	Характеристики лопаток изоссет						
	$I_1 + I_2$	$I_3$	$I_4$	$I_5$	$I_6$	$I_7$	$I_8$
I	1,85	0,51	$7,75 \pm 0,25$	30	зеленчуков	-	1,6
II			"	"	8	"	"
III			"	"	0	"	"
IV	1,58	0,57	$7,5 \pm 0,5$	20	"	-	-
V	1,53	0,51	$8,0 \pm 0,5$	30	"	0	0,4
VI	1,06	0,53	$7,5 \pm 0,5$	30	круговые	-	-
VII	0,97	0,56	$7,5 \pm 0,5$	20	"	-	-

$A_3$  - угол между радиусом и большой осью изоссет излучин.

$A/B$  - относительная сжатость излучин изоссет излучин.

$\Delta \vartheta$  - величина разницы углов излучин излучин.



5.1. Согоставление расчетных (1-4) и избыточных (5) периодов повторения сейсмосигналов в городе Сантьяго-де-Куба.

1 и 2 - вариант 1 зон 103; 1 - расчет по формуле (4.9);  
 2 - расчет по формуле (4.11); 3 и 4 - вариант I приложения зон 103; 3 - расчет по формуле (4.11); 4 - расчет по формуле (4.10).

мент 5 и чем наблюдаемое значение. Наилучшее согласие с наблюдениями получается при значении 5 (расчеты по формуле (4.9)). Следует отметить, что расчетные значения для интенсивностей 5 и 6 баллов для  $I = 10$ , которое до настоящего времени не отмечалось в городе Сантьяго-де-Куба.

Следует же по сделать вывод, что для расчета сейсмичности Лос-Анджелеса Кубы надо либо звать эксперта 5 и формулу (4.9) для расчета значений  $N_x$  ( $M_x$ ).

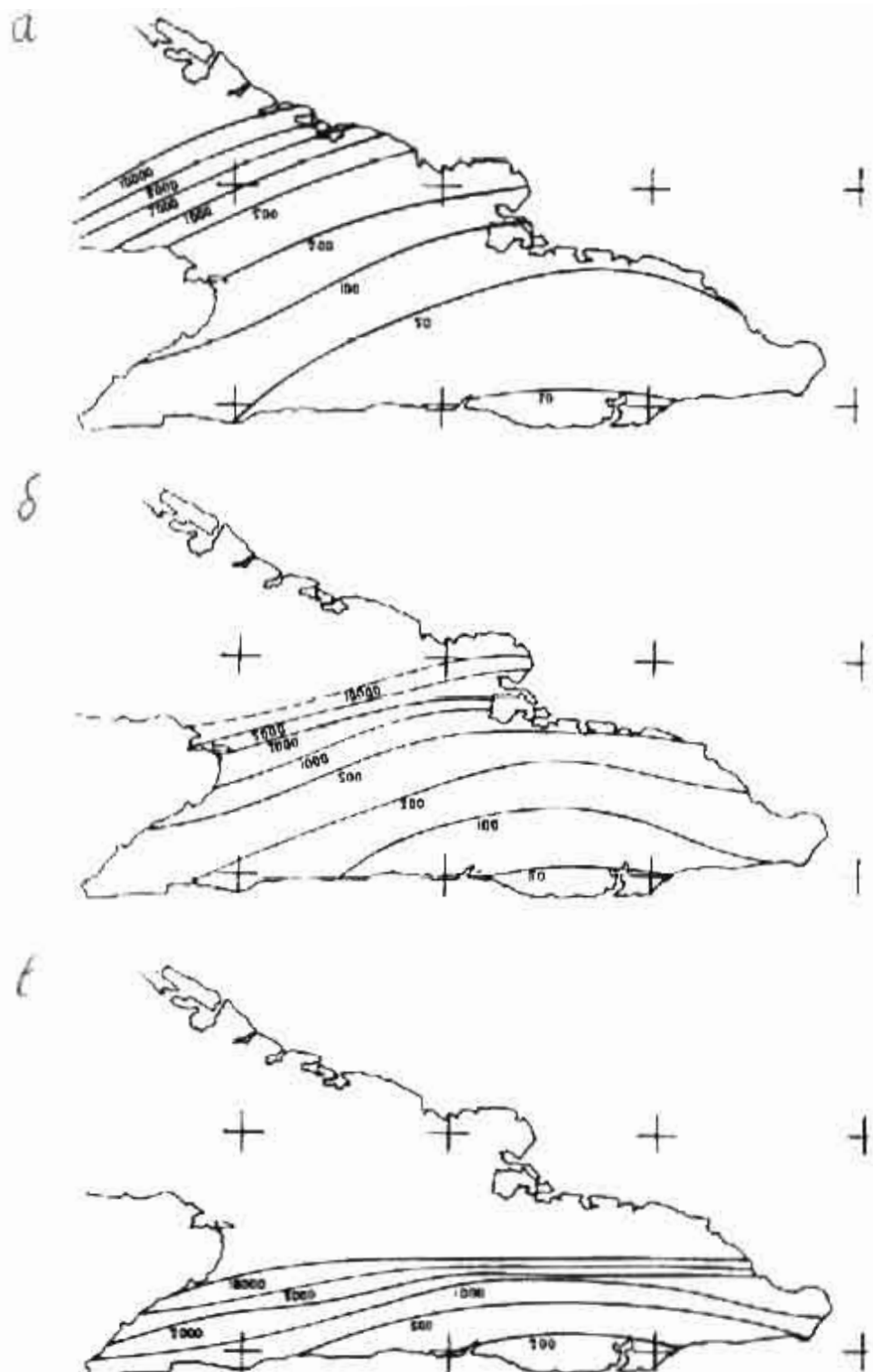
### 5.2. Сейсмическая сопротивимость Лос-Анджелеса Кубы

Получены карты схематических сейсмических сопротивимостей интенсивностей  $I \geq 5, 6, 7, 8, 9$  и 10; на рис. 5.1 представлена карта  $I \geq 7, 8, 9$ . На основании этих карт были построены схематические карты интенсивностей для городов  $T = 10, 50, 100, 1000$  и 10 000 лет. На рис. 5.3 представлены примеры  $T = 100$  и 10 000 лет. Равнинная зона значений периода сейсмичности каждого элементарного участка размером  $0,1 \times 0,1^{\circ}$ . Изолинии, изображенные на рис. 5.1 – 5.3, получены путем интерполяции значений, близких к центрам участков.

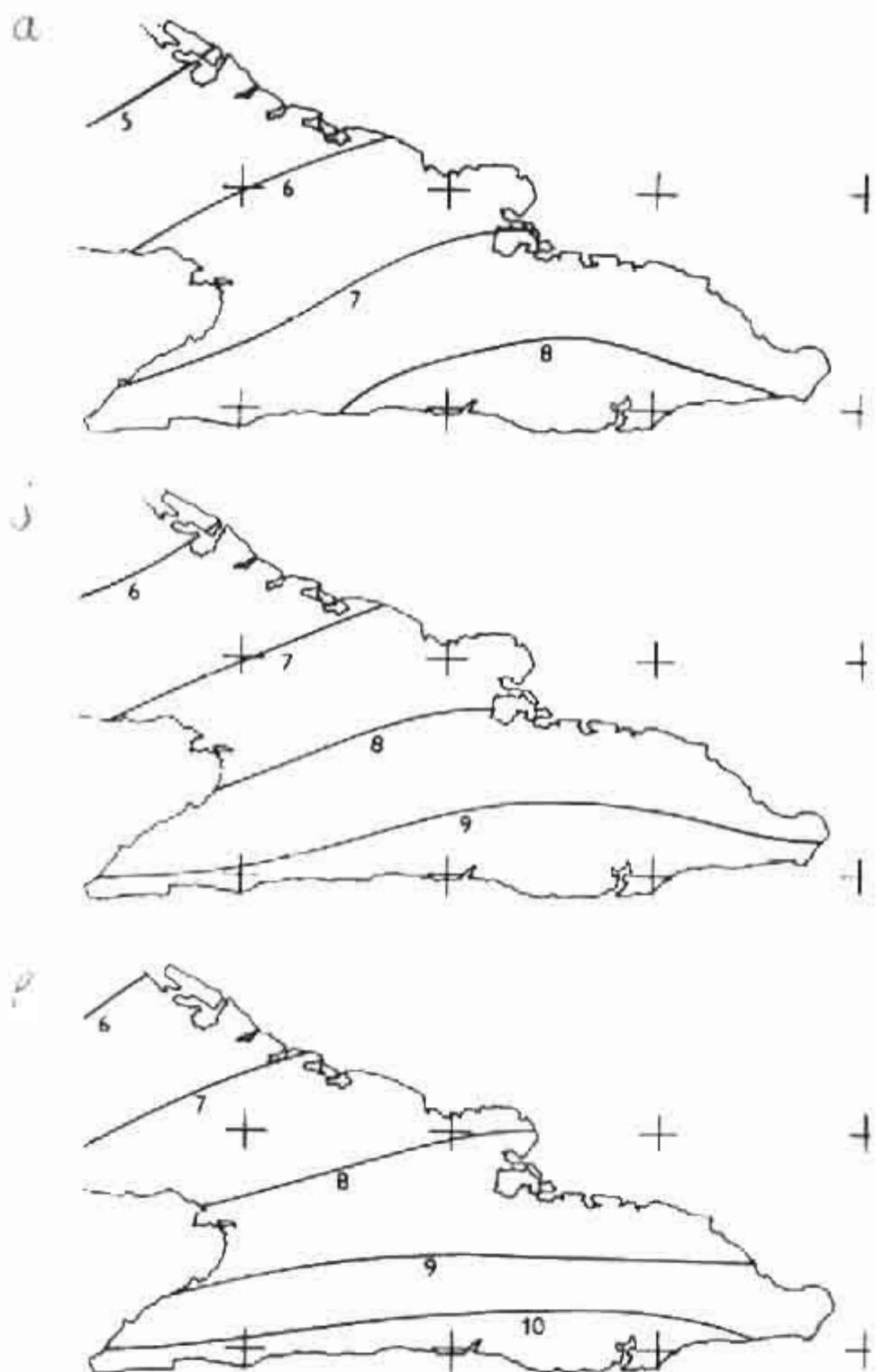
Вероятность одновременной сейсмической опасности. Получены карты интенсивности напротяжения данного зон членов интенсивности (5, 6, 7, 10 баллов) для периодов времени ожидания (10, 20, 50, 100, 1000, 10 000 лет). На рис. 5.4 представлена карта для интенсивности 7, 8 и 9 баллов и периода ожидания 50 лет.

Построены карты схематических зон, в которых с вероятностью 0,9; 0,7 или 0,5 не будет превышено данное значение интенсивности  $I = 5, 6, 7, 8, 9$  и 10. На рис. 5.5 представлен пример для  $\alpha = 0,9$ ,  $I = 7, 8, 9$ .

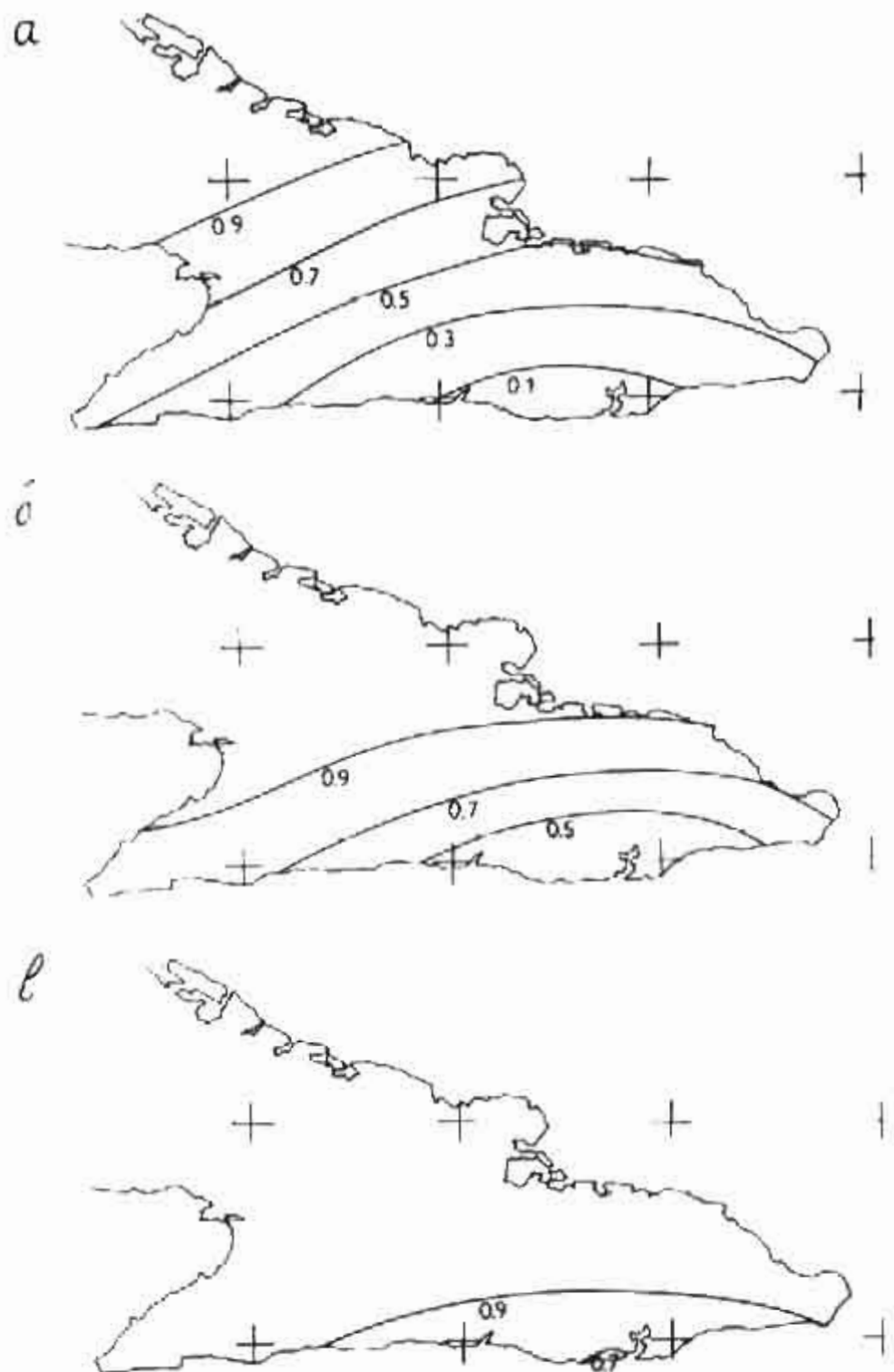
Таким образом, были построены карты интенсивностей с вероятностью



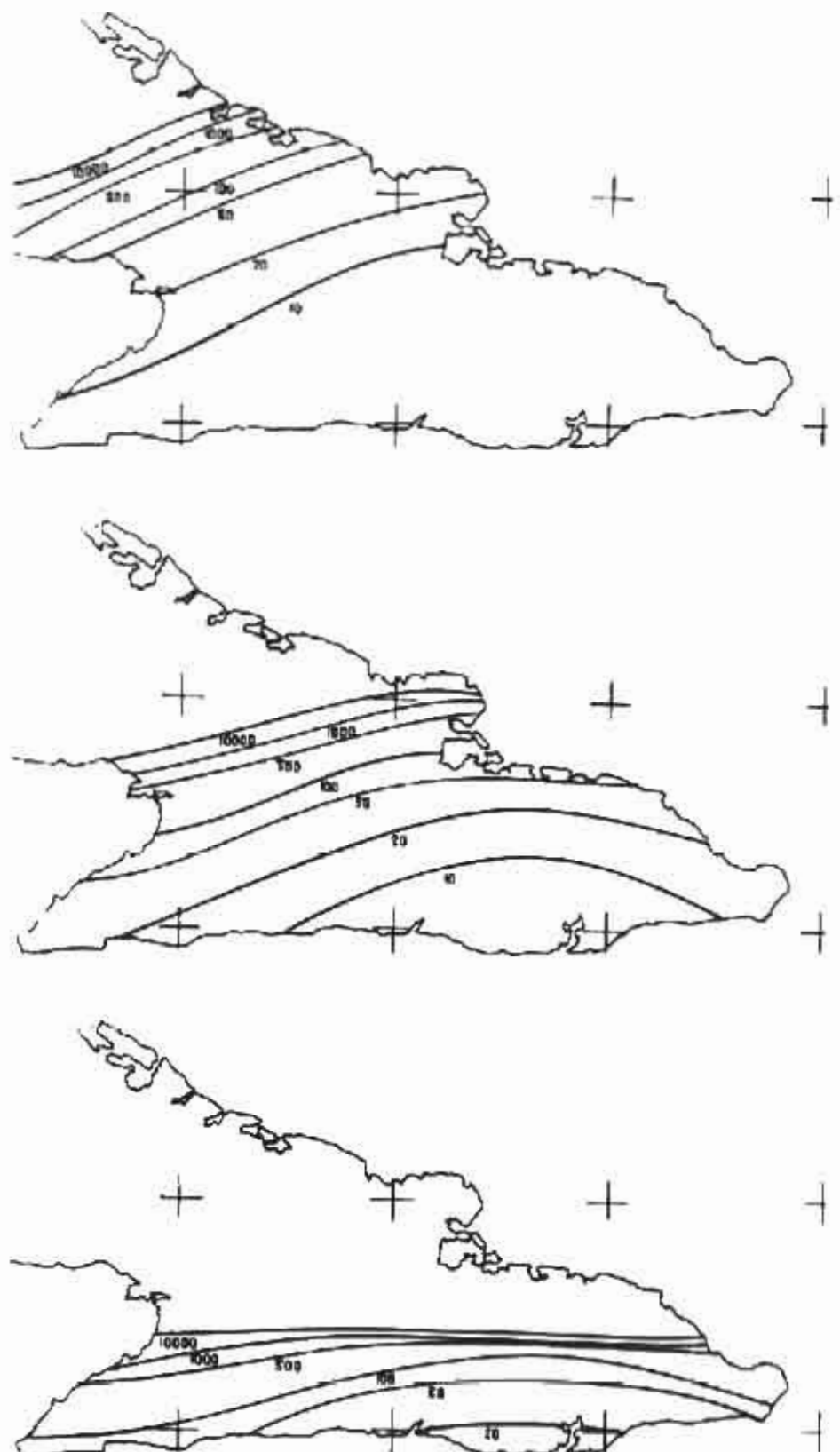
Лит. 15. Порядок залегания отложений и их абсолютные  
богатые изотопные I : α - I ≥ 7, δ - I ≥ 8, β (I = 9)



5.3. Карты интенсивностей I в снос, отвечающие с единим периодом отсыпки 100 (а), 1000 (б) и 10000 (в) лет.



15.4. Карта вероятностей дожития определенности I за  
период ожидания 50 лет. а -  $I = 7$ , δ -  $I = 8$ , β -  $I = 9$ .



§. 5.5. Карты времени окисления, в течение которого с вероятностью 0,9 не будет превышеено значение интенсивности I : а - I = 7, б - I = 8, в - I = 9.

0,9; 0,7 и 0,5 и первые оценки для периодов оценки 10, 50, 100, 500, 1000 и 10 000 лет. На рис. 5.6 приведен пример для  $P = 0,9$  и  $t = 10, 50$  и 100 лет.

Со оставленной картой интенсивностей  $I$  в основе для разных периодов оценения и карты на проекции интенсивностей  $I$  с вероятностью 0,9 для разных периодов оценки. Прямое соотношение карт интенсивностей, отечественных разных периодов оценки с вероятностью 0,9 и разных городов оценки (рис. 5.6) показывает близость этих карт в случае, когда  $t = T/10$  (где  $t$  — время оценки, и  $T$  — время повторения сейсмичности). Это видно на примерах, когда  $T = 1000$  лет (рис. 5.6б) и  $t = 100$  лет (рис. 5.6в). Это объясняется тем, что по формуле (4.14) вероятность того, что на  $t$  произойдет нештатное землетрясение за период оценки  $t = 0,1T$ , равна приблизительно 0,9.

Другой факт, который интересно отметить, касается разницы между картами обеих групп при  $t = T$ . Для малых значений периода  $t$ ,  $T$  разница между обеими группами очень большая, а по мере увеличения этих параметров разница уменьшается и можно утверждать, что при  $t, T \rightarrow \infty$  обе карты совпадут. Это согласно с экспериментальным материалом распределения параметров зон разрушения между землетрясениями.

Для изучения этих статистических зависимостей обычно производят оценки для  $t = 10$  и  $t = 50$  лет, что приблизительно соответствует средним периодам повторения сейсмичности 100 и 500 лет.

### 5.6. Последовательное уточнение полученных оценок сейсмичности

Лестенка земчиши. Пехоринское земчеше изучало сейсмичности земли неоднозначно. Некоторые вопросы были решены горизонтально, другие солнеческого ряда о роде земчеша на основе земного коли-

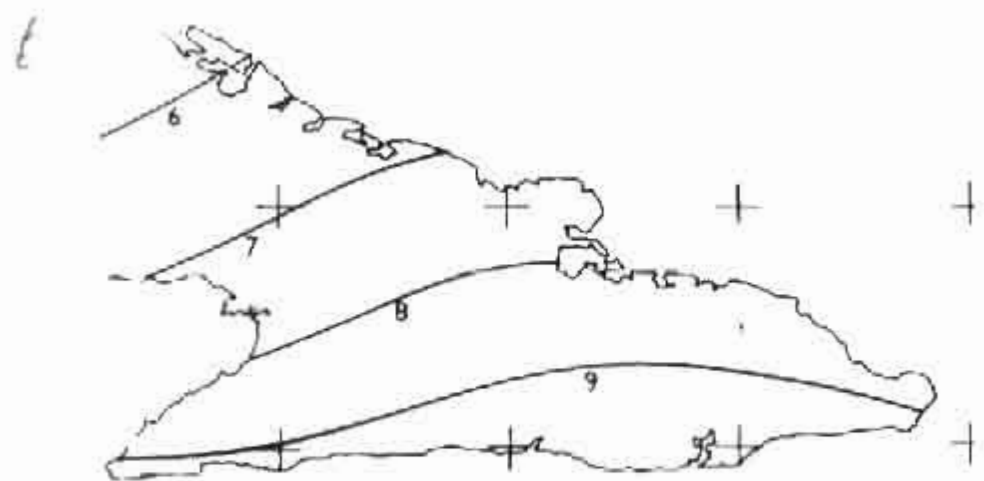
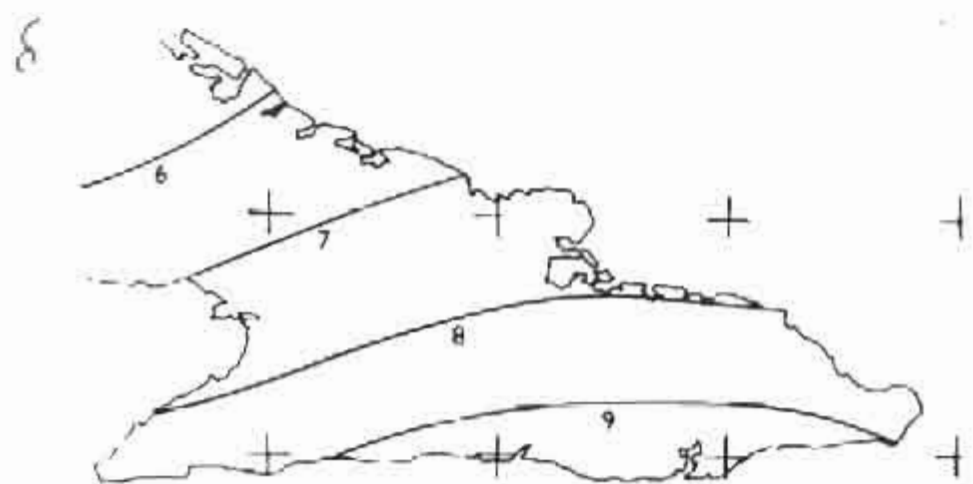
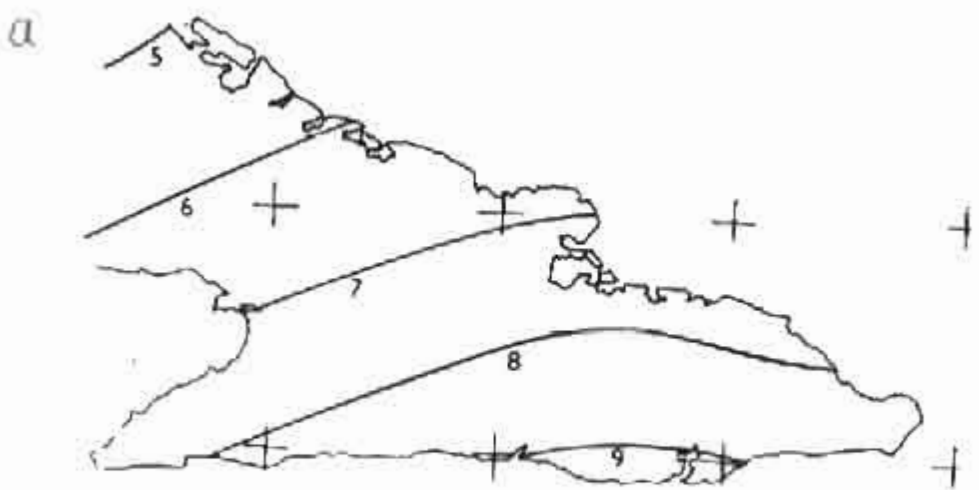


Рис. 6. Зерт. изменчивостей с вероятностью 0,1 при коэффициенте для периодов охлаждения: а - 0, б - 40, в - 100 лет.

чества данных. Таким образом, возникает вопрос, насколько устойчивы являются результаты при герниации исходных данных.

Для решения этого вопроса было исследовано влияние изменений исходных параметров в зонах I03 ( $I_1$ ,  $I_2$ ,  $I_3$ ,  $I_4$ ) на расчеты сотрясаемости в семи городах Восточной Кубы. Зоны I03  $I_1$ ,  $I_2$ , благодаря их удаленности, не должны оказывать меньшее влияния на сотрясаемость.

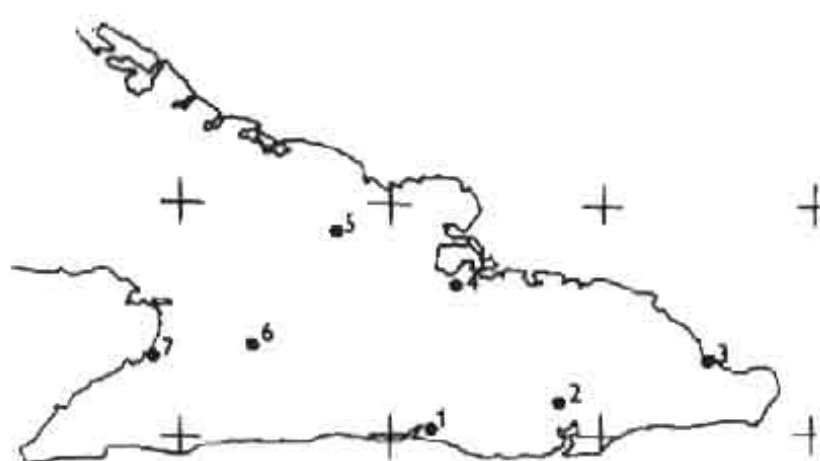
Любимые города — Сантьяго-де-Куба, Гуантанамо, Гавана, Матансас, Маганьес, Банью и Панасальво (рис. 5.7). Симуляции расположены по всей территории Восточной Кубы.

Устойчивость было исследовано при трех вариантах следующих параметров: глубины очагов землетрясений, отношения  $A/B$  модели изосеизм,  $M_{max}$ , параметр  $b$  гранича второй зоны при  $N_{M=5} = const.$ . Идельно было рассмотрено влияние землетрясений в разных участках зоны I03 I ( $I_1$ ,  $I_2$ ,  $I_3$ ,  $I_4$ ).

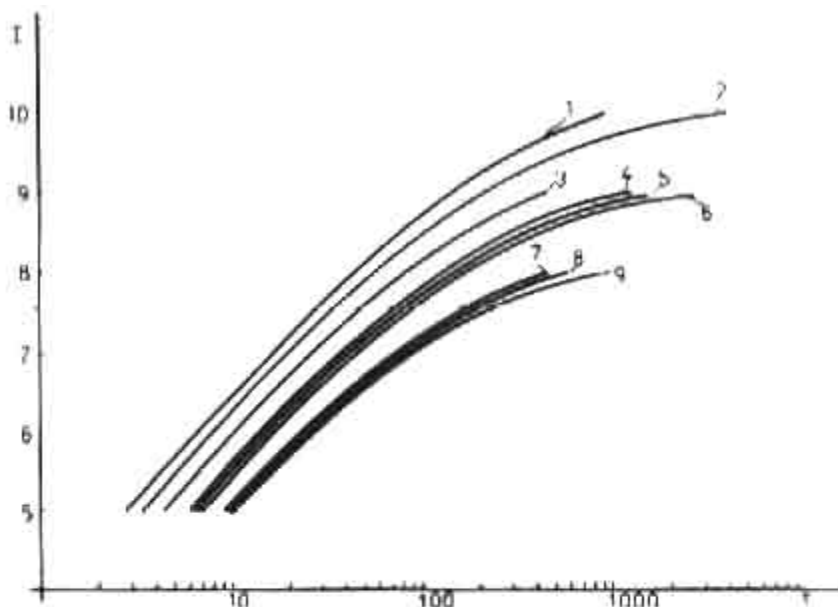
Влияние глубины. Рассчитаны периоды повторения сотрясений за глубинами  $h = 15, 30, 50$  км в зоне I03 I<sub>1</sub>. Влияние глубины значительно чувствуется только на малых и средних (города Сантьяго-де-Куба и Гуантанамо). Это ясно из рисунка (5.1) периода сильного землетрясения, где средняя интенсивность зависит от гипоцентрического расстояния. На рис. 5.8а ведутся кривые  $T(I)$  для городов Сантьяго-де-Куба, Гавана, Матансас. На рисунке видно, что различия периодов повторения сотрясений возрастают по мере уменьшения интенсивности и уменьшаются по мере удаления пункта от зоны I03.

В зонах I03  $I_1$  и  $I_3$ , как показали расчеты, влияние глубин на расчеты сотрясаемости оказалось незначительным.

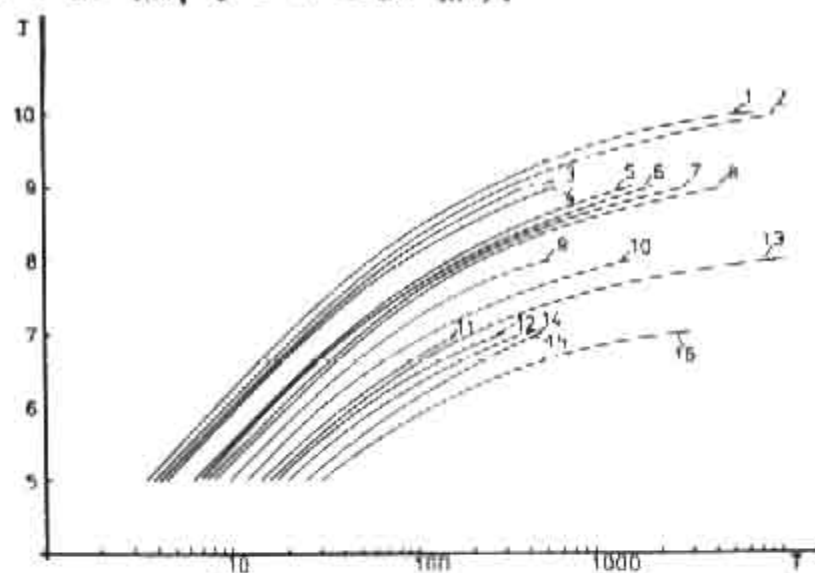
Влияние отношения  $A/B$  модели изосеизм. Были рассчитаны периоды повторения сотрясений при разных значениях параметра  $A/B$  во всех зонах I03 ( $I_1$ ,  $I_2$ ,  $I_3$  и  $I_4$ ).



§ 5.7. Города, для которых имеются оценки устойчивости расчетов сопротивляемости: 1 - Сантьяго-де-Луба, 2 - Гуантанамо, 3 - Баракоа, 4 - Маями, 5 - Сильгии, 6 - Багю, 7 - Напсанильо.



5.8a. Изменение  $T$  ( $I$ ) в зависимости от изменения глубины очага в зоне I<sub>2</sub>: Сантьяго-де-Куба ( $1 - h = 15$  км,  $2 - h = 30$  км,  $3 - h = 50$  км), Баракоа ( $4 - h = 15$  км,  $5 - h = 30$  км,  $6 - h = 50$  км) и Малри ( $7 - h = 15$  км,  $8 - h = 30$  км,  $9 - h = 50$  км).



5.8б. Изменение  $T$  ( $I$ ) в зависимости от изменения отношения  $A/B$  модели изосейт в зоне I<sub>2</sub>: Гуантанамо ( $1 - A/B = 1.1$ ,  $2 - A/B = 1.3$ ,  $3 - A/B = 1.5$ ,  $4 - A/B = 1.7$ ), Баракоа ( $5 - A/B = 1.1$ ,  $6 - A/B = 1.3$ ,  $7 - A/B = 1.5$ ,  $8 - A/B = 1.7$ ), Малри ( $9 - A/B = 1.1$ ,  $10 - A/B = 1.3$ ,  $11 - A/B = 1.5$ ,  $12 - A/B = 1.7$ ) и Ольгин ( $13 - A/B = 1.1$ ,  $14 - A/B = 1.3$ ,  $15 - A/B = 1.5$ ,  $16 - A/B = 1.7$ ).

для зон: 103 I<sub>1</sub> были рассмотрены случаи  $A/B = 1,1; 1,4;$   
 $1,6; 1,8$ . Только этого фактора является значительным только для  
городов Ольгин, Баяно и Бансанильо. Для зон: 103 I<sub>2</sub> были рассмотр-  
ены случаи  $A/B = 1,1; 1,3; 1,5; 1,7$ . На рис. 5.8б представлена  
кривая T(I) для городов Гуантанамо, Баракоа, Баяно и Ольгин.

Для зон: 103 I<sub>3</sub> были проанализированы случаи  $A/B = 1,4;$   
 $1,6; 1,8; 2,0$ . При этом отмечается, что незначительные изменения  
периодов повторения сотрясений в городе Баракоа означают, что влия-  
ние фактора A/B очень незначительно.

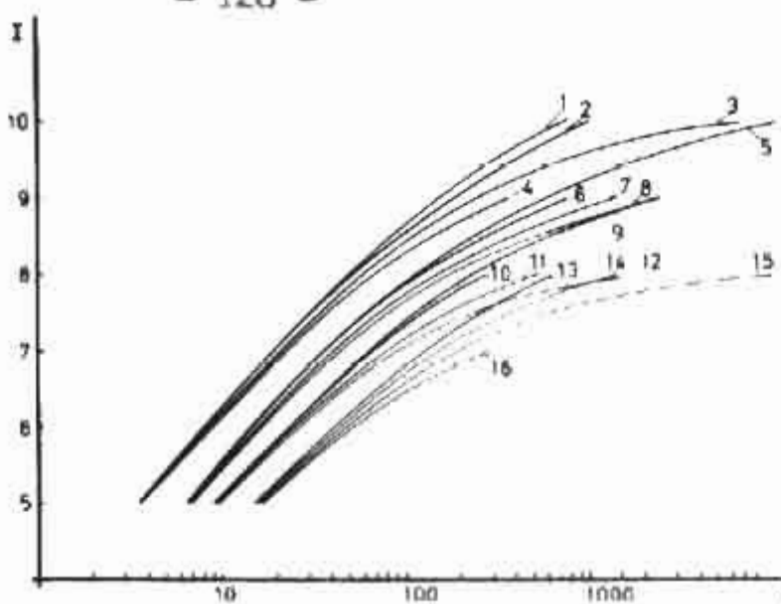
Для зон: 103 I<sub>4</sub> были рассмотрены случаи  $A/B = 1,0; 1,4;$   
 $1,8$ . При этом также отмечается незначительные изменения периода  
повторения сотрясений только для города Баракоа.

Изменение максимальной интенсивности. Если проведены расчеты перво-  
вичных сотрясений при изменениях  $M_{max} + \Delta M_{max}$  для всех зон 103  
(I<sub>1</sub>, I<sub>2</sub>, I<sub>3</sub> и I<sub>4</sub>), для зон 103 I<sub>1</sub> были проанализированы случаи  
 $M_{max} + \Delta M_{max} = (7,5; 7,75; 8,0; 8,5)$ . Только этого фактора  
влияет только в городах Баяно и Бансанильо.

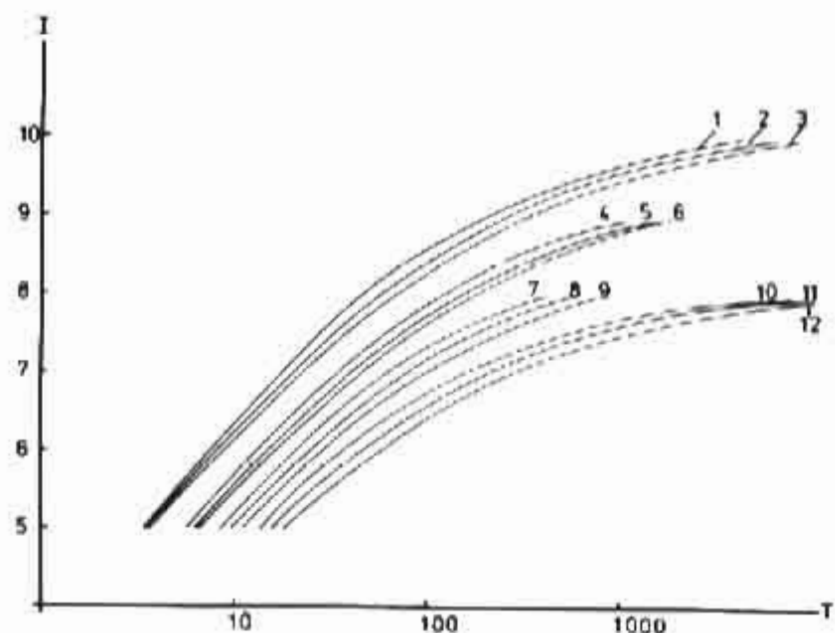
Для зоны 103 I<sub>2</sub> также были исследованы случаи  $M_{max} + \Delta M_{max} =$   
 $(7,5; 7,75; 8; 8,5)$ . Если территория чувствительна к изменению  
периода повторения. На рис. 5.9а представлена кривая T(I) для горо-  
да Гуантанамо, Баракоа, Баяно и Ольгин.

Для зоны 103 I<sub>3</sub> были учтены случаи  $M_{max} + \Delta M_{max} = (7,75;$   
 $8,5)$ , при этом отмечается небольшое изменение результатов  
также для города Баракоа. Покоящая картина наблюдается при вариации  
 $M_{max}$  в зоне 103 I<sub>4</sub>, для которой изучены случаи  $M_{max} + \Delta M_{max} =$   
 $(8,5)$ . Таким образом, получаем, что вариации  $M_{max}$  в зонах  
I<sub>3</sub> и I<sub>4</sub> почти не влияют на расчеты сейсмичности восточной Кубы.

Изменение коэффициентов параметра  $b$  при  $N(M=5) = const$ . Ка-  
ко и b гравитации и огненности для всех зон 103 были рассчитаны



л. 5.9а. Изменения  $T$  (Т) в зависимости от изменения максимальной магнитуды  $M' = M_{\max} + \Delta M_{\max}$  в зоне ВОЗ  $I_2$ :  
 Гуантанамо (1 -  $M' = 8,25$ ; 2 -  $M' = 8$ ; 3 -  $M' = 7,75$ ;  
 4 -  $M' = 7,5$ ); Баракоа (5 -  $M' = 8,25$ ; 6 -  $M' = 8$ ; 7 -  
 $M' = 7,75$ ; 8 -  $M' = 7,5$ ); Маяри (9 -  $M' = 8,25$ ; 10 -  
 $M' = 8$ ; 11 -  $M' = 7,75$ ; 12 -  $M' = 7,5$ ); Сльгин (13-  
 14 -  $M' = 8,25$ ; 15 -  $M' = 8$ ; 16 -  $M' = 7,75$ ).



л. 5.9б. Изменения  $T$  (Т) в зависимости от изменения параметра графика повторяемости в зоне ВОЗ  $I_2$ : Гуантанамо (1 -  $\beta = 0,47$ ; 2 -  $\beta = 0,52$ ; 3 -  $\beta = 0,57$ ); Баракоа (4 -  $\beta = 0,47$ ; 5 -  $\beta = 0,52$ ; 6 -  $\beta = 0,57$ ); Маяри (7 -  $\beta = 0,4$ ;  
 8 -  $\beta = 0,52$ ; 9 -  $\beta = 0,57$ ); Сльгин (10 -  $\beta = 0,47$   
 11 -  $\beta = 0,52$ ; 12 -  $\beta = 0,57$ ).

при условии  $M_0 = 0$  в формуле (4.6). Поэтому, чтобы учитывать вариации в параметре  $b$  при  $N(M = 5) = \text{const.}$ , придется пересчитать параметр  $a$  в соответствующее значение  $a'$  по формуле

$$a' = a - 5(b - b') \quad (5.1)$$

где  $a$ ,  $b$  — старые значения параметров, и  $a'$ ,  $b'$  — новые их значения.

Для всех зон БОЗ были учтены 3 варианта ( $b = 0,05$ ,  $b$ ,  $b + 0,05$ ).

Влияние изменения параметра  $b$  в зоне БОЗ  $I_4$  почти не отмечается по всему региону. С другой стороны, изменение параметра  $b$  в зоне БОЗ  $I_1 + I_3$  влияет на оценки соприаемости городов Баямо и Инсанильо; для остальных городов влияние незначительно.

Изменение параметра  $b$  в зоне БОЗ  $I_1$  отмечается в периодах повторения соприаемости во всех городах. На рис. 5.9б представлены соответствующие кривые для городов Гуантанамо, Барекос, Маями, Ольжи, Баямо и Инсанильо.

Обсуждение результатов. Из всего предложенного материала видно, что главную роль в оценке периодов повторения соприемений Южной Гаваны играет зона БОЗ  $I_1$ . Период повторения соприемений во всех городах сильно зависит от выбора характеристик землетрясений в этой зоне: глубины очага, вытянутости эллипсов модулей изосейст, начальной магнитуды и параметра  $b$  графика повторяемости. Это объясняется тем, что зона БОЗ  $I_1$  наиболее активна и расположена относительно в центре региона.

Изменения параметров остальных зон, как правило, влияют только настах, расположенных непосредственно вблизи этих зон БОЗ. Отметим влияние зоны БОЗ  $I_1$  и в меньшей мере — зон БОЗ  $I_3$  и  $I_4$ .

Следует отметить разный характер изменения вариаций рассмотренных

акторов. Глубина влияет только на сопротивляемость участков, очень близких к зонам ГОЗ. Глубина не имеет большее значение в удаленных зонах (вырест нарушения основных структур). Выбор  $M_{max}$  и параметра  $b$  гидролиза потенциальности влияет на оценку сопротивляемости по всему району.

В общем случае при уменьшении глубины, параметра  $b$  и отношение А / В отмечается снижение периодов потери сопротивляемости. С другой стороны, изменения этих периодов отмечаются при уменьшении  $M_{max}$ . Изменения параметров влияют не только на оценку периодов потери сопротивляемости, но и на оценку максимальной интенсивности.

Имея в виду качество использования лабораторных для гидролиза работы, можно отметить, что в будущем надо продолжать изучение сейсмичности исследуемой территории в целях уточнения исходных данных для оценки сейсмической опасности. Результаты, полученные в этой работе, являются первыми. Результаты, они должны быть уточнены последующими исследованиями.

## ЗАКЛЮЧЕНИЕ

Изучена сейсмичность Восточной Кубы. Рассмотрено пространственно-временное распределение гипоцентров землетрясений, механизм шагов, затухание макросейсмической интенсивности, графики повторяемости землетрясений. Проделаны в счете сейсмической сотрясаемости, исследованы устойчивость расчетов сотрясаемости.

Основные результаты состоят в следующем:

1. Составлен каталог землетрясений района, ограниченного координатами  $16^{\circ}-4^{\circ}$  с.ш. и  $71^{\circ}-81^{\circ}$  в.д., с 1951г по 1981г. В тех случаях, когда не было инструментальных данных, координаты и магнитуда были определены по макросейсмическим данным с помощью модели изосеист. По линии каталога составлены карты эпикентров землетрясений.

2. Собраны карты изосеист 18 землетрясений, и на их основе разработана теоретическая модель эпиграфических изосеист. Определены параметры моделей для разных участков Большых Антильских островов.

3. Выделены зоны ЛОЗ в районе Восточной Кубы. Для каждой зоны определены значения  $M_{max}$  и параметры сейсмического режима ( $a$  и  $b$ ).

4. Предложена формула для расчетов и количества повторяемости землетрясений, соответствующая графику повторяемости землетрясений с изгибом в области больших магнитуд.

5. Построены графики периодов повторения сотрясений с интенсивностью 5 и более баллов в городе Сантьяго-де-Куба. Рассмотрены международные времена между последовательными сотрясениями с интенсивностью 5 и более. Они подчиняются экспоненциальному закону и свидетельствуют, что соответствует классическому процессу возникновения землетрясений.

6. Написана программа для расчетов сотрясаемости. Для расчетов используется карта зон I03 с параметрами  $a$ ,  $b$  и  $M_{max}$ , алгоритмические модели изосеист, дающие о некоторой повторяемости землетрясений. Программа позволяет рассчитывать средние параметры сотрясаемости и вероятность наступления заданных значений интенсивности для различных интервалов времени ожидания (.0, 50, 100, 500, 1000 и 10 000 лет).

7. Рассчитана сотрясаемость Кубы и Гавань по составленной программе. Получилось удовлетворительное согласие с картой сейсмического районирования СССР.

8. Проведены расчеты сейсмической сотрясаемости восточной Кубы. Построены карты периодов повторения землетрясений для разных интенсивностей, карты вероятностей наступления заданного значения интенсивности I для разных периодов ожидания.

9. Для Восточной Кубы главную опасность предстает зона I03, расположенная непосредственно к югу от острова между городами Матансас-де-Куба и Гуантанамо.

10. Исследована устойчивость полученных оценок периодов повторения землетрясений в 7 городах Восточной Кубы при вариациях исходных данных.

Изменение глубины существенно влияет на сейсмическую сотрясаемость только в районах, очень близких к зонам I03; вытянутость изученных моделей изосеист приводит к уменьшению сейсмической сотрясаемости в удаленных зонах, расположенных вкрест направления основных структур; изменения параметра  $b$  графика повторяемости или  $a$  не сказываются на сотрясаемость этого региона; влияние этих факторов приводит не только к изменению периодов повторения землетрясений, иногда происходит повышение или понижение значений максимальной интенсивности.

Диссертация является первой попыткой количественных оценок

сейсмической сотрясаемости на Кубе. В ней рассмотрена только сравнительно малоактивная часть Восточной Кубы. Остальная территория Кубы характеризуется наличием малоактивных сейсмических зон, для которых неприменима методика, использованная в диссертации. Решение этого сложного вопроса требует проведения специальных исследований, которые выходят за рамки настоящей работы.

литература

- I. Авдеев А.Н., Ушаков С.А. Гравиметрическая карта восточных топографо-изостатических аномалий Карибского моря. 1:4 000 000. АН УССР, морской гидрофизический институт, Донецкий государственный университет, Свердловск, 1977.
- II. Альварес Л. Общая геодинамическая ситуация района Кубы. - В кн.: Исследование сейсмичности малоактивных сейсмических зон (Центральная Куба). М.: Наука, 1983, с. 31-35.
- III. Альварес Л., Буне Л.И. Оценка сейсмической опасности для восточной части Кубы. - Изв. АН СССР, Физика Земли, 1977, № 10, с. 54-67.
- IV. Альварес Л., Годзикская А.А., Раутман Т.Г. Сейсмичность и сейсмический режим Кубы и прилегающих акваторий. - В кн.: Исследование сейсмичности малоактивных сейсмических зон (Центральная Куба). М.: Наука, 1983, с. 57-80.
- V. Альварес Л., Раутман Т.Г., Чуй Т. Особенности микросейсмического поля и оценка возможных микросейсмических эффектов на плосадке. - В кн.: Исследование сейсмичности малоактивных сейсмических зон (Центральная Куба). М.: Наука, 1983, с. 88-96.
- VI. Альварес Л., Ненандес Л. Сейсмичность Кубы. - Изв. АН СССР, Физика Земли, 1969, № 1, с. 75-78.
- VII. Альварес Л., Штейнберг В.Л., Бланко Л. и др. Сейсмические условия Сантьяго-де-Куба. - Изв. АН СССР, Физика Земли, 1973, № 5, с. 81-86.
- VIII. Анины И.Е., Кроирод Т.Л. Модель изосейст Кавказа. - В кн.: Интерпретация данных сейсмологии и поэтологии. Вычислительная сейсмология. М.: Наука, 1975, вып. 8, с. 38-54.
- IX. Аракан Г.Л., Голенина Т.С., Кейлис-Борок Е.Н. и др. Массовое определение механизмов очагов землетрясений на ЗМ. - В

- ки.: Теория и анализ сейсмологических наблюдений. Вычислительная сейсмология. М.: Наука, 1979, вып. II, с. 45-58.
- Ю. Атлас Мира/ Отв. ред. А.Н.Бараков. 1.: Главное управление геодезии и картографии МД СССР, 1954.
- Ш. Белоусов Т.И., Крестников Б.Н., Лебадин И.В. Оценение сейсмогенных зон Центральной Кубы и оціка їх максимальної магнітуди. - В кн.: Исследование сейсмичности малоактивных сейсмических зон (Центральная Куба). М.: Наука, 1983, с. 81-85.
- І. Большов Л.И., Смирнов Н.Е. Таблицы математической статистики. М.: Наука, 1965, 464 с.
- І. Бунз В.И. Использование материалов о сильных землетрясениях ( $K \geq I_2$ ) для оценок средних периодов повторяемости сотрясений в сейсмоактивных зонах СССР. В кн.: Сейсмические исследования для строительства. Тр. росы инженерной сейсмологии. М.: Наука, 1971, вып. 14, с. 79-84.
- І. Бунз В.И., Бичев І.Т., Гитис Е.Г., Миронов М.А. Применение метода аппроксимации интервальных экспертных оценок к построению карты землетрясений Болгарии. - Geologica Balcanica, 1982, vol. II, N 2, p. 49-70.
- Бунз В.И., Нарсесов Л.М., Ризычонко Л.В. Сейсмический режим. - В кн.: Методы детального изучения сейсмичности. Тр. №3 АН СССР, 1960, № 9 (176), с. 191-46.
- Гельфанд И.М., Губерман Ш.А., Гойлис-Борок Е.К. и др. Условия возникновения сильных землетрясений (Калифорния и некоторые другие регионы). - В кн.: Исследование сейсмичности и модели Земли. Вычислительная сейсмология. М.: Наука, 1976, вып. 9, с. 3-91.
- Друля А.Е., Стешаненко Н.Л. Более ошибок в исходных параметрах на конечный результат расчета сейсмичности. - Изв. АН СССР, Физика Земли, 1972, № 5, с. 60-64.

8. Исследование сейсмичности малоактивных сейсмических зон (Центральная Куба) /Ред. Б.М. Фромд и Н.В. Шебалин. М.: Наука, 1983. 136 с.
9. Пеленкина Т.С., Кейлис-Борок Е.Н., Нисаренко В.Ф., Кятченко-Папиро Н.Н. Определение механизма землетрясений на цифровой электронной вычислительной машине. - В кн.: Алгоритмы интерпретации сейсмических данных. Вычислительная сейсмология. М.: Наука, 1971, вып. 5, с. 3-17.
10. Канторович Л.Д., Молчан Г.М., Билькович Е.Л. и др. Статистические вопросы оценки долговременных эффектов, связанных с сейсмичностью. - В кн.: Алгоритмы интерпретации сейсмических данных. Вычислительная сейсмология. М.: Наука, 1971, вып. 5, с. 80-128.
11. Кануто М., Кейлис-Борок Е.Н., Кронрод Т.Л. и др. Сейсмический риск на территории Центральной Италии. - В кн.: Вычислительные и статистические методы интерпретации сейсмических данных. Вычислительная сейсмология. М.: Наука, 1973, вып. 6, с. 64-106.
12. Канторович Л.Д., Кейлис-Борок Е.Н., Молчан Г.М. Сейсмический риск и принцип сейсмического районирования. - В кн.: Вычислительные и статистические методы интерпретации сейсмических данных. Вычислительная сейсмология. М.: Наука, 1973, вып. 6, с. 3-10.
13. Кейлис-Борок Е.Н., Кронрод Т.Л., Молчан Г.М. Алгоритм для оценки сейсмического риска. - В кн.: Вычислительные и статистические методы интерпретации сейсмических данных. Вычислительная сейсмология. М.: Наука, 1973, вып. 6, с. 11-43.
14. Коган Л.А., Маркова Г.Д. Об оценке  $M_{\max}$  с помощью некоторых вероятностных пределов на основе определения экстремальных величин. - В кн.: Поиск предвестников землетрясений на долгостроящих полигонах. М.: Наука, 1974, с. 131-139.
15. Захарова А.Н. Расчет параметров сейсмического режима на ЭНИ. Ташкент: ФАН, 1971, 147 с.

6. Молчан Г.М., Подгаецкая В.М. Параметры глобальной сейсмичности. - В кн.: Вычислительные и статистические методы интерпретации сейсмических данных. Вычислительная сейсмология. М.: Наука, 1973, вып. 6, с. 44-66.
7. Нерсесов И.Л., Нурмагамбетов А. , Садыков А. Детальное изучение сейсмического режима Казахстана и прилегающих территорий. Алма-Ата: Наука, 1982, 159 с.
8. Новый каталог сильных землетрясений на территории СССР с древнейших времен до 1975 г./Отв. ред. Н.В. Кондорская и Н.В. Шевалин. М.: Наука, 1977, 536 с.
9. Раутиан Т.Г. О классификации землетрясений по одной станции и об унификации магнитудных оценок. - В кн.: Исследование сейсмичности малоактивных сейсмических зон (Центральная Куба). М.: Наука, 1983, с. 48-52.
10. Рейннер Г.И. Геологические методы оценки сейсмической опасности. М.: Недра, 1980, 173 с.
11. Ризниченко Л.Б. Метод суммирования землетрясений для изучения сейсмической активности. - Изв. АН СССР, Сер. геофизическая, 1964, № 7, с. 969-977.
12. Ризниченко Л.Б. От активности очагов землетрясений к сотрясаемости земной поверхности. - Изв. АН СССР, Физика Земли, 1965, № II, с. I-II.
13. Ризниченко Л.Б. Расчет сотрясаемости точек земной поверхности от землетрясений в окружающей области. - Изв. АН СССР, Физика Земли, 1966, № 5, с. 16-32.
14. Ризниченко Л.Б. Макросейсмическая палетка. - Изв. АН СССР, Физика Земли, 1975, № 10, с. 1-30.
15. Ризниченко Л.Б., Друмя А.В., Степаненко Н.Я. Сейсмичность и сотрясаемость Карпато-Балканского региона. Кишинев:Штиинца, 1976, 118 с.

36. Ризниченко Е.В., Друмя А.Б., Степаненко И.Я., Симонова Н.А. Сейсмичность и сейсмическая опасность Карибского региона. - В кн.: Карибское землетрясение 4 марта 1977 и его последствия. М.: Наука, 1980, с. 46-85.
7. Ризниченко Е.В., Захарова А.И., Сейдузова С.С. Исследование точности расчета сейсмической сотрясаемости. - Изв. АН СССР. Физика Земли, 1969, № 6, с. 10-19.
8. Рябухин А.Г. Особенности современной структуры Карибского региона. - Бюл. Моск. О-ва испытателей природы. Отд Геол., 1983, т. 58, вып. I, с. 22-34.
9. Рябухин А.Г., Чехович В.Д., Зоненшайн Л.П., Хайн В.Е. Эволюция Мексиканско-Карибского региона (опыт анализа о позиции текtonики плит). - Геотектоника, 1983, № 6, с. 73-92.
10. Сейдузова С.С., Захарова А.И. Программа расчета карт сейсмической сотрясаемости. - В кн.: Изучение сейсмической опасности. Ташкент: ФАН, 1971, с. 11-18.
11. Сейсмическая сотрясаемость территории СССР/Отв. ред. Ю.В. Ризниченко. М.: Наука, 1979, 192 с.
12. Сейсмическое районирование СССР/Отв. ред. С.В. Медведев. М.: Наука, 1968, 476 с.
13. Сейсмическое районирование территории СССР. Методические основы и региональное описание карты 1978 г./Отв. ред. В.И. Буня и Г.П. Горшков. М.: Наука, 1980, 308 с.
14. Ушаков С.А., Абдаев А.И., Галушкин Ю.И., Дубинин Е.Н. Нарушения изостазии литосфера Карибского региона и геодинамический анализ их природы. - В кн.: Тектоника и геодинамика Карибского региона. М.: Наука, 1979, с. 63-77.
15. Федотов С.А. О сейсмическом цикле, возможности количественного сейсмического районирования и долгосрочном сейсмическом прогнозе. - В кн.: Сейсмическое районирование СССР. М.: Наука, 1968, с. 121-150.

6. Ефотов С.А., Чумичкин А.С. Сейсмическая структурность Камчатки. - Нов.>All СССР. наука земли, 1971, № 3, с. 3-15.
7. Небаевши Н.Н. Метод определения из спирально-сейсмологических данных при сейсмическом районировании. - в: III: Сейсмическое районирование СССР. Л.: Наука, 1968, с. 36-III.
8. Acharya H. K. Regional variations in the rupture length-magnitude relationships and their dynamical significance. - Bull. Seism. Soc. Amer., 1979, vol. 69, N 6, p. 2063-2074.
9. Algermissen S.T., Dewey J.W., Langer C.J. Drillinger W.H. The Managua, Nicaragua, earthquake of December 23, 1972: location, focal mechanism and intensity distribution.- Bull. Seism. Soc. Amer., 1974, vol. 64, N 4, p. 993-1004.
10. Algermissen S.T., Perkins D.M. A technique for seismic zoning: general considerations and parameters.- In: Contributions to Seismic Zoning. NOAA technical report ERL 267- DSL 30. Boulder, Colo., May 1973, p. 1-15

51. Algermissen S.T., Perkins D.M., Isherwood W., Gordon C., Reagon G., Howard C. Seismic risk evaluation of the Balkan region.- In: Proceedings of the Seminar on Seismic Zoning Maps, Skopje, 27 October- 4 November 1975. UNESCO, Skopje, 1976, vol. II, p. 171-240.
52. Alvarez H. Intensidad sísmica de Cuba.- In: Atlas Nacional de Cuba. La Habana, 1970, p. 20.
53. Alvarez H. Some aspects of the earthquake occurrence to the southeast of Cuba.- Phys. Earth and Planet. Int., 1974, vol. 9, N 3, p. 193-198.
54. Alvarez L. Dispersión de la velocidad de grupo de las ondas de Rayleigh en la región del Caribe.- Inf. Científico-Técnico N 5, Inst. Geofísica y Astronomía. La Habana, ACC, 1977, 11p.
55. Alvarez L. Estimación de la peligrosidad sísmica para la ciudad de Santiago de Cuba.- Inv. Sism. en Cuba, 1983, N 4, p. 87-123.
56. Alvarez L., Serrano M., Rubio M., Chuy T., González B. El terremoto del 19 de febrero de 1976. Pilón, región oriental de Cuba.- Inv. Sism. en Cuba, 1984, N 5, p. 5-60.
57. Avendano León J.E. Focal process of the Bucaramanga and Caracas earthquakes of July, 1967.- Ind. Stud. Part. Int. Inst. Seism. Earthq. Eng., 1982, vol. 18, p.23-129.
58. Bonneton J.R., Scheidegger A.E. Relations between fracture patterns seismicity and plate motions in the Lesser Antilles.- J. Struct. Geol., 1981, vol. 3, N 4, p. 359-369.

59. Bracey D.R., Vogt P.R. Plate tectonics in the Hispaniola area.- Geol. Soc. Amer. Bull., 1970, vol. 81, N 9, p. 2855-2860.
60. Bracey D.R., Vogt P.R. Plate tectonics in the Hispaniola area: Reply.- Geol. Soc. Amer. Bull., 1971, vol. 82, N 4, p. 1127-1128.
61. British Association for the Advancement of Science, Portsmouth Meeting, 1911. Sixteenth Report on Seismological Investigations. XII. Seismic Activity, 1899-1903, inclusive. London, 1911, p. 26-36.
62. Bune V.I., Katrikh I.R. Data on probability of earthquakes in the map of seismic zoning.- In: Proceedings of the Symposium on the Analysis of Seismicity and on Seismic Risk, Liblice, 17-22 Oct. 1977. Praha: Academia, 1978, p. 279-294.
63. Carr M.J., Stoiber R.E. Geologic setting of some destructive earthquakes in Central America.- Geol. Soc. Amer. Bull., 1977, vol. 88, N 1, p. 151-156.
64. Cornell C.A. Engineering seismic risk analysis.- Bull. Seism. Soc. Amer., 1968, vol. 58, N 5, p. 1583-1606.
65. Cosentino P. Earthquake risk: point estimates and confidence intervals.- Pub. Inst. Geophys. Pol. Acad. Sc., 1980, A-9(135), p. 7-14.
66. Cosentino P., Ficarra V., Luzio D. Truncated exponential frequency-magnitude relationship in earthquake statistics.- Bull. Seism. Soc. Amer., 1977, vol. 67, N 6, p. 1615-1623.

67. Cosentino P., Luzio D. The seismic statistical parameters in the world-wide seismic regions in the hypothesis of a maximum possible magnitude.- Pub. Inst. Geophys. Pol. Acad. Sc., 1977, A-5(116), p. 211-220.
68. Chuy T. Actividad sísmica de la provincia Holguín.- Inv. Sism. en Cuba, 1982, N 2, p. 20-45.
69. Chuy T. Datos macrosísmicos de las Antillas Mayores.- In: I Seminario-Taller sobre Desastres Naturales, UNDRO, 3-6 sept. 1984, Resúmenes. La Habana, 1984, p. 50-51-
70. Chuy T., Alvarez L. Catálogo de terremotos fuertes (I>VII, MSK-1978) de las Antillas Mayores.- In: Resúmenes, IV Jornada Científica, IGA. La Habana, ACC, 1984, p. 77.
71. Chuy T., Vorobiova F. González B.F., Alvarez L., Pérez E.R., Serrano M., Cotilla M., Portuondo O. El sismo del 16 de diciembre de 1982. Torriente- Jagüey Grande.- In: Inv. Sism. en Cuba, 1983, N 3, 43 p.
72. Chuy T., González B., Alvarez L. Sobre la peligrosidad sísmica en Cuba.- Inv. Sism. en Cuba, 1983, N 4, p. 37-52.
73. Chuy T., González B.F., Alvarez L. Campo macrosísmico de los terremotos de la zona de La Hispaniola.- In: Resúmenes, IV Jornada Científica, IGA. La Habana, ACC, 1984, p. 78.
74. Chuy T., González B.F., Escalona S. Información macrosísmica de las provincias de Villa Clara, Cienfuegos y Sancti Spiritus.- Inv. Sism. en Cuba, 1980, N 1, p. 33-57.
75. Chuy T., González B.F., Vorobiova F. Sismicidad del territorio de las provincias de Camagüey y Ciego de Ávila, Cuba. - Inv. Sism. en Cuba, 1984, N 5, p. 61-94.

76. Chuy T., Pino O. Datos macrosísmicos de los terremotos en la provincia Santiago de Cuba.- Inv. Sism. en Cuba, 1982, N 2, p. 47-136.
77. Chuy T., Rodriguez A. La actividad sísmica de Cuba por datos históricos.- Inv. Sism. en Cuba, 1980, N 1, p. 5-15.
78. Dean B.W., Drake Ch.L. Focal mechanism solutions and tectonics of the Middle-America arc.- J. Geology, 1978, vol. 86, N 1, p. 111-128.
79. Dewey J.W. Seismicity and tectonics of Western Venezuela. - Bull. Seism. Soc. Amer., 1972, vol. 62, N 6, p. 1711-1751.
80. Esteve L. Seismicity.- In: Seismic risk and engineering decisions. Amsterdam; Oxford; New York. Elsevier, 1976, p. 179-222.
- M. Fiedler G.B. La liberación de energía en Venezuela, volúmenes sísmicos y mapa de isosistemas.- In: Memoria IV Congreso Geológico Venezolano. Caracas, 1972, Tomo IV, p. 2441-2462.
82. Flynn P.A., Engdahl E.R., Hill A.. Seismic and geographical regionalization.- Bull. Seism. Soc. Amer., 1974, vol. 64, N 3, Part II, p. 771-992.
83. Fournier d'Albe E.M. The UNESCO program on the assessment and mitigation of earthquake risk.- In: Proceedings of the Symposium on the Analysis of Seismicity and on Seismic risk, Liblice, 17-22 Oct. 1977. Praha: Academia, 1978, p. 15-23.

84. Frankel A. Precursors to a magnitude 4.8 earthquake in the Virgin Islands: spatial clustering of small earthquakes, anomalous focal mechanism and earthquake doublets.- Bull. Seism. Soc. Amer., 1982, vol. 72, N 4, p. 1277-1294.
85. Gardner J.K., Knopoff L. Is the sequence of earthquakes in Southern California with aftershocks removed Poissonian? -- Bull. Seism. Soc. Amer., 1974, vol. 64, N 5, p. 1363-1367.
86. Grandori L., Scirocco F. A discussion of seismic risk including precursors.- Bull. Seism. Soc. Amer., 1980, vol. 70, N 6, p. 2245-2251.
87. Gupta I.N., Nuttli O.W. Spatial attenuation of intensities for Central U.S. earthquakes.- Bull. Seism. Soc. Amer., 1976, vol. 66, N 3, p. 743-751.
88. Gutenberg B. Great earthquakes 1896-1903.- Trans. Amer. Geophys. Union, 1956, vol. 37, N 5, p. 608-614.
89. Gutenberg B., Richter Ch.F. Seismicity of the Earth and associated phenomena. New Jersey: Princeton, 1954, 310p.
90. Gutiérrez Lanza M. Conferencias de sismología publicadas en la Academia de Ciencias de La Habana. Habana: Lloredo, 1914, 160p.
91. Hagiwara Y. A stochastic model of earthquake occurrence and the accompanying horizontal land deformation.- Tectonophysics, 1975, vol. 26, N 1/2, p. 91-101.

92. Hays W.W. Procedures for estimating earthquakes ground motions. Geological Survey Professional Paper 1114. Washington: U.S. Government Printing Office, 1980, 78p.
93. Holcombe T.L., Vogt P.R., Mathews J.E., Murchison R.R. Evidence for sea-floor spreading in the Cayman Trough.- Earth Planet. Sci. Lett., 1973, vol. 20, N 3, p.357-371.
94. Howell B.F., Schultz T.H. Attenuation of Modified Mercalli intensity with distance from the epicenter.- Bull. Seism. Soc. Amer., 1975, vol. 65, N 3, p. 651-666.
95. Hsui-Lin L., Kanamori H. Determination of source parameters of mid-plate earthquakes from the waveforms of body waves. - Bull. Seism. Soc. Amer., 1980, vol. 70, N 6, p. 1989-2004.
96. International Seismological Centre. Bulletin (1964-1980). Newbury, U.K., 1966-1983.
97. International Seismological Centre. Regional Catalogue of earthquakes (1964-1980). Newbury, U.K., 1966-1983.
98. International Seismological Summary, 1912-1963. Richmond, Surrey: Kew Observatory, 1918-1970.
99. John N. Source parameters of the northeast coast Venezuelan event of September 20, 1968.- Seism. Dept. Uppsala, Sweden, Report N 2-81, 1981, 25p.
100. Jordan T.H. The present day motions of the Caribbean plate. - J. Geophys. Res., 1975, vol. 80, N 32, p. 4433-4439.

101. Joyner W.B., Boore D.M. Peak horizontal acceleration and velocity from strong-motion records including records for the 1979 Imperial Valley, California, earthquake.- Bull. Seism. Soc. Amer., 1980, vol. 71, N 6, p. 2011-2038.
102. Kafka A.L., Weidner D.J. The focal mechanism and depths of small earthquakes determined from Rayleigh wave radiation patterns.- Bull. Seism. Soc. Amer., 1979, vol. 69, N 5, p. 1379-1390.
103. Kafka A.L., Weidner D.J. Earthquake focal mechanism and tectonic processes along the southern boundary of the Caribbean plate.- J. Geophys. Res., 1981, vol. 86, N B4, p. 2877-2883.
104. Kanamori H., Abe K. Reevaluation of the turn-of-the-century seismicity peak.- J. Geophys. Res., 1979, vol. 84, N B11, p. 6131-6139.
105. Kanamori H., Stewart G.S. Seismological aspects of the Guatemala earthquake of Feb. 4, 1976.- J. Geophys. Res., 1978, vol. 83, N B7, p. 3427-3434.
106. Kelleher J., Sykes L., Oliver L. Possible criteria for predicting earthquake locations and their application to major plate boundaries of the Pacific and the Caribbean. J. Geophys. Res., 1973, vol. 78, N 14, p. 2547-2565.
107. Kiremidjian A.S., Sutch P., Shah H.C. Seismic hazard analysis of Honduras. The John A. Blume Earthquake Engineering Center, Dept. of Civil Engineering, Standford University. Standford, CA, 1979.

108. Langer C. J., Bollinger G.A. Secondary faulting near the terminus of a seismogenic strike-slip fault: aftershocks of the 1976 Guatemala earthquake.- Bull. Seism. Soc. Amer., 1979, vol. 69, N 2, p. 427-444.
109. McCann W.R., Dewey J.W., Murphy A.J., Harding S.T. A large normal-fault earthquake in the overriding wedge of the Lesser Antilles subduction zone: the earthquake of 8 October, 1974.- Bull. Seism. Soc. Amer., 1982, vol. 72, N 6, p. 2267-2283.
110. McCann W., Nishenko S., Sykes L., Krause J. Seismic gaps and plate tectonics: seismic potential for major plate boundaries.- Pure and Applied Geophysics, 1979, vol. 117, N 6, p. 1082-1147.
111. McDonald K.C., Holcombe T.L. Inversion of magnetic anomalies and sea floor spreading in the Cayman Trough.- Earth Planet. Sci. Lett., 1978, vol. 40, N 3, p. 407-414.
112. McGuire R. Effects of uncertainty in seismicity on estimates of seismic hazard for the east coast of the United States.- Bull. Seism. Soc. Amer., 1977, vol. 67, N 3, p. 827-848.
113. Mendiguren J.A. Focal mechanism and pressure axis direction in Central America.- Bull. Int. Inst. Seism. and Earthq. Eng., 1966, vol. 3, p. 1-20.
114. Molnar P., Sykes L.R. Tectonics of the Caribbean and Middle America from focal mechanism and seismicity.- Geol. Soc. Amer. Bull., vol. 80, N 9, p. 1639-1684.

15. Molnar P., Sykes L.R. Plate tectonics in the Hispaniola area: Discussion.- Geol. Soc. Amer. Bull., 1971, vol. 82, N 4, p. 1123-1126.
16. Morgan C.P., Shah H.C. A Bayesian model for seismic hazard mapping.- Bull. Seism. Soc. Amer., 1979, vol. 69, N 4, p. 1237-1251.
17. Murphy J.R., O'Brien L.J. Analysis of a world-wide strong motion data sample to develop an improved correlation between peak acceleration seismic intensity and other physical parameters. U.S. Nuclear Regulatory Commission, NUREG-0402. Springfield, Virginia, 1978, 110p.
18. Patwardhan A. S., Kulkarni R.B., Tocher D. A semi-Markov model for characterizing recurrence of great earthquakes. - Bull. Seism. Soc. Amer., 1980, vol. 70, N 1, p. 323-347.
19. Pennington W.P. Subduction of the eastern Panama Basin and seismotectonics of north western South-America.- J. Geophys. Res., 1981, vol. 86, N B11, p. 10753-10770.
20. Pereira J. The Jamaican earthquake of February 26, 1978.- J. Scientific Res. Council, 1978, vol. 5, N 1, p. 8-23.
21. Pereira J.A., Gay D. An engineering risk analysis for Jamaica and Trinidad. First Caribbean Earthq. Eng. Conf., Trinidad, 1978, 13p.
22. Pérez O.J., Aggarwal Y.P. Present day tectonics of the southeastern Caribbean and Northeastern Venezuela.- J. Geophys. Res., 1981, vol. 86, N B11, p. 10791-10804

123. Perkins D.M. Acceleration hazard map sensitivity to input seismic parameters.- *Boll. geofis. theor. ed applic.*, 1978, vol. XX, N° 78, p. 188-196.
124. Plafker G. Tectonic significance of surface faulting related to the 4 february 1976 Guatemala earthquake.- In: *Sимпозиум Internacional sobre el Terremoto de Guatemala del 4 de febrero de 1976 y el Proceso de Reconstrucción. Memorias. Guatemala*, 1977, 20p.
125. Poey A. Tableau chronologique des tremblements de terre ressentis à L'île de Cuba de 1551 à 1855. Paris: A. Bertrand, 1855, 26p.
126. Poey A. Supplément au tableau chronologique des tremblements de terre ressentis à L'île de Cuba de 1551 à 1855. Paris: A. Bertrand, 1855, 42p.
127. Poey A. Catalogue chronologique des tremblements de terre ressentis dans les Indes Occidentales de 1530 à 1857, accompagné d'une revue bibliographique contenant tous les travaux relatifs aux tremblement de terre des Antilles.- *Annuaire de la Société Météorologique de France*, 1857, t. 5, partie 2, p. 89-127.
128. Preliminary determination of epicenters, monthly listing, 1967-1981. Washington, U.S. Depart. of Interior, USGS-NMIS, 1967-1982.
129. Radu C., Apopei I. Macroseismic field of the Romanian earthquakes.- In: *Proceedings of the Symposium on the Analysis of Seismicity and on Seismic Risk, Liblice, 17-22 Oct. 1977. Praha: Academia*, 1978, p. 1993-208.

30. Reyes L. Sismicidad y riesgo sismico de la Hispaniola, Jamaica y Puerto Rico.- Boletín IMMI, 1977, Año XV, N 59-60.
31. Rial J.A. The Caracas, Venezuela, earthquake of July 1967. A multiple-source event.- J. Geophys. Res., 1978, Vol. 83, N B11, p. 5405-5419.
32. Riznichenko Yu. V. On quantitative determination and mapping of seismic activity.- Ann. geofis., 1959, vol. 12, N 1, p. 222-237.
33. Richter Ch.F. Seismic regionalization.- Bull. Seism. Soc. Amer., 1959, vol. 49, N 2, p. 123-162.
34. Schenková, Z., Karnick V. The third asymptotic distribution of largest magnitudes in the Balkan earthquake provinces. - Pure and Appl. Geophys., 1978, vol. 116, N 6, p. 1314-1325.
35. Serrano M. Alvarez L. Desarrollo de la sismología instrumental en Cuba.- Inv. Sism. en Cuba, 1983, N 4, p. 5-20.
36. Shepherd J.B., Aspinall W.P. Seismicity and seismic intensities in Jamaica, West Indies: a problem in risk assessment.- Earthq. Eng. Struct. Dyn., 1980, vol. 8, N 4, p. 315-335.
37. Shepherd J.B., Aspinall W.P. Seismicity and earthquake hazard in Trinidad and Tobago.- Earthq. Eng. and Struct. Dyn., 1983, vol. 11, N 2, p. 229-250.
38. Singh S. K., Bazan E., Esteve L. Expected earthquake magnitude from a fault.- Bull. Seism. Soc. Amer., 1980, vol. 70, N 3, p. 903-914.

139. Stauder W., Bollinger G.A. The S-wave project for focal mechanism studies.- Bull. Seism. Soc. Amer., 1964, vol. 54, N 6, p. 2199-2206.
140. Stein S., Engeln J.F., Wiens D.A. Subduction seismicity in the Lesser Antilles arc.- J. Geophys. Res., 1982, vol. 87, N B10, p. 6642-6664.
141. Sykes L.R., Iwing M. The seismicity of the Caribbean region.- J. Geophys. Res., 1965, vol. 70, N 20, p. 5065-5074.
142. Sykes L.R., Sbar M.L. Focal mechanism solution of intra-plate earthquakes and stresses in the lithosphere.- In: *Geodynamics of Iceland and the North Atlantic area*. Hingham, Mass.:D. Reidel, 1974, p. 207-224.
143. Sykes L.R., McCann W.R., Kafka A.L. Motion of Caribbean plate during last 7 million years and implications for earlier Cenozoic movements.- J. Geophys. Res., vol. 87, N B13, p. 10656-10676.
144. Tomblin J., Robson G.R. Catalogue of felt earthquakes for Jamaica with references to other islands of the Greater Antilles, 1524-1971. Mines and Geol. Div., Jamaica, Spec. Pub. N 2, 1977, 243p.
145. Toppozzada T.R. Earthquake magnitude as a function of intensity data in California and Western Nevada.- Bull. Seism. Soc. Amer., 1975, vol. 65, N 5, p. 1223-1238.
146. Trifunac M.V., Brady A.G. On the correlation of seismic intensity scales with the peaks of ground motion records.- Bull. Seism. Soc. Amer., 1975, vol. 65, N 1, p. 139-162.

147. Tsai Y.B., Aki K. Precise focal depth determination from amplitude spectra of surface waves.- J. Geophys. Res., 1970, vol. 75, N 29, p. 5729-5743.
148. Utsu T. Aftershocks and earthquake statistics (III). Analysis of the distribution of earthquake in magnitude, time and space with special consideration to clustering characteristics of earthquake occurrence (1).- J. of the Faculty of Science, Hokkaido Univ., Series(VII), 1971, vol. 3, N 5, p. 379-441.
149. Vines B., Salterain P. Excursión a Vuelta Abajo de Vines y Pedro Salterain con ocasión de los fuertes temblores de tierra ocurridos en la noche del 22 al 23 de enero de 1880. La Habana. La Voz de Cuba, 1880, 68p.
150. Wickens A.J., Hodson J.H. Computer re-evaluation of earthquake mechanism solution 1922-1962.- Pub. of the Dominion Obs., Ottawa, Canada, 1967, vol. XXXIII, N 1, 560p.

## Приложение I

Каталог землетрясений региона, ограниченного координатами  $16^{\circ}$ - $24^{\circ}$  в.ш. и  $71^{\circ}$ - $81^{\circ}$  з.д.

Дата год, мес., чис. 1	Время ч. м. 2	Эпицентр $\varphi_N$ 3	$\lambda^{\circ}W$ 4	Глубина очага 5	Магнитуды		$I_{max}$ 6	Источ- ники 7
					$M_{LH}$ 8	$m_{pv}$ 9		
551		(19,9)	(76,6)		(7,0)		8	72
578 УШ		(19,9)	(76,0)		(6,75)		8	76
580		(19,9)	(76,0)		(5,75)		7	76
624 X		(19,9)	(76,6)		(6,25)		7	72
667		(17,8)	(77,0)		(6,75)		8	144
775 П II		(19,9)	(76,0)		(5,75)		7	76
778 П II 14 30		(19,9)	(76,0)		(6,75)		8	76
82		(19,9)	(76,0)		(5,75)		7	72
87 II 17 13 00		(17,8)	(77,0)		(4,75)		6	144
88 III 01		(17,8)	(76,8)		(5,5)		7	144
93 VI 07 16 40		(17,8)	(76,8)		(7,5)		10	144
101 XI 09		(18,7)	(71,8)	(30)	(6,1)		7	*
101 IX 16 03 00		(18,6)	(72,3)	(30)	(6,8)		9	*
101 XI 1 13 00		(18,6)	(72,3)	(30)	(6,5)		8	*
13		(18,5)	(71,3)	(30)	(5,2)		6	*
14		(18,5)	(71,3)	(30)	(5,0)		6	*
15		(18,5)	(71,3)	(30)	(5,0)		6	*
17 XII 14 16 15		(19,9)	(76,0)		(5,25)		6	*
18 УП II		(19,9)	(76,0)		(6,75)		8	*
22 XI 08		(17,8)	(76,8)		(4,5)		6	144
22		(19,9)	(76,0)		(5,75)		7	*
25 VI 30		(18,5)	(71,3)	(30)	(5,1)		6	*
26 VI 12 04 45		(19,9)	(76,1)		(7,5)		9	76
30 VI 04 00 15		(18,6)	(72,6)	(30)	(7,5)		9	*

I	2	3	4	5	6	7	8	9
1771 IX 03 13 00	(17,8)	(70,7)		(5,5)	7	144		
1775 II 11	(19,3)	(70,0)	(30)	(5,75)	7	76		
1775 VII 9	(18,6)	(71,4)	(30)	(4,8)	6	*		
1777 IX-X	(17,8)	(70,8)	(30)	(4,5)	6	144		
1811 XI 11 10 00	(17,8)	(77,0)		(5,0)	8	144		
1818 XII 6 II 00	(17,8)	(70,7)		(4,5)	6	144		
1824 IV 11 03 00	(17,8)	(76,7)		(5,5)	7	144		
1826 VIII 18 05 40	(18,5)	(73,0)		(5,0)	6	*		
1826 IX 18 09 00	(19,9)	(70,1)		(5,75)	7	*		
1829 III 27 09 30	(17,8)	(76,7)		(4,5)	6	144		
1839 XI 5	(18,5)	(78,0)		(5,75)	7	144		
1842 V 07 11 15	(20,0)	(71,2)	(60)	(8,..)	10	*		
1842 VIII 07 II 45	(19,9)	(76,0)		(6,0)	7	76		
1842 VIII 07 II 15	(19,3)	(79,5)		(7,7)	5	71,73,74, 76,144		
1851 VIII 10 13 30	(19,0)	(75,0)		(7,5)	9	76		
1851 XI 6 08 15	(19,3)	(70,..)		(6,5)	8	76		
1858 I 18 09 45	(19,5)	(70,0)		(6,5)	7	*		
1858 I 18 11 45	(18,0)	(70,8)		(4,1)	6	144		
1858 II	(19,9)	(76,0)		(4,75)	6	76		
1860 IV 09 03 30	(18,6)	(73,..)	(60)	(6,7)	8	*		
1867 XI 12 06 10	(17,8)	(77,0)		(5,5)	7	144		
1870 IX 11 14 00	(19,9)	(75,8)		(4,75)	6	76		
1873 III 03 13 30	(17,8)	(77,3)	(10)	(4,5)	6	144		
1873 VI 11 19 43	(18,5)	(78,0)		(5,0)	6	144		
1877 III 18 06 00	(17,8)	(70,8)		(4,5)	6	144		
1877 VI 17	(18,6)	(71,4)	(30)	(5,5)	7	*		
1878 VI 04 00 07	(17,8)	(77,3)		(5,5)	6	144		
1878 IX 13 II 55	(19,7)	(73,8)	(30)	(7,0)	9	*		

I	II	III	IV	V	VI	VII	VIII	IX
36 II 27	02 16	(17,8)	(77,3)		(5,0)		6	144
38 IV 14	18 00	(17,8)	(76,0)	(10)	(4,5)		6	144
34 I 09	05 00	(19,9)	(76,0)		(5,0)		6	76
36 IV 11	09 25	(18,5)	(77,5)		(5,0)		6	144
36 I 29	03 30	(18,4)	(77,4)		(4,75)		6	144
37 XII 19	11 32	(20,1)	(71,1)	(50)	(7,0)		9	
38 VIII 16		20,0	71,0					136
39 IX 19	07 30	(19,9)	(75,8)		(4,75)		6	76
39 IX 22	07 40	(19,9)	(76,8)		(5,4)		7	76
39 I 31	14 14	(21,8)	(80,1)	(10)	(4,3)		6	144
39 X 13	21 30	(19,9)	(75,8)		(4,75)		6	74
39 II 7	18 40	(18,0)	(76,8)		(5,4)		7	144
39 VI 2	06 40	(19,9)	(76,0)		(5,7)		7	76
39 I 14	20 29	(18,4)	(76,8)		(6,6)		9	3, 144
39 III 22	23 12	(17,8)	(77,2)	30)	(4,75)		6	144
39 IV 13	12 08	(18,4)	(76,1)		(4,5)		6	144
39 VI 13	06 18	(17,5)	(76,6)		(4,5)		6	144
39 I 02	13 09	(18,6)	(77,6)	(20)	(4,7)		6	144
39 II 07	16 05	(18,0)	(76,0)		(4,0)		6	144
39 I 24		(21,8)	(80,1)	(10)	(4,3)		6	74
39 III 02	16 09	(17,8)	(76,6)		(4,0)		6	144
39 II 28	04 50	(21,3)	(76,1)		(6,2)		7	68,*
39 III 03	11 :5	18,5	76,5	20)	6,0		7	89
39 III 19	15 46	(18,0)	(76,1)		(4,5)		6	144
39 I 14	07 15	(18,0)	(77,1)	(30)	(4,75)		6	144
39 III 25	04 50	(19,9)	(76,3)		(6,0)		7	76
39 III 11	11 37	(18,0)	(77,0)	(10)	(4,5)		6	144
39 I 30	08 34	(18,0)	(77,0)	(10)	(4,5)		6	144
39 VIII 06 10 16		{17,0}	76,5		7,0		8-7	89
		{19,-}	(11,7)		(7,2)			

			2	3	4	5	6	7	8
I	II	II	22	(18,5)	(76,9)		(4,75)		144
I	II	20	19 29	19,0	80,0		7,4	5	89, 93
I	I	16	13 27	19,0	80,0				93
I	VII	08	10 48	20,0	78,0				93
I	XI	25	18 17	(18,1)	(77,1)		(4,75)	6	144
I	XI	03	08 37	19,5	73,5	—	6,0		69
I	I	30	20 54	20,0	77,5		5,6		69
I	V	27	10 13	17,5	72,5		(5,7)	7	93,*
I	VIII	03	II 30	(20,4)	(77,1)	(10)	(4,5)	7	72
I	III	06	04 00	(19,9)	(76,0)		(4,75)	6	73
I	I	17	12 00	(19,9)	(75,8)		(5,4)	7	144
I	III	21	15 25	(17,9)	(77,2)		(5,0)	6	144
I	VII	27	20 45	(17,8)	(77,4)		(5,0)	6	144
I	II	03	06 16	19,7	75,5		6,75	8	89, 93
I	II	03	09 16	19,7	75,5				93
I	VII	06	09 12	19,6	76,5			6	76,9
I	VII	06	II 50	19,6	76,5		6,0		89, 93
I	VII	06	I5 07	19,3	73,4		5,6 — 7,0		89, 93
I	VII	29	I3 47	(18,0)	(76,4)		(4,5)	6	144
I	II	I2	04 30	(19,9)	(75,8)		(4,75)	6	73
I	VII	I0	01 02	19,0	80,5		(5,6)		89, 93
I	I	05	22 15	(19,9)	(75,8)		(4,8)	6	76
I	III	I3	20 00	(19,8)	(76,2)		(4,8)	6	76
I	XI	I0	I5 23	20,75	74,0		5,6		76
I	VII	II	07 00	(21,8)	(80,1)	(10)	(4,3)	6	76
I	VII	I5	03 52	22,5	79,25		5,6	7	76
I	XI	07	I5 43	18,0	72,5		5,6		76
I	VII	30	I6 05	19,4	75,1		(5,6)	6	76
I	XI	22		(19,8)	(76,2)		(4,9)	6	76

	2	3	4	5	6	7	8	9	
I	27	23 05	18,73	73,25					I28
IV	07	23 29	17,75	78,5	7,1		6		88,11
IV	08	03 47	18,0	79,0					I28
IV	08	10 06	17,5	78,5	5,6				89
IV	24	01 04	17,5	78,0	5,6		4		89,11
IV	27	05 34	17,75	79,5	5,6		5		89,11
II	09	10 19	19,5	73,0	5,6				89
VII	15	12 23	17,0	76,0	10 (5,0)	6-7			98,11
VII	29	02 50	(21,8)	(80,2)	(10) (4,5)		6		74
Y	21	17 07	19,5	71,0					I28
Y	24	01 30	19,5	71,0					I28
VI	07	06 28	(18,5)	(72,0)					I28
I	II	21 08	18,5	76,5	(5,0)		6		93,11
III	25	08 47	19,75	74,75	6,0				89
IV	26	04 10	19,8	75,9	(4,7)		6		76
VIII	07	00 40	19,75	75,2	50 (6,3)		7		89,
XI	23	06 14	19,5	78,5					I28
VI	15	22 55	(19,9)	(75,8)	(4,75)		6		76
Y	13	10 00	19,68	75,46	55 4,0		6		I41,76
VII	02	03 11	17,0	75,0					98
VII	27	01 32	17,88	71,04	0				I41
I	06	15 48	18,51	71,64	0				I41
I	13	20 52	19,36	73,16	12				I41
I	28	04 29	18,51	73,52	24 5,9		8		I41,
XI	14	05 16	20,29	72,92	0				I41
I	25	19 47	18,47	73,42	0 5,7		8		I41,
II	26	16 09	18,5	73,31	0 4,9				I41
VI	13	16 59	19,95	75,51	0 4,0				I41
II	08	02 15	19,77	71,24	13 3,8				I41

I	2	3	4	5	6	7	8
5 IV	24 12 45	19,28 (29,22)	74,14	8	4,2 (4,7)		140
6 V	09 09 56	20,01	72,98	54	6,4		141
6 VI	01 20 28	19,04	71,04	28	4,2		141
6 X	01 18 04	18,28	76,95	50	4,0	6	141
6 X	25 10 15	(18,3)	(77,5)	(10)	(4,0)	6	141
7 II	02 00 27	18,35	78,II	0	6,75	8	141
7 III	16 12 46	19,88	75,07	0	4,3		141
7 IV	14 08 24	19,97	72,91	0			141
8 I	07 23 45	(18,2)	(77,7)	(10)	(3,5)	6	141
8 III	13 15 33	18,26	77,74	47			141
9 V	31 05 36	19,II	80,97		4,0		93,
9 X	08 15 55	19,02	73,36	15	3,9		141
XII	19 13 46	19,58	71,58	24	4,1		141
I	19 06 07	19,95	71,47	0			141
II	22 00 10	(19,9)	(75,9)	(10)	(4,0)	6	70
IV	20 05 47	20,5	72,13	0	6,8	?	120,
VII	19 05 47	(20,9)	(77,3)	(10)	(3,7)	6	70
II	22 21 14	18,I	71,4	17		5,5	120
IV	23 12 09	20,0	73,5	33		4,6	120
VI	18 13 09	18,3	71,0	33		4,0	120
I	22 21 28	19,0	73,1	19		3,8	120
IV	25 21 29	19,8	71,2	35		4,3	120
VII	08 20 06	18,0	74,0	10		5,I	120
VII	09 23 26	17,5	73,7	33		5,I	120
V	21 07 23	19,7	71,6	33		4,2	120
VII	12 10 31	20,0	72,7	33		4,6	120
I	16 09 20	(18,5)	(77,9)	(10)	(4,0)	6	130
XI	07 04 43	18,60	71,80	35		4,I	120
VII	19 12 41	19,7	73,I	33		4,8	120

I	2	3	4	5	6	7	8	9
XI	26	I7 23	I8,60	76,60	33	4,2		
X	II	02 38	I9,85	75,95	33	4,2		I2
II	I5	II I7	I9,74	71,37	33	4,3		I2
II	I6		I8,0	77,1	10	3,0		I30
II	I6	23 07	I9,87	75,89	33	4,3		I22
I	I4	02 24	I8,2	77,44	5			80
I	I4	23 43	I7,9	76,9	25			I30
V	10	22 48	I9,85	75,02	22	4,1		I2
X	I4		I7,40	74,0	25			I2
XII	22	I7 09	I9,86	75,34	22	4,7		I2
VIII	09	02 40	I9,95	73,40	33	4,6		I2
VIII	09	02 56	20,27	73,33	33	4,0		I2
X	29	20 32	I8,44	72,93	33	4,6	4,7	I20
II	I7	00 I3	I7,61	76,05	21	5,1		I20
II	27	07 09	I7,62	72,30	17	4,7		I20
III	07	02 41	I8,47	71,52	38	4,2		I20
IV	II	II 56	(I9,03)	80,73	33	4,8		I20
V	02	II 06	I6,36	77,11	33	4,6		I20
V	2	12	(21,03)	(78,05)	(5)	(3,7)		72,73
V	20	03 06	I9,80	75,40	33	4,6		I20
VI	07	09 21	I9,12	73,24	33	4,3		I20
VII	02	I8 22	I7,20	71,68	25	4,8		86
V	03	10	(21,3)	(78,05)	(5)	(3,7)		72,73
VIII	03	I5 44	I9,96	73,07	37	5,2		I20
II	24	I7 02	I9,65	72,18	33	3,5	4,7	I20
IX	I4	I3 36	I9,61	75,82	0	4,1		80
II	I9	I3 59	I9,87	76,87	15	5,7	5,3	80
II	23	21 58	I9,84	77,12	17	4,6	4,9	50
II	24	II 28	I9,84	77,17	24		4,8	50
IX	29	09 52	I9,01	80,75	33	4,9	5,2	I20
I	I7	00 09	I9,68	75,52	33	3,9	4,6	I20

I	2	3	4	5	6	7	8	9
6 X I7	I7 45	I9,93	75,37	33	4,1	4,9		96
7 Y 24	02 29	I7,74	78,74	28	3,4	4,7		103
7 Y 24	II 14	I7,61	78,63	33		4,8		103
7 Y 30	09 52	I8,62	79,55	33	3,0	4,8		103
7 IX 03	I5 33	I8,35	71,15	50		4,5		102
8 I I8	03 04	I8,69	75,36	I3		4,9		105
8 II 26	05 07	I8,I7	76,45	I5	3,9	4,8		96
8 IV 09	04 58	I8,81	73,21	33	3,5	4,4		96
8 XI I3	07 43	I9,84	76,05	33	4,7	5,1	6	120,72
9 Y 03	03 44	I9,27	79,02	33		4,9		96
0 II 08	20 38	I9,67	75,51	33	4,2	4,9		103
0 IV 25	I3 47	20,I9	73,33	33		4,5		120
0 XI I6	09 44	I8,I4	76,2	I0				120
I II I5	07 52	I8,42	76,79	I0				120
I II I5	I0 23	I8,06	76,79	I7				120
I II 26	23 37	I8,I3	76,79	I6				96
I III 24	04 I7	I8,04	77,55	I0				120
I IV I6	I7 07	I8,II	76,75	25				96
I Y I8	II 04	I8,07	76,78	33				90
I Y 24	I9 25	I9,70	75,39	33		4,6		96

Данные, любезно предоставленные Т. Чуй из Института Геофизики и Астрономии АН Кубы.

Параметры землетрясений и механизмы их очагов

Дата год, месяц, число	Время ч., мин.	Эпикентр		h км	Магнитуды		каче- ство	Ось	
		φ° <sub>N</sub>	λ° <sub>W</sub>		M <sub>PW</sub>	M <sub>LN</sub>		A <sub>з</sub>	У <sub>п</sub>
64 10 23	01 56	19.80	56.11	43	6.2		B <sup>+</sup>	310	21
66 3 23	05 11	16.77	85.87	33	5.1		C	214	27
66 11 3	16 24	19.17	67.92	22	5.7	6.0	A	226	12
67 7 29	10 24	6.84	73.09	100	5.9	6.0	A	150	16
67 7 30	00 00	10.68	67.40	26	5.7	6.6	A	233	15
67 12 24	20 03	17.42	61.19	42	6.1	6.4	B <sup>+</sup>	246	16
68 9 3	15 37	20.58	62.30	34	5.6	5.9	B <sup>+</sup>	192	20
68 9 20	06 00	10.76	62.70	103	6.2	6.4	B <sup>+</sup>	331	5
69 5 15	20 43	16.75	61.79	57	5.7		B <sup>-</sup>	51	61
69 12 25	21 32	15.79	59.64	I	6.4	7.2	A	61	6
73 8 30	18 25	7.24	72.85	179	5.7		B <sup>+</sup>	220	47
74 10 8	09 50	17.37	61.99	41	6.4	7.3	A	167	28
76 2 19	13 59	19.87	76.87	15	5.3	5.7	B <sup>+</sup>	256	10
78 12 6	13 28	14.44	54.83	II	5.4	5.7	B <sup>+</sup>	134	19
79 7 8	04 49	18.00	64.67	148	5.8		B <sup>-</sup>	341	19
71 6 II	12 56	18.02	69.79	35	6.0	6.4	B <sup>+</sup>	337	5
72 9 I9	01 36	19.55	70.22	0	5.8	6.0	C	269	27
76 2 8	08 13	15.69	88.54	5	5.1	5.8	B <sup>-</sup>	206	29
77 8 3I	00 42	7.38	76.2I	30	5.7	6.4	B <sup>-</sup>	287	36
79 1 I4	19 20	6.77	73.00	175	5.0	3.3	B <sup>-</sup>	205	67
79 1 22	04 25	19.10	64.70	51	5.1	5.1	B <sup>-</sup>	344	47
79 2 10	23 52	6.73	73.00	168	5.0		B <sup>-</sup>	181	38
79 3 II	12 16	6.75	73.01	169	5.1	4.8	B <sup>-</sup>	275	49
79 5 5	20 04	8.43	70.91	8	5.4	4.9	B <sup>+</sup>	154	12
79 5 5	20 08	8.48	70.99	34	5.2	4.2	C	4	52
79 5 2I	20 2I	6.69	73.37	53	5.2	5.2	B <sup>+</sup>	17	44
70 9 2	10 28	15.95	88.30	27	5.2	4.8	B <sup>+</sup>	181	19

λ - Азимут, У<sub>п</sub> - угол падения (с горизонтальным направлением).

## ПРИЛОЖЕНИЕ 2.

определенные в 3.2.

Ось		Ось		Ось		Ось		Источники	
A <sub>3</sub>	Y <sub>п</sub>								
I75	60	47	I7	I44	2I	284	60	I02, II4, I40	
44	60	305	4	37	I7	205	69	II4	
I0I	65	319	I5	58	30	209	52	I02, II4	
24	63	246	2I	347	25	I23	56	57, 95, II4	
324	6	75	74	279	I4	I88	6	57, II4, I3I	
I49	22	8	62	I07	55	I99	27	58, I40	
96	I7	328	63	I44	27	235	2	I42	
235	47	65	4I	I8I	27	297	35	99, I22	
285	I4	I92	I6	93	27	304	52	58, I40	
204	83	330	4	66	5I	237	39	58, I40	
I02	24	355	55	256	I3	I47	53	II9	
338	62	75	4	I77	72	344	I7	58, I40	
I43	62	350	22	93	30	233	49	56	
20	49	237	34	339	I7	94	50	I40	
I49	69	250	3	346	62	I58	26		
73	45	242	45	15	34	I23	26		
II8	59	5	I5	99	I6	24I	68		
310	24	73	5I	259	38	I67	3		
67	46	I8I	20	339	68	89	6		
94	8	I	20	258	34	II5	48		
85	II	I85	4I	47	40	296	23		
40	44	286	20	I7	3	I32	67		
I66	I4	67	34	322	2I	I99	45		
278	68	60	I7	I74	54	320	30		
243	22	I39	30	38	I7	289	56		
I09	2	20I	44	75	3I	322	28		
334	67	88	9	I95	62	354	25		